

nr 2'2001 (103)

CENA 5,80 PLN (zawiera 7% VAT), DM 4

ISSN 1232-2628

**Przyrząd elektroakustyka**

**Ściemniacz sterowany  
pilotem**

**Elektroniczny zapłon  
do samochodu**

**Kaskadowy  
wzmacniacz  
słuchawkowy**

**Elektroniczny  
terminarz**

**Płyta CD-PE2  
z testowymi  
sygnałami  
audio**



ISSN 1232-2628



02

9 771232 262009



Na tej płycie znajdują się archiwalne numery Praktycznego Elektronika z lat 1992 ÷ 1997 oraz wiele programów i narzędzi użytecznych w pracowni elektroniki. **Między innymi programy:**

- Protel 99 Second Edition (nowość !!!)
- Protel Manuals,
- Protel 99
- Protel 99 Service Pack 1
- Protel Power Tool Pack 99
- PSpice ver. 8.0
- EDWin ver. 1.6
- LabWindows®/CVI™
- LabWindows Manuals



- Topanga Schematic Maker
- PADS ver. 4.09
- WinLog ver. 1.0
- CircuitMaker ver. 2.5
- WinDraft Schematic Capture
- WinBoard PCB Layout
- TinyCAD
- PCB Developer's Individual Assistant
- Oscilloscope for Windows ver. 2.51

Oraz wiele, wiele innych. Wszystkie programy w wersjach: freeware, shareware, trial, eval lub demo.

**Cena płyty tylko 30 zł + koszty wysyłki.**

## **3000 STRON Z 89 NUMERÓW PRAKTYCZNEGO ELEKTRONIKA**

**CD-PE2 Praktycznego Elektronika – kompletne archiwum zapisane w formacie (PDF) i bardzo poręcznie skatalogowane.**

**Na tej płycie znajdziecie Państwo:**

1. Kompletne numery Praktycznego Elektronika z olbrzymią wiedzę w zakresie praktycznych zastosowań elektroniki. Opisy, aplikacje, urządzenia, nietypowe rozwiązania. Jeden styl projektowania i wykonania urządzeń. Płytki drukowane są projektowane w jednym stylu z zachowaniem standardów europejskich i światowych (dotyczy to zarówno rozstawu elementów jak i ich mocowania – lutowania).
2. Sygnały testowe audio do sprawdzania zestawów elektroakustycznych.

3. Książka „Eksplotacja zestawów akustycznych”, zapisana w formacie PDF opisuje i barwnie ilustruje budowę i eksploatację zestawów głośnikowych.



4. Baza plików z wycofanymi płytkami drukowanymi.

5. Źródła do programów opublikowanych w PE, które zostały wycofane ze sprzedaży.

**Cena płyty CD-PE2 jest równa 30 zł + koszty wysyłki.**

**CD-PE2 można zamawiać na kartach pocztowych, faksem (068) 324-71-03, na formularzu na stronie [www.pe.com.pl](http://www.pe.com.pl), e-mailem: [reklama@pe.com.pl](mailto:reklama@pe.com.pl) lub telefonicznie (068) 324-71-03.**

## **17% RABATU NA PŁYTY CD-PE**

Jeśli zamówisz **CD-K**, czyli komplet płyt **CD-PE1 i CD-PE2** to udzielimy Ci 17% rabatu. Dodatkowo zaoszczędzisz na kosztach wysyłki.



**CD-K można zamawiać**

- na kartach pocztowych,
- faksem (068) 324-71-03,
- na formularzu na stronie [www.pe.com.pl](http://www.pe.com.pl),
- e-mailem: [reklama@pe.com.pl](mailto:reklama@pe.com.pl)
- lub telefonicznie (068) 324-71-03

## Płaszczaki

Płaszczaki to takie dziwne twory żyjące w świecie dwuwymiarowym. Mogą chodzić sobie po kartce papieru, lub po stole, lecz nie są w stanie zauważyć wbitej w kartkę szpilki. Płaszczaki wyczarowali fizycy próbujący opisać nam świat wielowymiarowy. Jak powszechnie wiadomo nawet nieprzeciętny człowiek nie jest w stanie wyobrazić sobie czterech wymiarów przestrzennych. Z trzema styka się zaś każdy. Nie tylko z trzema ale nawet z czwartym wymiarem czasowym, który odkładam na razie na bok. Pomysł płaszczaków okazał się tak skuteczny, że przejęły się nim firmy produkujące półprzewodniki i wprowadziły go w życie. Dlatego też wszystkie układy scalone mieszczą się na płaskich jak kartka papieru płytkach krzemowych. Ogranicza to topologię układów do dwóch wymiarów nie mówiąc już o liczbie elementów aktywnych. Co prawda próbowano wgrzać się w środek płytki krzemowej ale po kilku niepowodzeniach zaniechano tego rodzaju badania, a szkoda. Wszak dwuwymiarowa Mona Lisa jest znacznie mniej atrakcyjna od Mony Lisy w trzech wymiarach z jej krągłościami. Nie będę już wspominał Mony Lisy puszczanej w ruch w czwartym, czasowym wymiarze.

Analogicznie jak w przypadku naleśników półprzewodnikowych montaż płytek drukowanych odbywa się w dwóch wymiarach. Choć ostatnio płaszczaki płytkowe odkryły po wielu dalekich wyprawach badawczych drugą stronę kartki papieru i z góry przelazły na dół powiększając swoją strefę wpływów dwukrotnie. Presja nieustannego postępu wymaga chyba zwiększenia wysiłków, aby opanować niedostępny dziś, a wiele obiecujący trzeci wymiar. Pamiętam rysunek z przed wielu lat przedstawiający miniaturyzację elementów elektronicznych. Była na nim przedstawiona lampa próżniowa w której zamontowano rezystory i kondensatory w taki sposób, że całość tworzyła coś w rodzaju lampowego układu scalonego. Co ciekawe pomysł ten prezentowany był u schyłku ery lampowej, tak na marginesie rozgrywanej się w trzech wymiarach.

W tym płaskim świecie pocieszający jest fakt, że ktoś wpadł na pomysł wykorzystania trzeciego wymiaru w płytach DVD. Uczyniono tym samym niezbędny pierwszy krok do przodu. Ja jednak zawędrowałem już dalej i udaję się do piątego wymiaru przestrzennego i drugiego czasowego.

**Redaktor Naczelny**  
**Dariusz Cichoński**



## Spis treści

<b>Przyrząd elektroakustyka.....</b>	<b>4</b>
<b>Wykorzystanie sygnałów testowych audio .....</b>	<b>10</b>
<b>Schemat zastępczy głośnika dynamicznego .....</b>	<b>14</b>
<b>Symulator pamięci EPROM .....</b>	<b>16</b>
<b>Pomysły układowe – Filtry RC cz. 1 .....</b>	<b>17</b>
<b>Kupon zamówień na płytę CD-PE1 i CD-PE2 oraz prenumeratę .....</b>	<b>19</b>
<b>Karta zamówień na płytki drukowane .....</b>	<b>20</b>
<b>Katalog Praktycznego Elektronika</b>	
<b>– Transoptory cz. 2 .....</b>	<b>21</b>
<b>Giełda PE.....</b>	<b>23</b>
<b>Elektroniczny terminarz .....</b>	<b>25</b>
<b>Ściemniacz sterowany pilotem .....</b>	<b>30</b>
<b>„Przedłużacz” do pilota poprawka.....</b>	<b>34</b>
<b>Elektroniczny zapłon do samochodu cz. 1 .....</b>	<b>35</b>
<b>Kaskadowy wzmacniacz słuchawkowy .....</b>	<b>40</b>
<b>Ciekawostki ze świata.....</b>	<b>43</b>

Płytki drukowane wysyłane są za zaliczeniem pocztowym. Orientacyjny czas oczekiwania wynosi 3 tygodnie. Zamówienia na płytki drukowane, układy programowane i zestawy prosimy przysyłać na kartach pocztowych, na kartach zamówień zamieszczanych w PE, faksem lub pocztą elektroniczną. Koszt wysyłki wynosi 10 zł bez względu na kwotę pobrania. W sprzedaży wysyłkowej dostępne są archiwalne numery „Praktycznego Elektronika”, wykaz numerów na stronie 20. Kserokopie artykułów i całych numerów, których nakład został wyczerpany wysyłamy w cenie 2,50 zł za pierwszą stronę, za każdą następną 0,50 zł + koszty wysyłki.

### Adres Redakcji:

„Praktyczny Elektronik”

ul. Jaskółcza 2/5

65-001 Zielona Góra

tel/fax.: (0-68) 324-71-03 w godzinach 8<sup>00</sup>-10<sup>00</sup>

e-mail: [redakcja@pe.com.pl](mailto:redakcja@pe.com.pl); <http://www.pe.com.pl>

Redaktor Naczelny:

mgr inż. Dariusz Cichoński

Skład Komputerowy:

Paweł Witek

©Copyright by Wydawnictwo Techniczne ARTKELE Zielona Góra, 1999r.

Zdjęcie na okładce: Ireneusz Konieczny

Druk: Zakłady Graficzne „ATEXT” Gdańsk

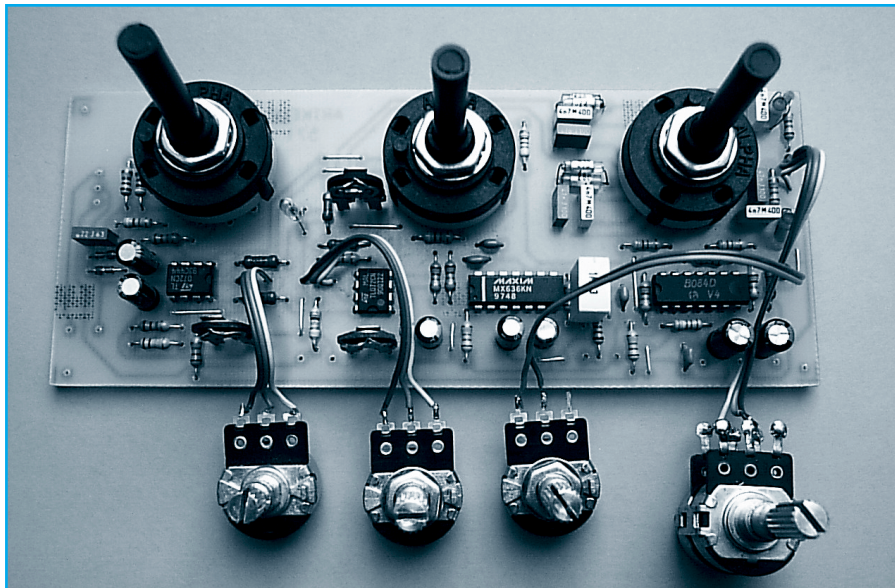
Artykułów nie zamówionych nie zwracamy. Zastrzegamy sobie prawo do skracania i adjustacji nadesłanych artykułów.

Opisy układów i urządzeń elektronicznych oraz ich usprawnień zamieszczone w „Praktycznym Elektroniku” mogą być wykorzystywane wyłącznie do potrzeb własnych. Wykorzystanie ich do innych celów, zwłaszcza do działalności zarobkowej wymaga zgody redakcji „Praktycznego Elektronika”. Przedruk lub powielanie fragmentów lub całości publikacji zamieszczonych w „Praktycznym Elektroniku” jest dozwolony wyłącznie po uzyskaniu zgody redakcji.

Redakcja nie ponosi żadnej odpowiedzialności za treść reklam i ogłoszeń.

## Przyrząd elektroakustyka

Propozycja układu łączącego trzy podstawowe przyrządy pomiarowe stosowane do sprawdzania i pomiarów wzmacniaczy małej częstotliwości. Tymi przyrządami są generator m.cz., woltomierz wartości skutecznej i miernik zniekształceń nieliniowych. Wskazania przyrządu można obserwować dołączając do jego wyjścia multimetr lub woltomierz napięcia stałego o zakresie 200 mV (ewentualnie 2 V).



### Dane techniczne:

Częstotliwości pomiarowe	– 100; 1.000; 10.000 Hz
Maksymalne napięcie wyjściowe generatora	– 3 V
Zakresy woltomierza	– 0,2; 2; 20 V
Zakresy miernika zniekształceń	– 10; 100%
Napięcie wyjściowe RMS (stałe)	– 0 ÷ 200 mV
Zasilanie (symetryczne)	– ± 12 V

### ■ Schemat blokowy i koncepcja układu

Wielofunkcyjność przyrządu wymaga zastosowania wielu przełączników służących do zmiany lub modyfikacji realizowanych funkcji. Przełącznik WŁ1 służy do wyboru napięcia podawanego na wejście WE lub napięcia wyjściowego generatora (WY G). Wybrane napięcie podawane jest do dzielnika wejściowego DW, który zapewnia wybór zakresu napięcia wejściowego przy pomiarach wartości skutecznej napięcia lub zniekształceń nieliniowych. Wtórnik wejściowy W1 umożliwia poprawną pracę dzielnika uniezależniając jego właściwości od zmian obciążenia przy przełączaniu przełącznika WŁ2.

Przeznaczeniem przełącznika WŁ2 jest wybór rodzaju mierzonej wielkości. W pozycji V przyrząd będzie wykorzystany do pomiaru wartości skutecznej napięcia. Pozycje K i H są wykorzystywane przy pomiarze zniekształceń nieliniowych. W pozycji K odbywa się kalibracja miernika zniekształceń za pomocą potencjometru P1 (ustawianie 100%). W ten sposób pomiar zniekształceń będzie uwzględniał aktualny poziom napięcia wejściowego.

W pozycji H dokonywany jest właściwy pomiar zniekształceń nieliniowych jako wartości skutecznej sygnału wejściowego po wycięciu harmonicznej podstawowej filtrem środkowo zaporowym FSZ. Potencjometry P2 i P3 służą do dokładnej regulacji filtru.

Pomiar zniekształceń nieliniowych odbywa się według podanego niżej wzoru:

$$h = \frac{\sqrt{U_2^2 + U_3^2 + U_4^2 + \dots + U_n^2}}{\sqrt{U_1^2 + U_2^2 + U_3^2 + U_4^2 + \dots + U_n^2}} \cdot 100\%$$

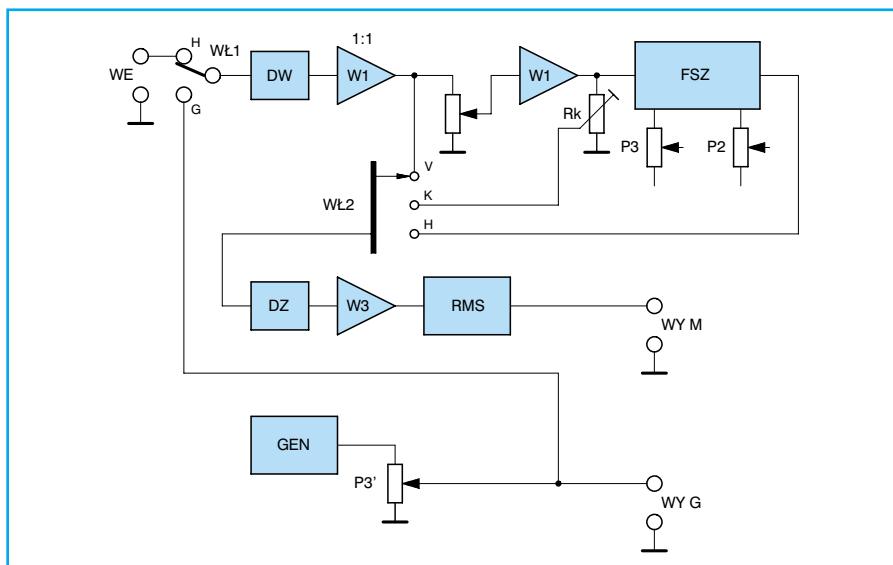
gdzie:

$U_2, U_3, U_4, \dots, U_n$  – wartości skuteczne kolejnych harmonicznych,

$U_1$  – wartość skuteczna harmonicznej podstawowej.

Częstotliwości kolejnych harmonicznych są wielokrotnościami całkowitymi częstotliwości harmonicznej podstawowej. Jak więc widać mierzone zniekształcenia nieliniowe są stosunkiem wartości skutecznej wyższych harmonicznych do wartości skutecznej harmonicznych wraz z harmoniczną podstawową. Dodawanie kwadratów napięć i pierwiastkowanie, czyli tzw. średnia geometryczna jest sposobem na sumowanie wartości skutecznych napięć składowych.

Wzmacniacz W3 służy do zwiększenia czułości miernika wartości skutecznej przy pomiarze zniekształceń (10%). Dzielnik DZ zmniejsza czułość dla zakresu 100% oraz przy pomiarze napięć. Układ RMS jest przetwornikiem true RMS zamieniającym zmienne napięcie wejściowe na stałe napięcie wyjściowe odpowiadające wartości skutecznej napięcia wejściowego. „True”



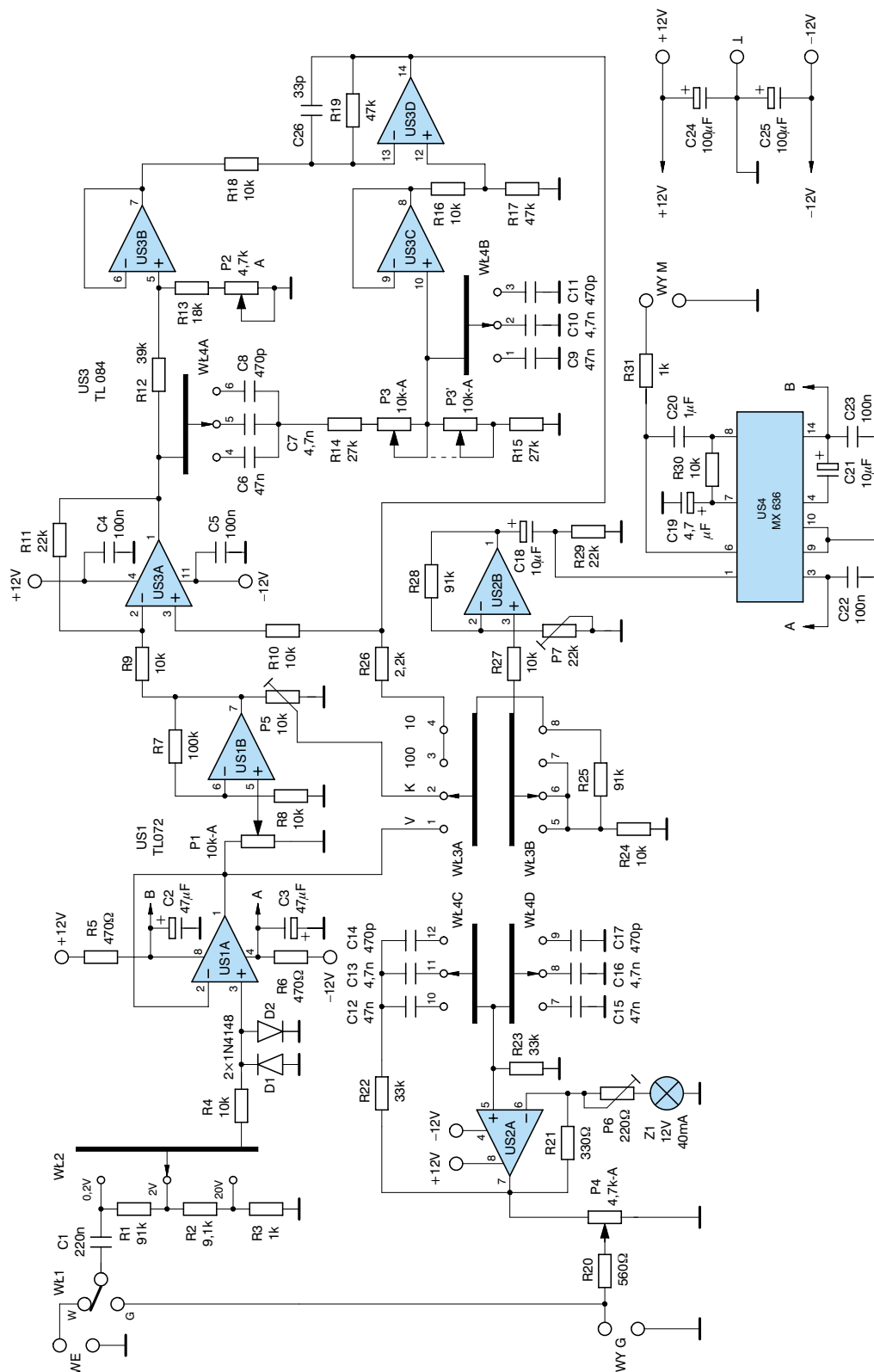
Rys. 1 Schemat blokowy przyrządu



oznacza, że działanie przetwornika jest poprawne przy różnych kształtach napięcia wejściowego, co jest szczególnie istotne w przypadku zniekształceń. Napięcie to będzie wskazywane przez dołączany woltomierz napięcia stałego o zakresie 200 mV.

Generator GEN wytwarza sygnał o częstotliwościach wybieranych za pomocą kolejnego przełącznika sprzężonego z filtrem środkowo zaporowym miernika zniekształceń (nie jest zaznaczony na schemacie blokowym). Umożliwia to jed-

noczesny wybór częstotliwości sygnału wyjściowego i częstotliwości pomiarowej miernika zniekształceń nieliniowych. Przewidziano trzy częstotliwości pomiarowe: 100, 1.000 i 10.000 Hz. Sygnał wyjściowy generatora charakteryzuje się ma-



Rys. 2 Schemat ideowy

tyłymi zniekształceniami nieliniowymi. Poziom napięcia wyjściowego regulowany jest potencjometrem P4.

### ■ Schemat ideowy i działanie

Sygnał wejściowy z przełącznika WŁ1 Przez kondensator C1 podawany jest do rezystorów dzielnika wejściowego. Zadaniem kondensatora jest wyeliminowanie składowej stałej sygnału wejściowego i pomiar tylko składowej zmiennej. Rezystory R1 i R2 powinny mieć dokładne wartości rezystancji 90 i 9 kΩ. Od ich dokładności i dokładności rezystora R3 zależy będzie precyzja dzielnika wejściowego. Przełączanie zakresów napięć wejściowych realizuje przełącznik WŁ2.

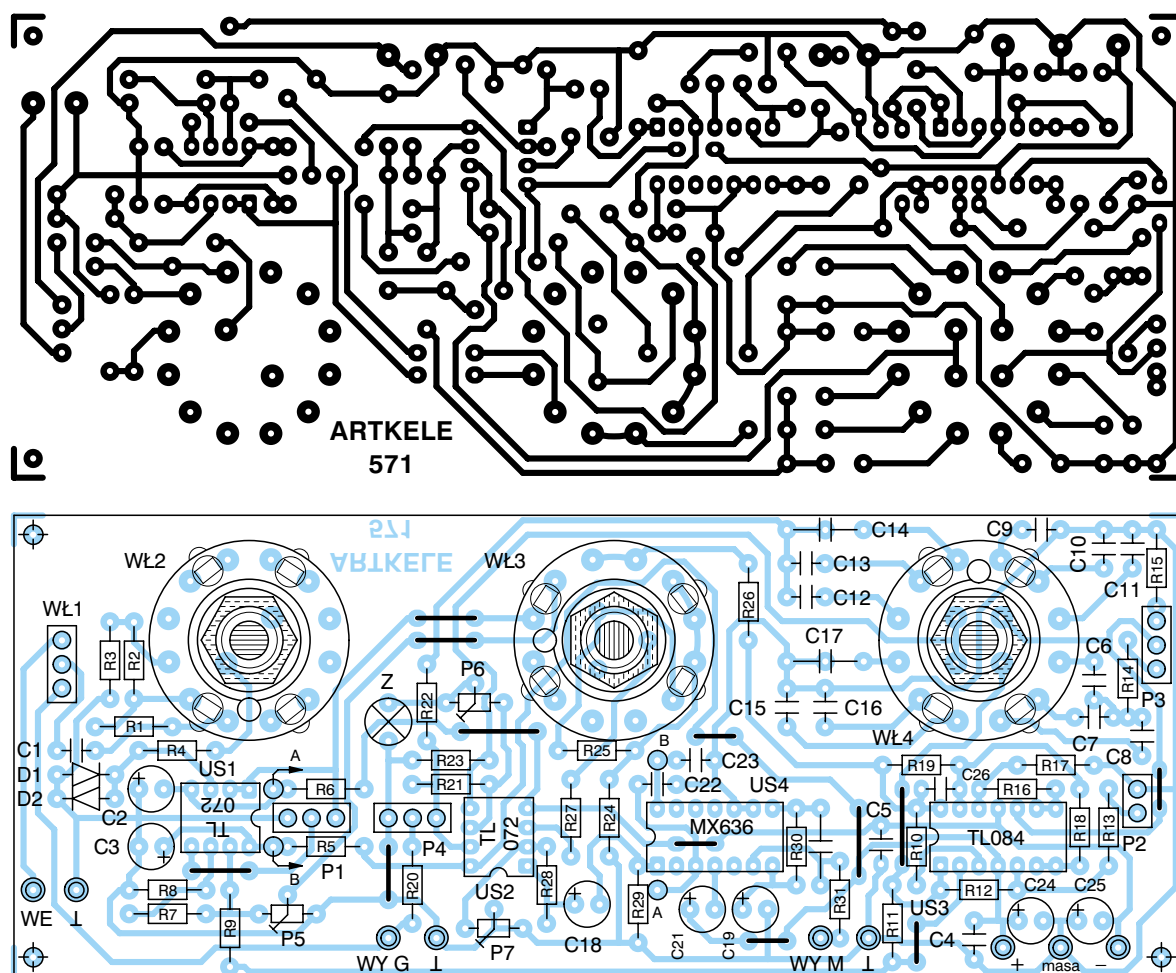
Rezystor R4 i diody D1, D2 zabezpieczają wejście wzmacniacza US1A w przypadku zbyt dużego sygnału wejściowego. US1A pracuje jako wtórnik napięciowy. Przy pomiarze napięcia, z jego wyjścia pobierane jest napięcie do przełącznika WŁ3A i dalej przez dzielnik R25, R24

(1:10) do wzmacniacza US2B. Zadaniem wzmacniacza jest skompensowanie spadku napięcia wprowadzonego przez dzielnik. Jego wzmocnienie 10 V/V ustawione zostanie rezystorem nastawnym P7. Z wyjścia wzmacniacza US2B sygnał zmienny przez kondensator C18 podawany jest na wejście przetwornika true RMS (1 US4).

Jako przetwornik true RMS wykorzystywany jest układ scalony MX 636 opisywany w PE nr 10/2000. Sygnał wejściowy jest podawany bezpośrednio na wejście układu mnożącego. Wewnętrzny bufor jest wykorzystany jako filtr wyjściowy wraz z kondensatorami C19, C20 i rezystorem R30. Odfiltrowane napięcie stałe z wyprowadzenia 6 podawane jest przez R31 na wyjście układu. Można tu podłączyć multimetr, lub panel miliwoltomierza napięcia stałego o zakresie 200 mV (199,9) z wyświetlaczem ciekłokrystalicznym. Tańsze multimetry mają najniższy zakres wynoszący 2 V przy tej samej ilości cyfr. Ograniczy to niestety dokładność do 1 mV.

Przy pomiarze zniekształceń nieliniowych sygnał przez potencjometr P1 podawany jest do wzmacniacza US1B. Jego wzmocnienie jest tak dobrane aby umożliwić pomiar zniekształceń nieliniowych przy napięciu wejściowym wynoszącym 0,1 zakresu. Potencjometr P1 będzie wykorzystany przy kalibracji miernika, która polega na ustawieniu wskazań miernika wyjściowego na 100% (100 mV) przy ustawieniu przełącznika WŁ3 w pozycji K. Wzmocniony sygnał z wyjścia US1B podawany jest przez nastawny rezystor P5 do przełącznika WŁ3. Zadaniem P5 jest wyrównanie poziomów sygnału z sygnałem uzyskiwanym na wyjściu filtru, który wprowadza tłumienie około -5 dB. Dalsza droga sygnału jest taka sama jak poprzednio.

Po ustawieniu przełącznika WŁ3 w pozycje 100 lub 10 dokonujemy właściwego pomiaru zniekształceń nieliniowych. Aktywny filtr środkowo zaporowy, którego zadaniem jest wyeliminowanie harmonicznej podstawowej jest zrealizowany na czterech wzmacniaczach opera-



Rys. 3 Widok płytki drukowanej i rozmieszczenie elementów



cyjnych US3. US3A pełni rolę wejściowego wzmacniacza sumującego. Do jego wyjścia dołączony jest mostek Wiena składający się z kondensatorów  $C6 \div C11$  wybieranych przełącznikiem WŁ4, rezystorów R14, R15 wraz z podwójnym potencjometrem P3 (jedna gałąź) i dzielnika napięcia R12, R13 z potencjometrem P2 (druga gałąź). Wybór pary kondensatorów określa częstotliwość zaporową filtru. Dokładną jej wartość ustala się potencjometrem P3. Potencjometr P2 służy do zapewnienia równowagi mostka.

Przy częstotliwości zaporowej układ RC mostka nie wprowadza przesunięcia fazy, a jego tłumienie wynosi 1/3. Sygnał z gałęzi RC podawany jest do wtórника US3C wzmacniacza różnicowego. Sygnał z gałęzi dzielnika (R12, R13, P2) podawany jest do wtórника US3B wzmacniacza różnicowego. Dzielnik nie wprowadza przesunięcia fazy a jego podział wynosi także 1/3. Wzmacniacz różnicowy tworzą opisane wtórники wraz ze wzmacniaczem US3D. Jednakowe sygnały na wejściach wzmacniacza różnicowego powodują wytłumienie sygnału na jego wyjściu sięgające nawet 80 dB. Sprężenie zwrotne podające przez rezystor R10 napięcie wyjściowe filtru do wzmacniacza sumującego US3A powoduje dużą stromość charakterystyki częstotliwościowej filtru. Oktawa częstotliwości zaporowej filtru, czyli druga harmoniczna jest tylko minimalnie tłumiona ( $1 \div 2$  dB) w odniesieniu do tłumienia wprowadzanego przez filtr poza pasmem zaporowym. Umożliwia to prawidłowy pomiar zniekształceń nieliniowych. Wielkość tłumienia filtru pozwala na pomiar zniekształceń nieliniowych na poziomie 0,1%. Podczas pomiaru zniekształceń nieliniowych za pomocą P2 i P3 należy uzyskać minimum wskazań woltomierza podłączonego do wyjścia, który będzie wskazywał bezpośrednio współczynnik zniekształceń nieliniowych  $h$  [%].

Sygnał z filtru środkowo zaporowego, po wytłumieniu składowej o częstotliwości podstawowej, przez rezystor R26 podawany jest do przełącznika WŁ4. W pozycji 100 sygnał ten jest tłumiony przez dzielnik R25, R24 i następnie tyle razy wzmacniany w US2B. W pozycji 10 sygnał podawany jest do wzmacniacza US2B bez tłumienia i w efekcie zostaje wzmacniony  $10 \times$ . Powoduje to zwiększenie czułości miernika zniekształceń. Poprzednio 100 mV odpowiadało 100% zniekształceń, aktualnie 10%. Pozycja

100 będzie wykorzystana podczas wstępnej regulacji filtru lub przy zniekształceniach nieliniowych większych od 10%. Pozycję 10 wykorzystamy przy pomiarze zniekształceń mniejszych od 10%. Pozwoli to na zwiększenie dokładności pomiaru.

Przetwornik true RMS niezależnie od charakteru zniekształceń umożliwi pomiar rzeczywistej wartości skutecznej co przyczyni się do prawidłowości pomiaru.

Generator m.cz. zrealizowany na wzmacniaczu US2A wykorzystuje do ustalania częstotliwości także mostek Wiena. Jedna gałąź mostka składa się z rezystorów R22, R23 i przełączanych kondensatorów  $C12 \div C17$ . Przełączanie kondensatorów przełącznikiem WŁ4 umożliwia zmianę częstotliwości generatora współbieżnie ze zmianą częstotliwości filtru środkowozaporowego (100, 1.000, 10.000 Hz). Gałąź ta jest podłączona do wejścia nieodwracającego dając sprzężenie zwrotne dodatnie.

Druga gałąź mostka stanowi obwód ujemnego sprzężenia zwrotnego składającego się z rezystorów R21, P6 i żarówki Ż1. Zadaniem żarówki jest stabilizacja napięcia wyjściowego dzięki nieliniowej zależności jej rezystancji od napięcia. Rozwiązanie to było stosowane już w czasach generatorów lampowych. Wzrost napięcia powoduje wzrost rezystancji żarówki i tym samym zmniejszenie wzmocnienia, a więc stabilizację napięcia wyjściowego. Do wzbudzenia drgań wymagane jest wzmocnienie 3 V/V. Zwiększenie tej wartości prowadzi do zwiększenia amplitudy i zniekształcenia przebiegu wyjściowego. Do ustalenia pracy generatora na granicy progu wzbudzenia (przy minimalnych zniekształceniach) służy rezystor nastawny P6. Potencjometr P4 umożliwia regulację napięcia wyjściowego.

Układ zasilany jest napięciem symetrycznym  $\pm 12$  V. Napięcie to powinno być stabilizowane dla uzyskania jak najmniejszego poziomu tętnień i zapewnienia dokładności pomiarów. Pobór prądu nie przekracza 20 mA.

## ■ Montaż i uruchomienie

Rozwiązanie płytki drukowanej umożliwia jej przymocowanie do panelu przedniego przyrządu za pośrednictwem przełączników obrotowych MPS. Wymaga to jednak zapewnienia bardzo płaskiego montażu elementów. Wysokość elementów po zamontowaniu nie powinna

przekraczać 12 mm. Szczególnie problematyczny jest montaż rezystorów nastawnych P5, P6, P7. Można zamontować je od strony ścieżek. Ułatwi to nawet ewentualną regulację podczas eksploatacji przyrządu.

Przełącznik WŁ1 oraz potencjometry P1  $\div$  P4 muszą być zamontowane poza płytką drukowaną w dogodnym miejscu na płycie czołowej. Połączenia przełącznika i potencjometrów z płytką powinny być jak najkrótsze. Także jak najkrótsze powinny być połączenia gniazd wejściowych i wyjściowych z płytką.

Rezystory w dzielnikach napięć (R1, R2, R25) powinny mieć odpowiednio wartości 9 lub 90 k $\Omega$ . Należy je wybrać spośród dostępnych rezystorów o wartościach znamionowych 9,1 lub 91 k $\Omega$  przez pomiar omomierzem.

Kondensatory stosowane w filtrze i generatorze do wyboru częstotliwości ( $C6 \div C11$  i  $C12 \div C17$ ) powinny być tego samego typu i o jak najmniejszej tolerancji (5%). Wskazane tu są kondensatory styrofleksowe (KSF-020). W ostateczności mogą to być kondensatory MKT lub dokładne ceramiczne.

Należy ograniczyć zakres przełączania przełączników MPS (WŁ2, WŁ3, WŁ4) przez odpowiednie usytuowanie podkładek ograniczających. W przypadku WŁ2 na 3 pozycje, WŁ3 na 4 pozycje i WŁ4 na 3 pozycje. Wolne pozycje przełączników WŁ2 i WŁ3 można wykorzystać do sterowania przecinkiem na wyświetlaczu miliwoltomierza. Rozwiązanie to pozostawiam Czytelnikom.

Zasilacz sieciowy można zamontować na typowej płytce drukowanej zasilacza oferowanej przez redakcję PE (płytką 035). Wymagane będą do jego wykonania: mostek prostowniczy lub 4 diody prostownicze 100 mA/50 V (z powodzeniem mogą to być diody 1N4148), 2 kondensatory elektrolityczne 470  $\mu$ F/25 V, 4 kondensatory ceramiczne 100 nF/25 V, stabilizatory 78L12 i 79L12, transformator sieciowy 4 VA (ze znakiem B) o symetrycznym napięciu wyjściowym  $2 \times 15$  V, wyłącznik sieciowy i gniazdo bezpiecznikowe z wkładką WTAT 63 mA, przewód sieciowy podwójny i w podwójnej izolacji zakończony wtyczką.

Transformator powinien być zamontowany jak najdalej od płytki przyrządu. Wszystkie punkty połączeń w obwodzie sieci 220 V należy zaizolować co zabezpieczy przed możliwością porażenia prądem.

Po sprawdzeniu poprawności montażu można przystąpić do uruchamiania przyrządu. Do tego celu wymagane będą: stabilizowany zasilacz sieciowy  $\pm 12\text{ V}$  o wydajności prądowej  $50\text{ mA}$ , multimetr i oscyloskop. Przed podłączeniem do płytki zasilacza „własnego wyrobu” należy najpierw sprawdzić jego działanie przez pomiar napięć wyjściowych.

Potencjometry P1 i P4 ustawić na minimum. Potencjometry P2 i P3 oraz rezystory nastawne ustawić w położenia środkowe. Przełącznik WŁ1 ustawić na W. Przełącznik WŁ2 ustawić na 20 V (prawe skrajne). Przełączniki WŁ3 i WŁ4 ustawić w położenie lewe skrajne (V i 100 Hz). Po podłączeniu zasilania sprawdzić multimetrem zasilanie wszystkich wzmacniaczy operacyjnych. Jedynie zasilanie US1 i US4 powinno być obniżone do  $\pm 11\text{ V}$ . Na wyjściach wzmacniaczy operacyjnych i US4 (6) powinno być napięcie zbliżone do 0 V. Sprawdzić oscyloskopem brak oscylacji na wyjściach wzmacniaczy operacyjnych (poza US2A).

Uruchamianie rozpoczynamy od sprawdzenia działania i regulacji napięcia wyjściowego generatora (US2A). Przełącznik WŁ4 ustawić w lewe skrajne położenie (100 Hz). Potencjometr P4 ustawić na maksimum. Sondę oscyloskopu podłączyć do wyjścia WY G. Regulując rezystorem nastawnym P6 uzyskać przebieg sinusoidalny (bez widocznych zniekształceń o wartości międzyszczytowej około  $9 \div 10\text{ V}$  i częstotliwości zbliżonej do 100 Hz). Przełącznik WŁ4 ustawić w środkowe położenie (1.000 Hz). Na wyjściu powinien być widoczny nieznkształcony przebieg o częstotliwości zbliżonej do 1.000 Hz i wartości międzyszczytowej rzędu 10 V. W prawym skrajnym położeniu WŁ4 (10.000 Hz) sprawdzić poprawność przebiegu o tej częstotliwości na wyjściu generatora.

Ustawić WŁ4 w środkowe położenie (1.000 Hz). Przełącznik WŁ1 ustawić na G. Sondę oscyloskopu podłączyć do WY G. Regulując potencjometrem P4 ustawić międzyszczytową wartość napięcia wyjściowego na 4 V. Do wyjścia

WY M podłączyć multimetr napięcia stałego 200 mV. Przełącznik WŁ2 ustawić w środkowe położenie (2 V). Regulując rezystorem nastawnym P7 uzyskać wskazanie multimetru wynoszące 141 mV. Ustawić przełącznik WŁ2 na 20 V – wskazanie multimetru powinno wynosić 14,1 mV. Ustawić napięcie wyjściowe generatora na 400 mV<sub>ss</sub> (szczyt-szczyt). WŁ2 ustawić na 200 mV – wskazanie multimetru powinno wynosić 141 mV. Ewentualne niedokładności mogą wynikać z niestarannie dobranych rezystancji dzielnika wyjściowego.

Po wyłączeniu zasilania równolegle do rezystorów R14 i R15 dołączyć rezystory 10 kΩ. Włączyć zasilanie i ustawić przełącznik WŁ2 na 20 V oraz napięcie wyjściowe generatora na maksimum. Przełącznik WŁ3 ustawić na 100, regulując potencjometrem P1 uzyskać wskazanie multimetru 100 mV. Przełącznik WŁ3 ustawić w pozycję K. Regulując rezystorem nastawnym P5 uzyskać ponownie wskazanie 100 mV. Wyłączyć zasilanie i odłączyć rezystory 10 kΩ.

Włączyć ponownie zasilanie i po ustawieniu WŁ2 w pozycji K ustawić potencjometrem P1 wskazanie multimetru na 100 mV. Przełączyć WŁ na 100. Wskazania multimetru powinny się zmniejszyć. Regulując potencjometrami P2 i P3 uzyskać wskazanie multimetru poniżej 10 mV (1 mV odpowiada 1 % współczynnika zniekształceń). Przełączyć WŁ3 na 10

i dalej regulując P2 i P3 uzyskać minimum wskazań. Aktualnie 10 mV odpowiada 1% zniekształceń. W ten sposób zmierzmy zniekształcenia nieliniowe sygnału wyjściowego generatora i sprawdzimy działanie miernika. Powtórzyć pomiary zniekształceń dla częstotliwości 100 Hz i 10.000 Hz. Powinny one być mniejsze od 1%.

### ■ Eksploatacja i zastosowanie przyrządu

Za pomocą przyrządu można mierzyć czułość wzmacniaczy m.cz. o mocy do 50 W (8 Ω) lub 100 W (4 Ω). Czułość określa się jako poziom napięcia wejściowego przy jakim wzmacniacz osiąga znamionową moc wyjściową. Pomiar ten wykonywany jest dla częstotliwości 1 kHz. Podłączyć rezystancję znamionową (o odpowiedniej mocy) do wyjścia wzmacniacza. Podać sygnał z generatora o częstotliwości 1 kHz na wejście wzmacniacza. Potencjometr regulacji wzmocnienia (wzmacniacza) ustawić na maksimum a regulatory barwy dźwięku i balansu w położeniu środkowym. Mierzyć napięcie wyjściowe na rezystancji obciążenia i zwiększając sygnał wyjściowy generatora uzyskać napięcie odpowiadające znamionowej mocy wyjściowej.

$$U = \sqrt{P \cdot R}$$

**NORD ELEKTRONIK**

*- Skontaktuj się z nami - zamów bezpłatną ofertę; mamy dla Ciebie ponad 150 zestawów do samodzielnego montażu*

*- Zestawy dostępne w sklepach elektronicznych na terenie całego kraju oraz w sprzedaży wysyłkowej*




**NORD ELEKTRONIK s.c.**

**PROJEKTOWANIE I PRODUKCJA URZĄDZEŃ ELEKTRONICZNYCH**

Ustka 76-270,  
przy ul. Kopernika 22  
tel./fax (24h) 0-59-8146154  
603-863-928  
fax (24h) 0-59-8147351  
www.nord-elektronik.home.pl  
e-mail: nord-elektronik@home.pl

**NORD ELEKTRONIK**

**NORD ELEKTRONIK**

**NORD ELEKTRONIK**

**NORD ELEKTRONIK**



Zmierzyć napięcie wejściowe, które określa czułość wzmacniacza. Zakres napięć mierzonych można zwiększyć przez dodanie zewnętrznego rezystora szeregowo z wejściem WE (sondy). Rezystancja 900 kΩ pozwoli na pomiar maksymalnego napięcia do 200 V.

Przy tym pomiarze może okazać się konieczne zrezygnowanie z przewodu łączącego masę wyjścia wzmacniacza z wejściem przyrządu. Połączenie przez dwa przewody masy może prowadzić do wzbudzenia wzmacniacza. Wystarczy połączyć jeden z przewodów - doświadczalnie można zbadać który.

Kolejny parametr to zniekształcenia nieliniowe sygnału wyjściowego wzmacniacza. Pomiar można wykonać dla trzech częstotliwości. Najpierw uzyskujemy zakładaną moc wyjściową mierząc napięcie wyjściowe. Następnie w pozycji K ustawiamy potencjometrem P1 100%. Po przełączeniu w pozycję 100 i następnie 10 regulujemy P2 i P3 na minimum zniekształceń. Dokładny poziom zniekształceń wzmacniacza uzyskamy po uwzględnieniu zniekształceń nieliniowych generatora, które można zmierzyć wcześniej dla każdej z częstotliwości pomiarowych.

$$h = \sqrt{h_m^2 - h_g^2}$$

gdzie:

$h_m$  – zniekształcenia zmierzone,

$h_g$  – zniekształcenia generatora.

Następnym parametrem jest zakres regulacji barwy dźwięku, który sprawdza się dla częstotliwości 100 i 10.000 Hz w odniesieniu do 1.000 Hz. Regulację barwy można sprawdzać przy napięciu wyjściowym dla częstotliwości 1 kHz nie przekraczającym 0,1 napięcia dla mocy znamionowej, aby nie przesterować wzmacniacza. Regulatory ustawić na maksimum. Zmierzyć napięcie wyjściowe i wejściowe dla częstotliwości 1 kHz. Zmienić częstotliwość na 100 Hz i po ustawieniu tego samego napięcia wejściowego zmierzyć napięcie wyjściowe. Stosunek napięcia wyjściowego przy częstotliwości 100 Hz do napięcia przy czę-

stotliwości 1 kHz wyrażony w dB da poszukiwany zakres regulacji na „+”. Taki sam pomiar i obliczenia wykonać dla częstotliwości 10 kHz oraz po ustawieniu regulatorów na minimum (zakres regulacji na „-”).

$$Z = 20 \log \frac{U_f}{U_{1k}}$$

gdzie:

$U_f$  – napięcie wyjściowe przy częstotliwości 100 lub 10.000 Hz,

$U_{1k}$  – napięcie wyjściowe przy częstotliwości 1 kHz.

Tłumienie zakłóceń (przydźwięku) określa się w odniesieniu do mocy znamionowej lub dla sprzętu Hi-Fi do mocy 50 mW (1 kHz). Pomiar w odniesieniu do mocy znamionowej jest podobny jak przy pomiarze czułości, lecz po uzyskaniu zadanej mocy wyjściowej  $U$  należy wyłączyć sygnał wejściowy (potencjometr P4 na minimum) i następnie zmierzyć napięcie wyjściowe bezysterowania  $U_z$ . Pomiar w odniesieniu do mocy 50 mW wymaga podania na wejście napięcia odpowiadającego czułości i regulacji siłą głosu dla uzyskania mocy wyjściowej 50 mW ( $U = 0,45 \text{ V}/4 \Omega$  lub  $0,63 \text{ V}/8 \Omega$ ). Po odłączeniu napięcia wejściowego zmierzyć napięcie zakłóceń. Tłumienie obliczymy z podanego niżej wzoru:

$$T_z = 20 \log \frac{U_z}{U}$$

Będzie ono liczbą ujemną wyrażoną w dB. Stosunek odwrotny da liczbę dodatnią.

Tłumienie przesłuchu stereofonicznego uzyskamy sterując do mocy znamionowej jeden z kanałów ( $U_s$ ) i mierząc napięcie wyjściowe w kanale nie sterowanym ( $U_n$ ). Pomiaru te należy wykonać w obu kierunkach. Wartość tłumienia w dB obliczymy z następującego wzoru:

$$T_p = 20 \log \frac{U_n}{U_s}$$

Tłumienie to także będzie liczbą ujemną.

Na temat wykorzystania przyrządu i pomiarów wzmacniaczy m.cz. można by napisać książkę, ale na tym zakończę życząc ciekawych doświadczeń.

## Rezystory

R21	– 330 $\Omega/0,125 \text{ W}$
R5, R6	– 470 $\Omega/0,125 \text{ W}$
R20	– 560 $\Omega/0,125 \text{ W}$
R3	– 1 k $\Omega/0,25 \text{ W } 2\%$
R31	– 1 k $\Omega/0,125 \text{ W}$
R26	– 2,2 k $\Omega/0,125 \text{ W}$
R2	– 9,1 k $\Omega/0,25 \text{ W}$ (patrz tekst)
R24	– 10 k $\Omega/0,25 \text{ W } 2\%$
R4, R8, R9, R10, R16, R18, R27, R30	– 10 k $\Omega/0,125 \text{ W}$
R13	– 18 k $\Omega/0,125 \text{ W}$
R11, R29	– 22 k $\Omega/0,125 \text{ W}$
R14, R15	– 27 k $\Omega/0,125 \text{ W}$
R22, R23	– 33 k $\Omega/0,25 \text{ W}$
R12	– 39 k $\Omega/0,125 \text{ W}$
R17, R19	– 47 k $\Omega/0,125 \text{ W}$
R1, R25	– 91 k $\Omega/0,25 \text{ W}$ (patrz tekst)
R28	– 91 k $\Omega/0,125 \text{ W}$
R7	– 100 k $\Omega/0,125 \text{ W}$
P6	– 220 $\Omega$ TVP 1232
P5	– 10 k $\Omega$ TVP 1232
P7	– 22 k $\Omega$ TVP 1232
P2, P4	– 4,7 k $\Omega$ -A PR-185
P1	– 10 k $\Omega$ -A PR-185
P3	– 2 x 10 k $\Omega$ -A PRP-185

## Kondensatory

C26	– 33 pF/50 V ceramiczny
C8, C11, C14, C17	– 470 pF/63 V KSF-020 5%
C7, C10, C13, C16	– 4,7 nF/63 V KSF-020 5%
C6, C9, C12, C15	– 47 nF/100 V MKT 5%
C4, C5, C22, C23	– 100 nF/50 V ceramiczny
C1	– 220 nF/63 V MKS-20
C20	– 1 $\mu\text{F}/63 \text{ V MKS-20}$
C19	– 4,7 $\mu\text{F}/25 \text{ V}$
C18, C21	– 10 $\mu\text{F}/25 \text{ V}$
C2, C3	– 47 $\mu\text{F}/16 \text{ V}$
C24, C25	– 100 $\mu\text{F}/16 \text{ V}$

## Inne

Wł1	– przeł. Dwupozycyjny
Wł2	– MPS 126
Wł3	– MPS 134
Wł4	– MPS 143

płytką drukowaną numer 571

Płytki drukowane wysyłane są za zaliczeniem pocztowym. Płytki można zamawiać w redakcji PE.

Cena: płytką numer 571 – 9,50 zł + koszty wysyłki (10 zł).

◇ R.K.

## ZAKUPY W INTERNECIE CZĘŚCI ELEKTRONICZNE



Zakład Elektroniki "CYFRONIKA"  
30-385 Kraków, ul. Ścisłowa 43  
tel. 266-54-99 tel./fax 267-29-60  
e-mail: cyfronika@cyfronika.com.pl

drukowany katalog bezpłatnie  
www.cyfronika.com.pl

KITY!

## Wykaz elementów

### Półprzewodniki

US1, US2	– TL 072
US3	– TL 084
US4	– MX 636
D1, D2	– 1N4148

# Wykorzystanie sygnałów testowych audio

**Podajemy przeznaczenie i sposoby wykorzystania sygnałów testowych audio jakie znajdziecie na nowej płycie CD-PE2 Praktycznego Elektronika.**

Sygnały testowe zapisywane na odpowiednich nośnikach stosowane są w technice audio już od dawna. Pozwalają na sprawdzenie właściwości i poprawności działania całego toru elektroakustycznego łącznie z urządzeniem odtwarzającym zapis. Mogą być oczywiście wykorzystane do sprawdzania i ewentualnej regulacji tylko wybranych fragmentów toru. Sygnały testowe były zapisywane na płytach gramofonowych, taśmach magnetofonowych, ostatnio pojawiły się na płytach CD.

Sygnały testowe, to sygnały małej częstotliwości uzyskiwane z wysokiej jakości źródeł sygnałów a więc generatorów lub tworzone w sposób sztuczny z wykorzystaniem mikrokomputerów a konkretnie kart dźwiękowych wraz z odpowiednim oprogramowaniem. Nawiasem - karty dźwiękowe stają się narzędziem stosowanym zarówno do generacji sygnałów małej częstotliwości jak i do ich pomiarów. Pozwalają w stosunkowo prosty sposób na zaangażowanie mikrokomputera do wytwarzania sygnałów pomiarowych i przetworzenia wyników pomiarów.

## ■ Sygnały pomiarowe i ich właściwości

Bardzo ogólnie ujmując można wyróżnić trzy grupy sygnałów m.cz. transmitowanych lub przetwarzanych przez urządzenia elektroakustyczne:

1. sygnały użyteczne, czyli sygnały mowy i muzyki będące sygnałami przypadkowymi, których składowe częstotliwości mieszczą się w paśmie akustycznym ( $20 \div 20.000$  Hz);
2. sygnały zakłócające, różnego pochodzenia poczynając od szumów elementów kończąc na przydźwięku sieci, które negatywnie wpływają na jakość odtwarzania;
3. sygnały pomiarowe (testowe), przewidziane do testowania i regulacji aparatury, wytwarzane za pomocą specjalnych urządzeń (generatorów) lub zapisywane i odtwarzane.

Jako sygnały pomiarowe są wykorzystywane najczęściej sygnały okresowe sinusoidalne i rzadziej impulsowe lub sygnały szumu.

Głównymi parametrami sygnałów m.cz. są:

- napięcie,
- kształt,
- częstotliwość lub zakres częstotliwości,
- rozkład widmowy.

Termin napięcie jest zwykle precyzowany dokładniej. W tym celu wykorzystuje się określenia charakterystyczne dla przebiegu sinusoidalnego. Należą do nich:

- wartość chwilowa,
- amplituda,
- wartość międzyszczytowa,
- wartość średnia,
- wartość skuteczna.

### Wartości chwilową

- nazywana jest wartość jaką przebieg uzyskuje w danym momencie czasu  $t$ . Dla napięcia sinusoidalnego określa ją zależność:

$$u = U_m \sin \omega t = U_m \sin 2\pi f t$$

We wzorze tym pominięto fazę początkową przebiegu  $\phi$ , która określa wartość chwilową przebiegu dla czasu  $t=0$ .

### Amplituda, wartość maksymalna $U_m$

- jest największą wartością chwilową jaką osiąga przebieg. Amplituda jest pojęciem stosowanym dla przebiegów symetrycznych tzn. takich, które osiągają takie same wartości maksymalne dodatnie jak i ujemne. Dla przebiegów niesymetrycznych mniej problematyczne jest określenie wartości międzyszczytowej.

### Wartość międzyszczytowa $U_{pp}$

- jest sumą maksymalnych wartości bezwzględnych przebiegu (bez znaku) w kierunku dodatnim i ujemnym. Dla przebiegu sinusoidalnego wynosi  $2U_m$ .

### Wartość średnia

- jest średnią arytmetyczną wszystkich wartości chwilowych przebiegu w ciągu okresu  $T=1/f$  ( $f$  – częstotliwość). Wartość średnia przebiegu symetrycznego (sinusoidy) jest równa 0. Odpowiada ona praktycznie tzw. składowej stałej przebiegu. Dla jednokierunkowych połówek sinusoidy (tzw. prostowanie dwupołówkowe) wartość średnia wynosi:

$$U_{sr} = 0,637U_m$$

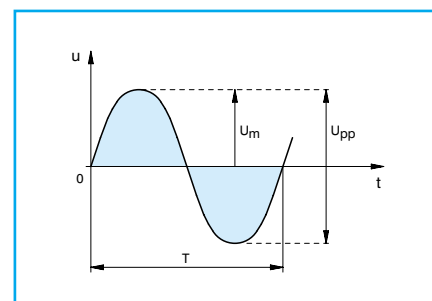
### Wartość skuteczna

- jest obliczana jako pierwiastek ze średniej arytmetycznej kwadratów wartości chwilowych w ciągu okresu. Odpowiada ona wartości napięcia stałego wydzielającego taką samą moc jak analizowany przebieg zmienny. Dla przebiegu sinusoidalnego wartość skuteczna wynosi:

$$U_{sk} = 0,707U_m$$

Ważnym parametrem przebiegu okresowego jest częstotliwość  $f$ . Określa ona liczbę pełnych przebiegów (okresów) w ciągu 1s. Okres  $T$  jest czasem trwania jednego pełnego przebiegu. Związek między nimi podałem już wcześniej. W ciągu jednego okresu przebieg przyjmuje wszystkie wartości chwilowe, które następnie są powtarzane w kolejnym okresie.

Zgodnie z twierdzeniem Fouriera każdy przebieg okresowy może być przedstawiony w postaci sumy składowych harmonicznych, czyli rozłożony na składową stałą i sumę sinusoid o różnych wartościach maksymalnych i fazach początkowych, a których częstotliwości są wielokrotnościami całkowitymi częstotliwości przebiegu okresowego. Dotyczy to zwłaszcza przebiegów o kształcie odbiegającym od sinusoidy, w tym przebiegów



Rys. 1 Przebieg sinusoidalny



impulsowych. Zbiór amplitud poszczególnych harmonicznych nazywany jest *widmem sygnału*. Przebieg sinusoidalny (niezniekształcony) ma tylko harmoniczną podstawową. Widmo sygnału ma charakter prążków w postaci amplitud o częstotliwościach harmonicznych. Ze wzrostem częstotliwości wzrasta odległość między kolejnymi prążkami.

Dla przebiegów impulsowych oprócz podanych wyżej parametrów istotne są zależności czasowe. Należą do nich: czas narastania  $t_n$  (od 0,1 do 0,9  $U_m$ ), czas opadania  $t_o$  (od 0,9 do 0,1  $U_m$ ), czas trwania  $t_i$  (między 0,5  $U_m$  dla zbocza narastającego i opadającego) oraz współczynnik wypełnienia  $\gamma$  określony jako stosunek czasu trwania do okresu.

Dla sygnałów szumu najbardziej charakterystycznymi parametrami są: *rozkład statystyczny amplitud* przedstawiający przebieg prawdopodobieństwa wartości maksymalnych sygnału oraz *widmo gęstości mocy* (przebieg stosunku mocy do pasma częstotliwości w funkcji częstotliwości). Tzw. widmo jednorodne, niezależne od częstotliwości posiada szum biały. Szum różowy posiadający charakter zbliżony do sygnału akustycznego posiada widmo o nachyleniu  $-3$  dB/oktawę.

Elektroakustyka wiąże właściwości i sygnały elektryczne z akustycznymi. Sygnały akustyczne są w ostateczności odbierane słuchowo i oceniane subiektywnie przez słuchacza. Fizjologia słuchu ma wpływ na określanie parametrów sygnałów. Podstawową cechą słuchu jest charakterystyka logarytmiczna wrażeń głośności w odniesieniu do natężeń dźwięku. Parametry urządzeń elektroakustycznych także często są określane w miarze logarytmicznej. Podstawową jednostką logarytmiczną jest *bel* [B], określany jako logarytm dziesiętny ze stosunku dwóch mocy.

$$k = \log \frac{P_2}{P_1} [B]$$

Praktycznie wykorzystuje się jednostkę pochodną – *decybel* [dB] (0,1 B). Tzw. względny poziom mocy (wzmocnienie mocy) w decybelach oblicza się następująco:

$$k_p = 10 \log \frac{P_2}{P_1} [dB]$$

Jeżeli obie moce wydzielają się na tej samej rezystancji, wtedy względny po-

ziom mocy jest równy *względnemu poziomowi napięcia*.

$$k_u = 20 \log \frac{U_2}{U_1} [dB]$$

Stosunek dwóch mocy lub napięć jest miarą względną określającą proporcje, lecz nie informuje o rzeczywistych wartościach napięcia czy mocy. Aby podać wartość bezwzględną napięcia czy mocy trzeba skorzystać z wartości odniesienia. W elektroakustyce za *jednostkę odniesienia*  $P_0$  uważa się moc 1 mW wydzielaną na rezystancji 600  $\Omega$ . *Bezwzględny poziom mocy* wyrażony w [dBm] określa podany niżej wzór:

$$k_{pm} = 10 \log \frac{P}{P_0} [dBm]$$

Bezwzględny poziom mocy wynosi 0 dBm dla mocy 1 mW. Częściej operuje się *napięciem odniesienia*  $U_0$ , czyli napięciem skutecznym wymaganym do uzyskania mocy 1 mW na rezystancji 600  $\Omega$ .

$$U_0 = 0,775 V$$

*Bezwzględny poziom napięcia* wyznacza następujący wzór:

$$U_0 = 0,775 V$$

Bezwzględny poziom napięcia wynosi 0 dBm przy wartości skutecznej napięcia 0,775 V. Praktycznie jednak pomija się warunek rezystancji 600  $\Omega$ . Wskaźniki poziomu sygnału wyskalowane w dBm wskazują właśnie bezwzględny poziom napięcia w odniesieniu do 0,775 V niezależnie od rezystancji obwodu pomiarowego.

Czułość ucha zmienia się w zależności od częstotliwości i poziomu sygnału akustycznego. Często przy pomiarach elektroakustycznych wykorzystuje się specjalne filtry imitujące właściwości ucha. Filtry takie nazywane są filtrami psofometrycznymi. Miernik poziomu z *filtrem psofometrycznym* potocznie nazywany jest *psofometrem*. Psofometry wykorzystywane są przy pomiarach szumów i zakłóceń. Uwzględniają właściwości słuchu i jednocześnie poprawiają wyniki pomiarów ograniczając pasmo częstotliwości mierzonych szumów czy zakłóceń.

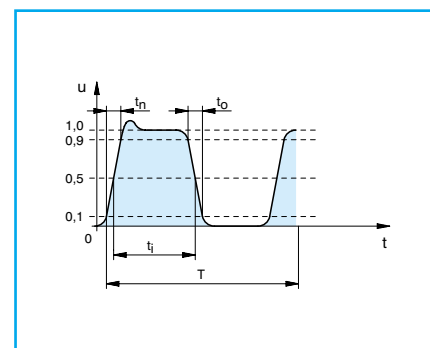
Zanim przystąpimy do wykorzystywania sygnałów testowych jeszcze wyjaśnię kilka pojęć związanych bardziej z muzyką, ale często używanych w elektroakustyce. Są to pojęcia związane ze stosunkiem częstotliwości. *Oktawa* oznacza podwojenie częstotliwości czyli zakres częstotliwości mieszczący się między częstotliwościami  $f$  a  $2f$ . *Tercja* jest określeniem używanym do nazwania pasma częstotliwości wynoszącego 1/3 oktawy. *Dekada* jest zakresem częstotliwości mieszczącym się między częstotliwością  $f$  a częstotliwością  $10f$  (dziesięciokrotny wzrost częstotliwości).

## Jak wykorzystać sygnały testowe?

Zapisane na płycie CD sygnały testowe po odtworzeniu nadają się do sprawdzenia właściwości i prawidłowości połączeń stereofonicznego zestawu elektroakustycznego (ścieżki 1 ÷ 8). Sygnały 9, 10 i 11 przeznaczone są do regulacji i sprawdzenia miernikaysterowania. Sygnały od 12 do 43 przeznaczone są do sprawdzenia charakterystyki częstotliwościowej zestawu oraz do regulacji częstotliwości środkowych filtrów korektora graficznego lub analizatora widma. Sygnały szumu tercjowego na ścieżkach od 44 do 74 przewidziane są do sprawdzenia działania analizatora widma. Ostatni sygnał (ścieżka 75) może być wykorzystany jako sygnał odniesienia dla pozostałych pomiarów.

Opiszę teraz wykorzystanie sygnałów z kolejnych ścieżek:

1. Sygnał szumu różowego przeznaczony do oceny prawidłowości podłączenia kanałów, zrównoważenia i charakterystyk częstotliwościowych. Ustawić na pierwszym sygnale szumu z obu głośników poziom wyjściowy przy jakim normalnie słuchamy. Sygnały powinny się poja-



Rys. 2 Przebieg impulsowy

wiać następnie kolejno w kanale lewym i prawym. Jeśli jest odwrotnie to trzeba zamienić wtyczki na wejściu lub wyjściu wzmacniacza i sprawdzić jeszcze raz. Poziomy sygnałów i ich barwa słyszane z głośników powinny być takie same. Ewentualnie skorygować położenie regulatora równowagi kanałów (balansu). Oczywiście słuchamy w punkcie jednakowo oddalonym od obu zespołów głośnikowych.

2. Sygnał szumu różowego przewidziany do kontroli sfazowania zespołów głośnikowych. Potencjometr siły głosu ustawić w normalnie używanym położeniu. Sygnały o fazach zgodnych powinny być słyszane z punktu leżącego między głośnikami. Sygnały o fazach przeciwnych powinny być słyszane z dwóch głośników oddzielnie. W przeciwnym przypadku należy zamienić końcówki przewodów podłączenia jednego zespołu i sprawdzić ponownie.
3. Sygnał do sprawdzenia poprawności całego toru elektroakustycznego. Powinien mieć charakter niskich tonów. Zwrócić uwagę na brak rezonansów i brzęczeń. Może być wykorzystany do sprawdzenia analizatora widma – jednakowe wskazania wszystkich pasm. Sprawdzić wpływ regulacji barwy dźwięku, tony niskie.
4. Jak poprzednio - zabarwienie tonami wysokimi. Profilaktycznie można nieco zmniejszyć siłę głosu. Sprawdzić wpływ regulacji barwy dźwięku – tony wysokie.
5. Sygnał do sprawdzenia prawidłowości podłączenia głośników niskotonowych. Faza zgodna powinna dawać efekt wzmocnienia sygnału. Faza przeciwna spowoduje osłabienie sygnału. Przy tych częstotliwościach trudno o kierunek.
6. Jak wyżej – przy fazie zgodnej sygnał dochodzi z punktu między głośnikami. Przy fazie przeciwnej z boków.
7. Jak wyżej – sprawdzamy podłączenie głośników średniotonowych.
8. To samo dla głośników wysokotonowych. Jeśli w którymś z przypadków wystąpi sytuacja odwrotna, niezbędne będzie sprawdzenie i zmiana podłączeń odpowiednich głośników wewnątrz obudowy zespołu.
9. Komplet sygnałów o częstotliwości 1 kHz umożliwiających dokładne

skalibrowanie typowego miernika, który obejmuje zakres od  $-20$  dB do  $+6$  dB. Wszystkie sygnały przesunięte są o  $-10$  dB. Czyli poziomowi  $0$  dB na mierniku odpowiada nagrany sygnał o poziomie  $-10$  dB. Do kalibracji miernika konieczne jest podłączenie dodatkowego wzmacniacza pomiędzy wyjście odtwarzacza kompaktowego a miernikysterowania. Wzmocnienie wzmacniacza powinno wynosić  $10$  dB ( $3,16$  V/V). Wygodne będzie zastosowanie typowego wzmacniacza operacyjnego.

10. Paczki przebiegów o częstotliwości  $5$  kHz i czasie trwania  $10$  ms z poziomem  $0$  dB. Pomiędzy paczkami występuje przerwa  $2$  sek. Sygnały te pozwalają sprawdzić czy czas całkowania miernika nie jest zbyt długi. Prawidłowo działający, wcześniej skalibrowany miernik powinien po odebraniu paczki wskazać wartość  $-1 \div 0$  dB. Jeżeli wskazówka, lub diody nie osiągną tego poziomu, oznacza to że czas całkowania jest zbyt długi. Należy wtedy zmniejszyć wartość kondensatora całkowującego w mierniku. Zbyt długi czas całkowania może fałszować odczyt rzeczywistego poziomu sygnału prowadząc do przesterowania toru akustycznego.
11. Sygnały nagrane z różnymi poziomami umożliwiając kontrolę miernikówysterowania obejmujących znacznie szerszy zakres pomiaru ( $-80 \div 0$  dB). Oprócz tego możliwa też jest odsłuchowa kontrola poziomu zakłóceń (szumów, przydźwięków, brumów) dla sygnałów o szczególnie niskich poziomach.
12. Przestrzajany płynnie sygnał sinusoidalny pozwoli na sprawdzenie pobieżne charakterystyki przenoszenia toru elektroakustycznego. Przy okazji można sprawdzić własny słuch. Poziom sygnału jest wprowadzić obniżony o  $10$  dB, ale radzę nie przekraczać  $1/3$  położenia regulatora siły głosu. Zbyt duża moc przy częstotliwościach wysokich (powyżej  $8$  kHz) może spowodować uszkodzenie głośnika wysokotonowego.
- 13 ÷ 43. Sygnały sinusoidalne o różnych częstotliwościach pozwolą na dokładne określenie charakterystyki częstotliwościowej wzmacniacza lub całego toru elektroakustycznego.

Można to zrobić odsłuchowo i przy okazji sprawdzić rezonanse i inne niepożądane efekty. Lepiej jednak wykorzystać mikrofon i miernik poziomu lub sam miernik poziomu podłączony do wyjścia wzmacniacza. Należy zapisywać poziomy sygnałów dla poszczególnych częstotliwości i następnie wykreślić charakterystykę korzystając ze skali logarytmicznej częstotliwości. Także zwrócić uwagę na nieprzekroczenie dopuszczalnej mocy głośnika wysokotonowego. Zmniejszyć siłę głosu przy regulatorach barwy dźwięku ustawionych na MAX. Sygnały o dokładnie ustalonych częstotliwościach można wykorzystać przy dobieraniu elementów filtrów korektorów graficznych lub analizatorów widma. W tym celu sygnał o wymaganej częstotliwości podać na wejście filtru. W odtwarzaczu CD ustawić powtarzanie ścieżki (repeat). Mierzając poziom sygnału na wyjściu filtru dobrać elementy aby uzyskać maksimum sygnału. Sygnały te można wykorzystać także do określenia charakterystyki częstotliwościowej zapis - odczyt magnetofonu. W tym celu trzeba je nagrać i następnie odtworzyć jednocześnie mierząc poziomy poszczególnych częstotliwości.

- 44 ÷ 74. Sygnał szumu różowego wydzielony przez filtry tercjowe. Pasma każdego z tych sygnałów obejmuje  $1/3$  odpowiadającej mu oktawy. Jest to sygnał przeznaczony dla analizatora widma. Umożliwia sprawdzenie i regulację analizatora widma. Każdemu sygnałowi powinno odpowiadać jednakowe wskazanie analizatora. Sygnały te pozwalają na badanie charakterystyk częstotliwościowych z wykorzystaniem analizatora widma. Sygnał podaje się na wejście wzmacniacza a analizator podłącza do wyjścia lub z wykorzystaniem mikrofonu. Zastosowanie mikrofonu na wejściu analizatora pozwoli na ocenę i dobór parametrów pomieszczenia odsłuchowego co było opisane w PE 4'2000.
75. Sygnał odniesienia przeznaczony do ustalenia właściwego odniesienia przy wszystkich pomiarach. Można go wykorzystać do sprawdzenia miernika poziomu ( $0$  dB), pomiaru mocy wyjściowej, poziomu zakłóceń



itp. Pomiary mocy wyjściowej i zakłóceń opisane są w artykule pt. Przynrząd elektroakustyka, zamieszczonym w bieżącym PE.

## ■ Wykaz Sygnałów testowych

Nr Sygnał	Czas
1 Szum różowy – kontrola kanałów	30 s
2 Szum różowy – kontrola fazy	20 s
3 Szum różowy – całe pasmo	30 s
4 Szum biały – całe pasmo	30 s
5 Szum różowy – pasmo $0 \div 0,2$ kHz	45 s
6 Szum różowy – pasmo $0,2 \div 1$ kHz	45 s
7 Szum różowy – pasmo $1 \div 20$ kHz	45 s
8 Szum różowy – pasmo $6 \div 20$ kHz	45 s
9 Miernik wysterowania – poziomy $-30 \div -4$ dB, 1 kHz	32 s
10 Miernik wysterowania – impulsy 0 dB, 5 kHz	12 s
11 Sinus poziomy – $-80 \div -10$ dB, 1 kHz	40 s

12 Sinus przestrajany od 20 Hz do 20 kHz poziom $-10$ dB	31 s
13 Sinus 20 Hz, $-10$ dB	20 s
14 Sinus 25 Hz, $-10$ dB	20 s
15 Sinus 31,5 Hz, $-10$ dB	20 s
16 Sinus 40 Hz, $-10$ dB	20 s
17 Sinus 50 Hz, $-10$ dB	20 s
18 Sinus 63 Hz, $-10$ dB	20 s
19 Sinus 80 Hz, $-10$ dB	20 s
20 Sinus 100 Hz, $-10$ dB	20 s
21 Sinus 125 Hz, $-10$ dB	20 s
22 Sinus 160 Hz, $-10$ dB	20 s
23 Sinus 200 Hz, $-10$ dB	20 s
24 Sinus 250 Hz, $-10$ dB	20 s
25 Sinus 315 Hz, $-10$ dB	20 s
26 Sinus 400 Hz, $-10$ dB	20 s
27 Sinus 500 Hz, $-10$ dB	20 s
28 Sinus 630 Hz, $-10$ dB	20 s
29 Sinus 800 Hz, $-10$ dB	20 s
30 Sinus 1,0 kHz, $-10$ dB	20 s
31 Sinus 1,25 kHz, $-10$ dB	20 s
32 Sinus 1,6 kHz, $-10$ dB	20 s
33 Sinus 2,0 kHz, $-10$ dB	20 s
34 Sinus 2,5 kHz, $-10$ dB	20 s
35 Sinus 3,15 kHz, $-10$ dB	20 s
36 Sinus 4,0 kHz, $-10$ dB	20 s
37 Sinus 5,0 kHz, $-10$ dB	20 s
38 Sinus 6,3 kHz, $-10$ dB	20 s
39 Sinus 8,0 kHz, $-10$ dB	20 s
40 Sinus 10,0 kHz, $-10$ dB	20 s
41 Sinus 12,5 kHz, $-10$ dB	20 s
42 Sinus 16,0 kHz, $-10$ dB	20 s
43 Sinus 20,0 kHz, $-10$ dB	20 s
44 Szum 20 Hz, 1/3 okt.	15 s
45 Szum 25 Hz, 1/3 okt.	15 s
46 Szum 31,5 Hz, 1/3 okt.	15 s
47 Szum 40 Hz, 1/3 okt.	15 s
48 Szum 50 Hz, 1/3 okt.	15 s
49 Szum 63 Hz, 1/3 okt.	15 s
50 Szum 80 Hz, 1/3 okt.	15 s
51 Szum 100 Hz, 1/3 okt.	15 s
52 Szum 125 Hz, 1/3 okt.	15 s
53 Szum 160 Hz, 1/3 okt.	15 s
54 Szum 200 Hz, 1/3 okt.	15 s
55 Szum 250 Hz, 1/3 okt.	15 s
56 Szum 315 Hz, 1/3 okt.	15 s
57 Szum 400 Hz, 1/3 okt.	15 s
58 Szum 500 Hz, 1/3 okt.	15 s
59 Szum 630 Hz, 1/3 okt.	15 s
60 Szum 800 Hz, 1/3 okt.	15 s
61 Szum 1,0 kHz, 1/3 okt.	15 s
62 Szum 1,25 kHz, 1/3 okt.	15 s
63 Szum 1,6 kHz, 1/3 okt.	15 s
64 Szum 2,0 kHz, 1/3 okt.	15 s
65 Szum 2,5 kHz, 1/3 okt.	15 s
66 Szum 3,15 kHz, 1/3 okt.	15 s
67 Szum 4,0 kHz, 1/3 okt.	15 s
68 Szum 5,0 kHz, 1/3 okt.	15 s

69 Szum 6,3 kHz, 1/3 okt.	15 s
70 Szum 8,0 kHz, 1/3 okt.	15 s
71 Szum 10,0 kHz, 1/3 okt.	15 s
72 Szum 12,5 kHz, 1/3 okt.	15 s
73 Szum 16,0 kHz, 1/3 okt.	15 s
74 Szum 20,0 kHz, 1/3 okt.	15 s
75 Sinus poziom 0 dB, 1 kHz	20 s

## ■ Uwagi dotyczące wybranych sygnałów

- 5 sek oba kanały, 5 sek kanał lewy, 5 sek kanałprawy, 5 sek kanał lewy, 5 sek kanałprawy, 5 sek kanał lewy.
- Szum monofoniczny identyczny w obu kanałach; 5 sek w zgodnej fazie, 5 sek w przeciwnej fazie, 5 sek w zgodnej fazie, 5 sek w przeciwnej fazie.
- Szum stereofoniczny (różny w obu kanałach).
- Szum stereofoniczny (różny w obu kanałach).
- Szum monofoniczny identyczny w obu kanałach; 20 sek w zgodnej fazie, 5 sek w zgodnej fazie, 5 sek w przeciwnej fazie, 5 sek w przeciwnej fazie, 5 sek w zgodnej fazie, 5 sek w zgodnej fazie.
- 6, 7, 8 Jak wyżej.
- Sinus 1 kHz, sygnały po 2 sek z poziomami:  $-30$  dB,  $-20$  dB,  $-17$  dB,  $-15$  dB,  $-13$  dB,  $-12$  dB,  $-11,5$  dB,  $-11$  dB,  $-10,5$  dB,  $-10$  dB,  $-9,5$  dB,  $-9$  dB,  $-8,5$  dB,  $-8$  dB,  $-7$  dB,  $-4$  dB.
- Sinus 5 kHz, sześć paczek 10 ms z przerwami 2 sek.
- Sinus 1 kHz, sygnały po 5 sek z poziomami:  $-80$  dB,  $-70$  dB,  $-60$  dB,  $-50$  dB,  $-40$  dB,  $-30$  dB,  $-20$  dB,  $-10$  dB.

Podczas odsłuchiwania płyty z sygnałami testowymi należy ograniczyć głośność odtwarzania. Nie zastosowanie się do tych zaleceń może spowodować uszkodzenie sprzętu. Dotyczy to zwłaszcza ścieżek wytłuszczonych w spisie (numery: 9, 10, 13, 14, 15, 16, 42, 43, 44, 45, 46, 74, 75).

Redakcja nie ponosi odpowiedzialności za ewentualne uszkodzenia wzmacniaczy, lub kolumn głośnikowych podczas użytkowania płyty z nadmierną głośnością.



Pawilon 102

## systemy alarmowe

**Systemy alarmowe  
renomowanych firm  
do mieszkań i samochodów  
w dowolnych konfiguracjach**

**Sklep – pawilon 102**  
Warszawa, Bazar Wolumen  
(róg Kasprzowicza i Wolumen 53)

Czynny:  
w piątki w godz. 9–12  
oraz w czasie trwania giełdy elektronicznej:  
w soboty w godz. 13–18  
w niedziele w godz. 6–13

## Sprzedaż wysyłkowa

Firma „Gerard – systemy alarmowe”  
zaprasza instalatorów do nowego punktu sprzedaży od poniedziałku do czwartku w godz. 8–16 przy ul. Suwalskiej 36d lok. 8 (IV piętro)  
tel. (022) 675-66-20, 0602-251-160  
fax 674-11-44

zapytania o ofertę oraz zamówienia proszę składać listownie, telefonicznie lub faxem:

**Gerard Heering**  
03-252 Warszawa, ul. Suwalska 36d lok. 8

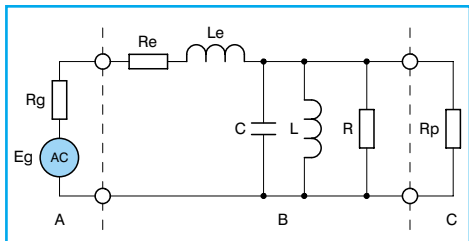
# Schemat zastępczy głośnika dynamicznego

Problem schematu zastępczego głośnika staje się istotny przy dokładnym projektowaniu zwrotnic głośnikowych oraz symulacji komputerowej zwrotnic i wzmacniaczy mocy. Schemat taki można uzyskać na podstawie analogii między mechanicznymi i elektrycznymi układami drgającymi (rezonansowymi). Przedstawiamy w jaki sposób można uzyskać parametry schematu zastępczego głośnika na podstawie parametrów Thiele-Smalla podawanych w danych katalogowych głośników.

## ■ Analogie mechaniczno-elektryczne

Drgający układ mechaniczny składający się z masy zamocowanej sprężystości i poruszanej siłą opisany jest tego samego typu równaniem co obwód rezonansowy składający się z indukcyjności, pojemności i rezystancji reprezentującej straty. Układ mechaniczny można z powodzeniem zastąpić układem elektrycznym, którego analizę przeprowadza się korzystając z właściwości liczb zespolonych. Szczególnie jest to cenne w przypadku powiązania właściwości elektrycznych z mechanicznymi jakie ma miejsce w głośniku.

Stosowane są dwie analogie: pierwszego rodzaju, w której sile mechanicznej odpowiada napięcie i drugiego rodzaju, w której sile odpowiada prąd. Analogia pierwszego rodzaju jest stosowana przy rozpatrywaniu właściwości układu mechanicznego za pomocą układu elektrycznego. Odpowiada jej szeregowy obwód rezonansowy. Jej wadą jest brak możliwości powiązania układu elektrycznego głośnika z właściwościami mechanicznymi. Dlatego przy tworzeniu schematu zastępczego głośnika korzysta się z analogii drugiego rodzaju, która jest reprezentowana przez równoległy obwód rezonansowy.



Rys. 1 Schemat zastępczy głośnika dynamicznego

Analogia drugiego rodzaju tworzy następujące przyporządkowanie:

masa	$M$	–	$C$	pojemność
straty	$R_m$	–	$R$	rezystancja
podatność	$C_m$	–	$L$	indukcyjność
prędkość	$v$	–	$u$	napięcie
siła	$F$	–	$i$	prąd

## ■ Schemat zastępczy głośnika

Na podstawie podanej wyżej analogii można zaproponować schemat zastępczy przedstawiony na rys. 1. Jak każdy schemat zastępczy stanowi on uproszczony opis układu rzeczywistego. Jest to schemat odpowiadający głośnikowi bez obudowy.

Schemat podzielony jest na trzy części. Część A dotyczy źródła sterującego i właściwie nie dotyczy bezpośrednio schematu zastępczego. Część B ujmuje właściwy schemat zastępczy głośnika. Część C to tzw. rezystancja promieniowania prezentująca energię zamienianą na falę akustyczną.

Rezystancja  $R_e$  odpowiada rezystancji cewki głośnika dla prądu stałego. Można ją zmierzyć omomierzem, ale zwykle jest podawana w danych katalogowych głośnika. Indukcyjność  $L_e$  to również indukcyjność cewki głośnika. Pomiar jej jest dość kłopotliwy ponieważ musi być wykonany przy prądzie zmiennym i wtedy zaznacza się wpływ pozostałych elementów schematu zastępczego. Indukcyjność tą należy mierzyć przy częstotliwości rzędu 1 kHz. Wtedy równoległy obwód rezonansowy  $L$ ,  $R$ ,  $C$  ma znikomą impedancję o charakterze pojemnościowym i minimalnie wpływa na dokładność pomiaru. W danych katalogowych indukcyjność ta zwykle nie jest podawana. Ponieważ ma ona związek z obwodem magnetycznym głośnika powinno się uwzględnić straty w żelazie. Zaniedbanie ich nie wpływa znacząco na dokładność schematu zastępczego i poprawność uzyskanych wyników.

Równoległy obwód rezonansowy ma reprezentować stronę mechaniczną głośnika. Pojemność  $C$  uzyskuje się po zsumowaniu masy drgającej (membrana i cewka) oraz masy współdrgającej (po-

wietrze). Współczynnikiem proporcjonalności jest współczynnik sprzężenia układu mechanicznego z układem elektrycznym  $A$ .

$$C = \frac{M_{cmv}}{A}$$

Przy określaniu indukcyjności  $L$  bierze się pod uwagę podatność zawieszek dolnego i górnego  $C_z$ . Podatność jest odwrotnością sprężystości. Umieszczenie głośnika w obudowie zmieni podatność wskutek efektu działania tzw. poduszki powietrznej. Współczynnik proporcjonalności jest taki sam jak poprzednio.

$$L = A \cdot C_z$$

Rezystancja  $R$  ujmuje straty związane z zawieszeniem elementów drgających głośnika. Straty te powstają przy odkształcaniu resorów i prezentuje je konduktancja mechaniczna  $R_z$ .

$$R = \frac{A}{R_z}$$

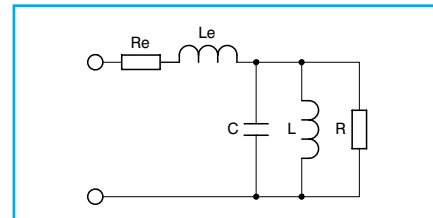
Promieniowanie energii akustycznej określa konduktancja akustyczna  $R_a$ . Odpowiadającą jej rezystancję promieniowania uzyskamy na podstawie podanego niżej wzoru.

$$R_p = \frac{A}{R_a}$$

## ■ Praktyczne schematy zastępcze głośnika dynamicznego

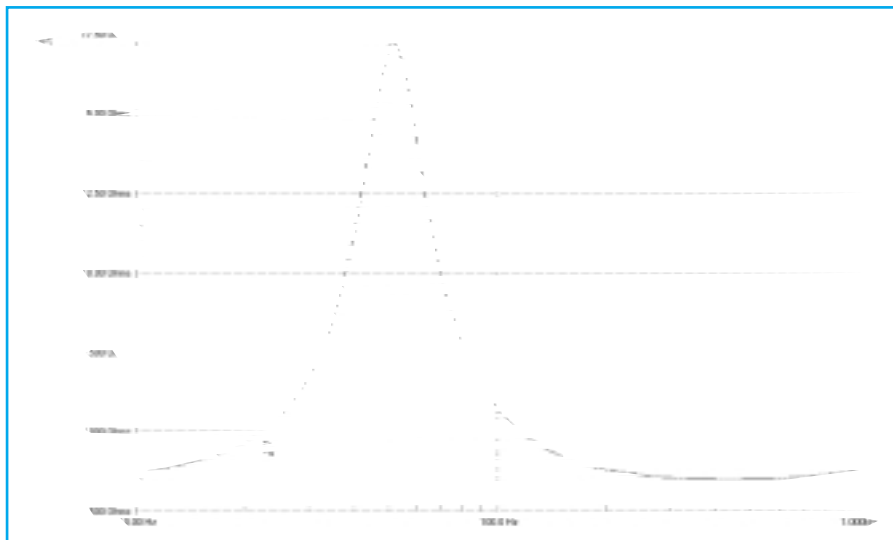
Po wprowadzeniu przyszedł czas na zajęcie się praktycznym uzyskiwaniem elementów schematu zastępczego. Rozpocznijmy od schematu zastępczego głośnika bez obudowy. Na schemacie pominie rezystancję promieniowania, która nie wpływa znacząco na sam schemat a jest bardzo kłopotliwa do uzyskania.

Rezystancję  $R_e$  i indukcyjność  $L_e$  uzyskamy przez pomiar lub z katalogu. Aby obliczyć pozostałe elementy układu zastępczego musimy obliczyć najpierw wielkości pomocnicze. Należą do nich: współczynnik transformacji  $A$  i dodatkowe współczynniki



Rys. 2 Praktyczny schemat zastępczy głośnika bez obudowy





Rys. 3 Przebieg modułu impedancji głośnika bez obudowy

$m_1$ ,  $r_1$ ,  $c_1$ . Wzory uzyskane na podstawie doświadczeń (empiryczne) mogą zniechęcić. Jako parametry wyjściowe wymagane będą następujące parametry Thiele-Smalla: częstotliwość rezonansowa  $f_s$  [Hz], objętość zastępcza  $V_{as}$  [l], dobroć elektryczna  $Q_e$  i dobroć mechaniczna  $Q_m$ .

$$A = \frac{R_e \cdot 2,23 \cdot 10^7}{f_s \cdot V_{as} \cdot Q_e}$$

$$m_1 = \frac{3,55 \cdot 10^6}{f_s^2 \cdot V_{as}}$$

$$c_1 = V_{as} \cdot 0,7 \cdot 10^{-8}$$

$$r_1 = \frac{f_s \cdot m_1 \cdot 6,28}{Q_m}$$

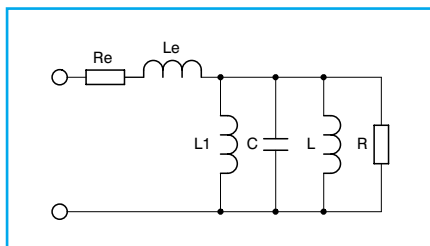
Teraz przystąpimy do obliczenia interesujących nas wartości  $L$ ,  $C$  i  $R$ .

$$L = A \cdot c_1 [H]$$

$$C = \frac{m_1}{A} [F]$$

$$R = \frac{A}{r_1} [\Omega]$$

Proponuję dla ilustracji wzorów przykład obliczeń parametrów głośnika GDN 13/50 4  $\Omega$ . Zgodnie z katalogiem Tonsilu



Rys. 4 Schemat zastępczy głośnika w obudowie zamkniętej

rezystancja  $R_e$  wynosi 3,45  $\Omega$ . Zmierzona indukcyjność  $L_e$  wynosi natomiast 0,3 mH. Parametry Thiele-Smalla wynoszą odpowiednio:

$$f_s = 51 \text{ Hz};$$

$$V_{as} = 11 \text{ l};$$

$$Q_m = 2,4;$$

$$Q_e = 0,6$$

Daruję sobie podstawianie do wzorów i podam obliczone wartości współczynników pomocniczych:

$$A = 2,29 \cdot 10^5;$$

$$m_1 = 124,1;$$

$$c_1 = 7,7 \cdot 10^{-8};$$

$$r_1 = 16,56 \cdot 10^3$$

Wzory do obliczania właściwych parametrów schematu zastępczego są już dużo prostsze. Także podam tylko wyniki obliczeń:

$$L = 17,6 \text{ mH};$$

$$C = 542 \mu F;$$

$$R = 13,8 \Omega;$$

zmierzone:

$$R_e = 3,45 \Omega;$$

$$L_e = 0,3 \text{ mH}$$

Dla pełnej satysfakcji przedstawię przebieg modułu impedancji głośnika w funkcji częstotliwości uzyskany na podstawie symulacji komputerowej.

Przechodzimy teraz do schematu zastępczego głośnika umieszczonego w obudowie zamkniętej. Poduszka zamkniętego w obudowie powietrza spowoduje zmniejszenie podatności i w efekcie zmniejszenie indukcyjności  $L$ . Efekt ten daje równoległe dołączenie do  $L$  indukcyjności  $L_1$  pokazane na schemacie zastępczym z rysunku 4.

Dla obliczenia indukcyjności  $L_1$  niezbędna jest znajomość objętości obudowy  $V_b$  wyrażonej w litrach [l]. Na jej podstawie obliczamy współczynnik pomocniczy  $c_2$ :

$$c_2 = V_b \cdot 0,7 \cdot 10^{-8}$$

$$L_1 = A \cdot c_2 [H]$$

Posłużę się znowu przykładem dla tego samego głośnika po umieszczeniu go w obudowie zamkniętej o objętości 20 l.

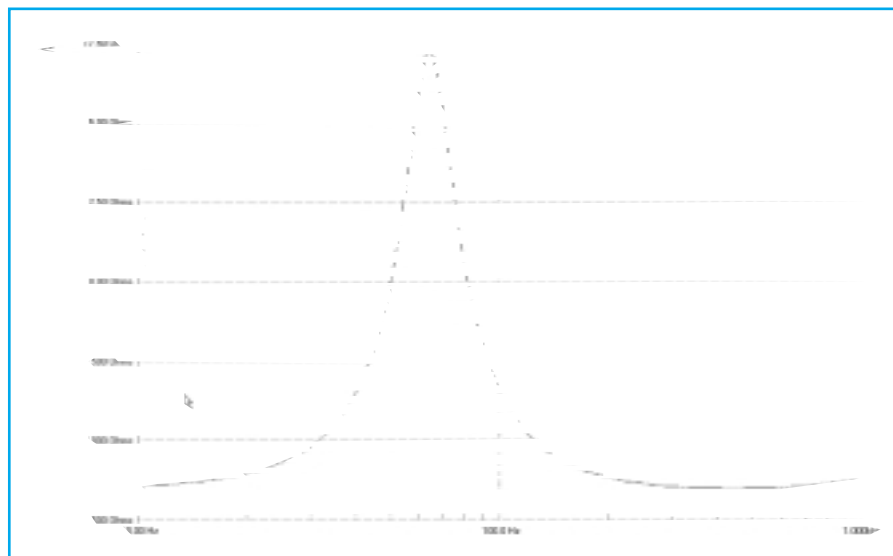
$$c_2 = 14 \cdot 10^{-8};$$

$$L_1 = 32 \text{ mH}$$

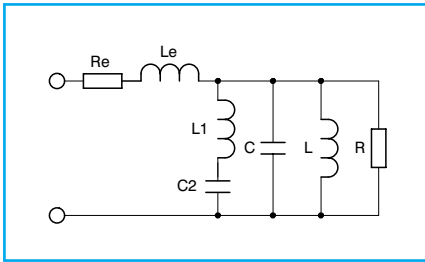
Indukcyjność wypadkowa równoległego połączenia  $L$  i  $L_1$  wynosi:

$$L_w = \frac{L \cdot L_1}{L + L_1} = 11,35 \text{ mH}$$

Wynik symulacji impedancji głośnika w obudowie zamkniętej prezentuje rysunek 5. Przebieg ten charakteryzuje się zwiększoną częstotliwością rezonansu (56,7 Hz).



Rys. 5 Przebieg impedancji głośnika w obudowie zamkniętej

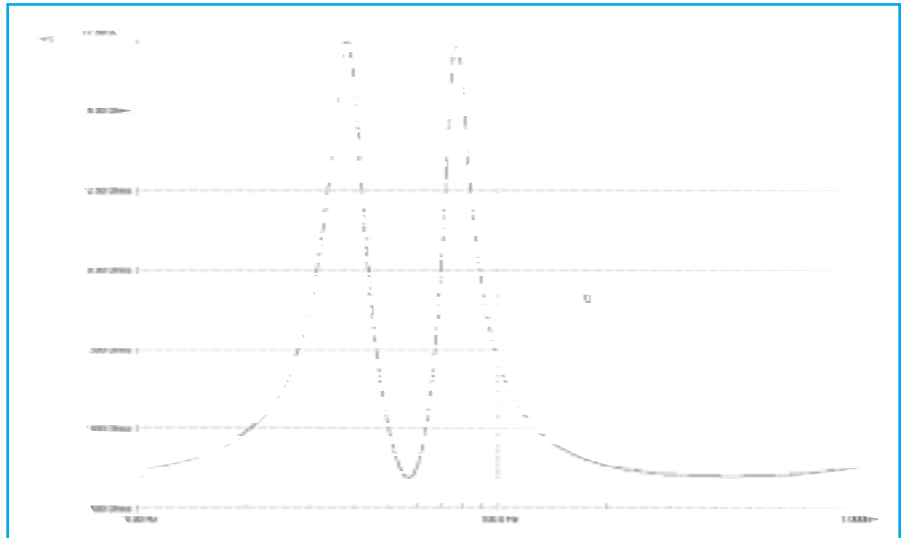


Rys. 6 Schemat zastępczy głośnika w obudowie z otworem

Na zakończenie pozostał nam schemat zastępczy głośnika w obudowie z otworem (bas-reflex). Dodatkowym elementem jest pojemność  $C_2$  włączona szeregowo z indukcyjnością  $L_1$ . Pojemność ta reprezentuje masę powietrza drgającą w otworze obudowy. Do obliczeń niezbędne będą parametry otworu (rury) wyrażone w metrach [m]: średnica  $D$  i długość  $l$ . Obliczenia rozpoczynamy od współczynnika pomocniczego  $m_2$ :

$$m_2 = 1,2 \cdot \left( \frac{1,08}{D} + \frac{1,27 l}{D^2} \right)$$

$$c_2 = \frac{m_2}{A} \text{ [F]}$$



Rys. 7 Przebieg modułu impedancji głośnika w obudowie z otworem

W przykładzie wykorzystamy tą samą obudowę wyposażoną w otwór o średnicy  $D = 0,05$  m i długości  $l = 0,05$  m (po 5 cm). Wyniki obliczeń są następujące:

$$m_2 = 56,4;$$

$$c_2 = 246,3 \mu\text{F}$$

Myślę że pouczający będzie przebieg impedancji takiej obudowy uzyskany na

podstawie symulacji komputerowej wykorzystującej nasz schemat zastępczy. Swoją drogą, ciekaw jestem jak wielu czytelników doczyta do tego miejsca, gratuluję wytrwałości.

◇ R.K.

## Symulator pamięci EPROM

Zastosowanie symulatora pamięci EPROM w procesie programowania procesorów zapewnia programiście wygodę i komfort pracy oraz ogromną oszczędność czasu.

Umożliwia wprowadzanie niezliczonej ilości poprawek w aktualnie pisanym programie i sprawdzanie na bieżąco osiąganych rezultatów w rzeczywistości, aż do uzyskania zadowalającego efektu końcowego, bez konieczności każdorazowego wyjmowania EPROMU z płytki i kasowania go, aby móc dopiero wprowadzić jakąś zmianę w programie.

Zalety te docenią zarówno początkujący programiści jak i doświadczeni twórcy skomplikowanych programów, mogący dzięki symulatorowi śledzić na bieżąco efekty swojej pracy.

Przesyłanie kodu programu z komputera do symulatora odbywa się za pośrednictwem łącza szeregowego RS 232 z prędkością 19200. Symulator przyjmuje dane w formacie HEX, dzięki czemu może współpracować z każdym

komputerem. Do przesyłania wystarczy wysłać plik w formacie HEX wprost do portu szeregowego bez konieczności używania specjalnego programu.

Zastosowanie szybkiego transoptora pozwoliło odseparować galwanicznie komputer od symulatora i badanego układu.

Każdy symulator posiada inny adres, dzięki czemu możliwe jest podłączenie wielu symulatorów do jednego portu szeregowego (RS 232).

Aby załadować program należy:

- ustawić parametry portu szeregowego;
  - wysłać plik zawierający adres;
  - wysłać właściwy plik z zawartością programu;
  - wysłać plik określający typ pamięci.
- Całość tej pracy można zautomatyzować przy pomocy jednego pliku wsadowego.

### Przykładowa postać pliku LOAD.BAT :

```
MODE COM2,19200,N,8,1
COPY ADRES.TXT COM2
COPY PROGRAM.HEX COM2
COPY TYPEPROM.TXT COM2
```

Plik zawierający adres symulatora jest typowym plikiem tekstowym i powinien zawierać pięć znaków gwiazdki „\*” a następnie adres.

### Przykładowy plik ADRES.TXT:

```
*****F7
```

Dopiero po otrzymaniu takiego rozkazu symulator odbiera dane z łącza szeregowego. Dzięki temu to samo łącze można używać do innych celów.

Plik zawierający typ pamięci EPROM jest typowym plikiem tekstowym i powinien zawierać znak nawiasu kwadratowego „[” i typ EPROMU.

### TYP EPROMU

2716	1
2732	2
2764	3
27128	4
27256	5
27512	6

### PARAMETR W PLIKU

### Przykładowy plik TYPEPROM.TXT:

[5

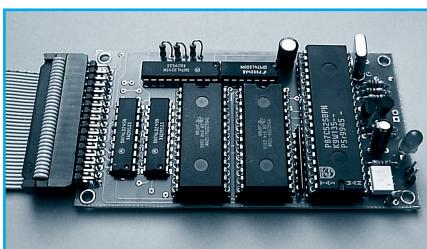
### Podstawowe parametry :

Wymiary	– 95 × 50 mm
Napięcie zasilania	– 5 V
pobierane poprzez sondę	
Pobór prądu	– 120 mA
Maksymalna emulowana pamięć	– 27512
Ładowanie programu poprzez RS232	– 19200/8/N/1
Galwaniczne odizolowanie symulatora od komputera	

Symulatory są wysyłane za zaliczeniem pocztowym. Symulatory można zamawiać w redakcji PE.

Cena: SYMULATOR – 167,00 zł  
+ koszty wysyłki

Artykuł na podstawie materiałów dostarczonych przez firmę KG ELEKTRONIK, tel. (032) 737 57 05



## Pomysły układowe filtry RC cz. 1

Proste połączenie rezystora i kondensatora tworzy dzielnik napięcia, którego stopień podziału jest funkcją częstotliwości doprowadzonego do dzielnika sygnału. W taki sposób powstaje najprostszy filtr pierwszego rzędu. Możliwe są dwa przypadki połączeń. W pierwszym z nich z masą połączony jest rezystor a w drugim kondensator. Otrzymuje się w ten sposób najprostszy filtr górnoprzepustowy i dolnoprzepustowy (rys. 1). Parametry takiego filtru zależą od wartości zastosowanych elementów. Zależność ta jest podana prostym wzorem zamieszczonym na rysunku. Dla obliczonej w ten sposób częstotliwości granicznej  $f_g$  sygnał wejściowy jest tłumiony o 3 dB. W dalszej części charakterystyka amplitudowa opada z nachyleniem 6 dB/okt albo inaczej mówiąc 20 dB/dek. Oktawa to odległość między dwoma częstotliwościami różniącymi się dwukrotnie. Natomiast dekada odpowiada dziesięciokrotnej różnicy częstotliwości.

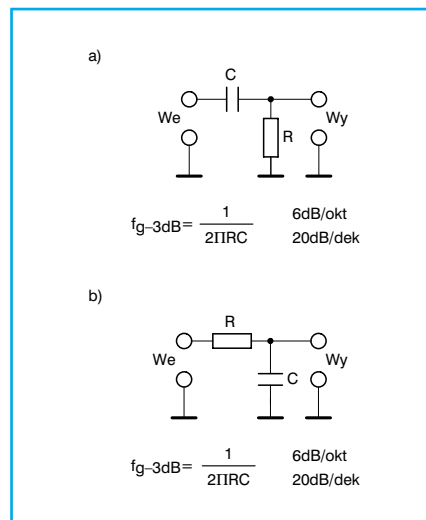
Charakterystyki częstotliwościowe dla filtrów z rysunku 1 zamieszczono na rysunku 2 (krzywe oznaczone jako 6 dB/okt). Tego typu proste filtry muszą być sterowane z źródła o jak najmniejszej impedancji wewnętrznej. Najlepszym jest tu wtórnik napięciowy lub wyjście wzmacniacza operacyjnego. Natomiast obciążone muszą być jak największą impedancją. Tylko w takim przypadku ich charakterystyki będą zgodne z podanymi na rysunku 2.

Łącząc ze sobą szeregowo dwa ogniwa filtru pierwszego rzędu otrzymuje się filtr o lepszej charakterystyce (rys. 3). Słowo lepsza oznacza w tym przypadku charakterystykę opadającą z większą stromością. Stromość opadania charakterystyki wynosi w tym przypadku 12 dB/okt lub innymi słowy 40 dB/dek. Jednakże tak zbudowany filtr nie zapewnia najlepszego przebiegu charakterystyki częstotliwościowej. Obszar zagięcia jest tu dość łagodny. Przyczyna tkwi w zmiennej impedancji wyjściowej pierwszego członu filtru, która wpływa na drugi człon, którego impedancja wejściowa także ulega zmianie. Niestety nie pomogą tu żadne sztuczki z dobieraniem elementów.

Bardzo często popełnianym błędem przy budowie prostych filtrów RC drugiego

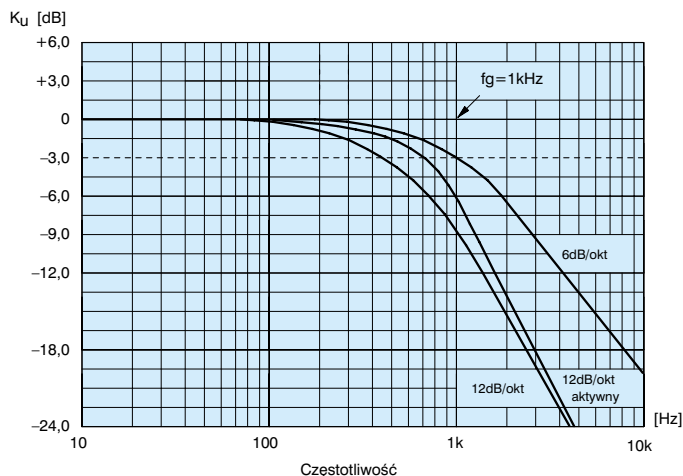
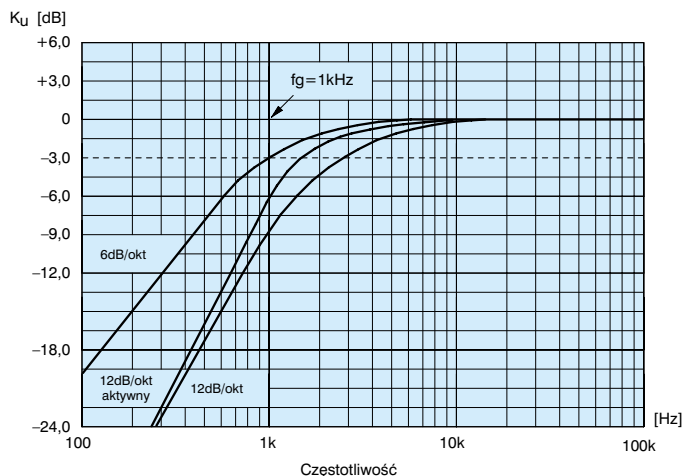
rzędu jest obliczenie częstotliwości jak dla filtru pierwszego rzędu i zbudowanie filtru z dwóch identycznych członów. Otrzymuje się wtedy charakterystykę taką jak na rysunku 2 (krzywa oznaczona jako 12 dB/okt.). Dla częstotliwości granicznej spadek amplitudy wynosi wtedy aż 9 dB. Stosując dwa identyczne człony w filtrze drugiego rzędu należy korzystać ze wzorów podanych na rysunku 3. Proszę zwrócić uwagę, że wzory te są różne dla filtru dolno- i górnoprzepustowego. Stosując się do podanych zaleceń otrzyma się charakterystykę wypadkową taką jak podana na rysunku 4 (krzywa oznaczona jako 12 dB/okt.). Także w tym przypadku konieczne jest zapewnienie niskiej impedancji źródła i wysokiej impedancji obciążenia.

Lepsze parametry filtrów można uzyskać w układach tzw. filtrów aktywnych.



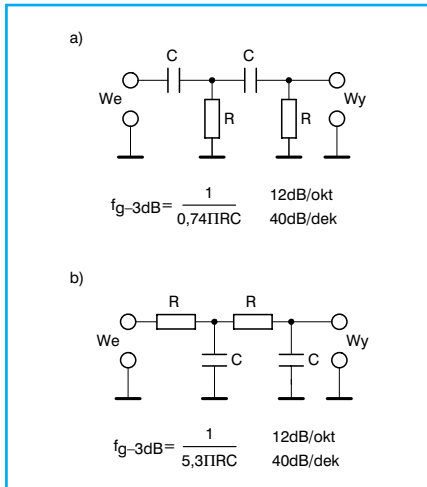
Rys. 1 Schematy ideowe filtrów RC pierwszego rzędu: a) górnoprzepustowego, b) dolnoprzepustowego

Najprostsze rozwiązania tego typu układów przedstawiono na rysunku 5. Od nazwisk wynalazców filtry tego typu nazywane są filtrami Sallana-Keya. Wzmocnienie w paśmie przepustowym wynosi 1 V/V, czyli nie różnią się one od filtrów biernych.



Rys. 2 Charakterystyki filtrów RC: a) górnoprzepustowych, b) dolnoprzepustowych



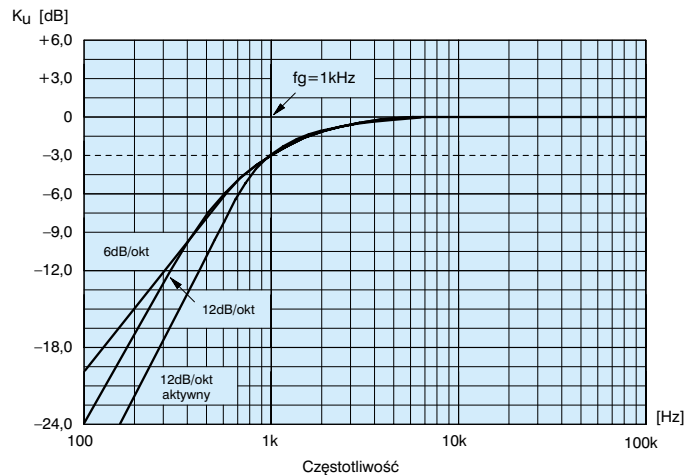


**Rys. 3 Schematy ideowe filtrów RC drugiego rzędu: a) górnoprzepustowego, b) dolnoprzepustowego**

Charakteryzują się natomiast bardziej wyraźnym kolanem, za którym spadek charakterystyki ma wartość 12 dB/okt., czyli jest taki sam jak dla filtrów drugiego rzędu. Poprawę charakterystyki uzyskuje się dzięki bootstrapowaniu sygnału w pierwszym członie filtru. Równocześnie wtórnik napięciowy, którym może być wzmacniacz operacyjny lub tranzystor, zapewnia małą impedancję wyjściową.

Podobnie jak poprzednio częstym błędem jest obliczanie częstotliwości granicznej w oparciu o wzór dla filtru RC pierwszego rzędu. Właściwe wzory przedstawiono na rysunku 5. W układach z tranzystorem należy pamiętać o dodatkowych ograniczeniach nałożonych na rezystory polaryzujące bazę, oraz na dodatkowe kondensatory sprzęgające. Charakterystykę filtrów przedstawiono na rysunku 4 (krzywa oznaczona jako 12 dB/okt. aktywny).

W literaturze można spotkać się z różnymi wzorami do obliczania filtrów drugiego rzędu. Z reguły są one poprawne, ale dotyczą filtrów o określonych charakterystykach, co można poznać po różnych wartościach kondensatorów i rezystorów w obu członach filtru. Wzory podane w artykule pozwalają obliczyć częstotliwość graniczną 3 dB przy zastosowaniu identycznych wartości elementów w obu członach filtru.

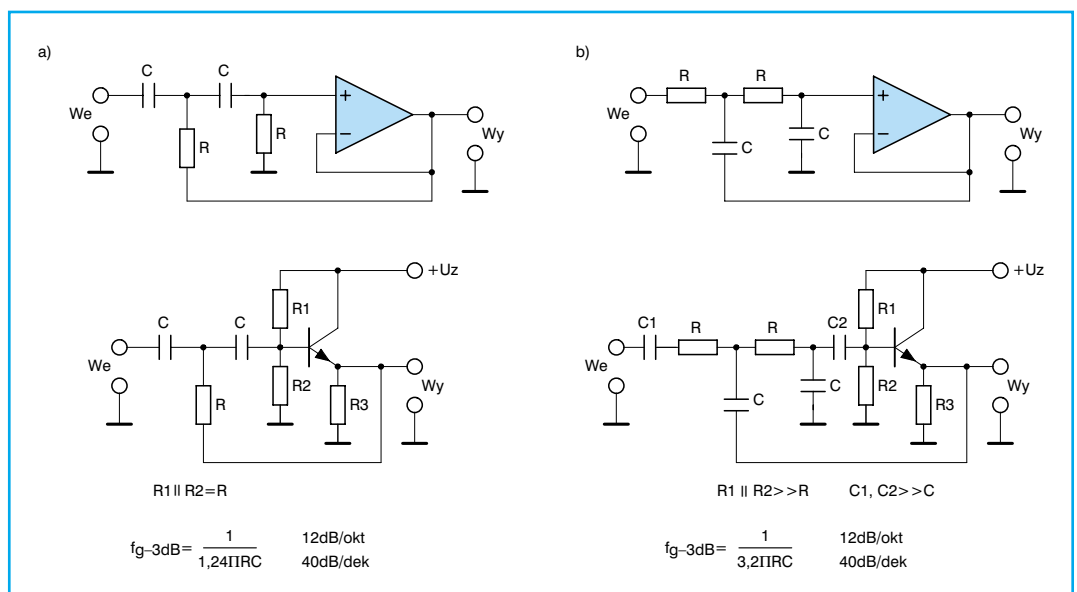


**Rys. 4 Charakterystyki filtrów RC ze spadkiem 3 dB dla częstotliwości granicznej: a) górnoprzepustowych, b) dolnoprzepustowych**

W tego typu układach nic więcej nie można już poprawić. Chcąc zbudować filtry o większym spadku charakterystyki częstotliwościowej trzeba posłużyć się

niewielkimi innymi układami, które zostaną przedstawione w kolejnym numerze PE.

♦ **Damian Michocki**



**Rys. 5 Schematy ideowe aktywnych filtrów RC drugiego rzędu: a) górnoprzepustowego, b) dolnoprzepustowego**

## Druga płyta CD-PE2 Praktycznego Elektronika

Druga płyta CD-PE2 Praktycznego Elektronika zawierająca kompletne archiwum zapisane w formacie Portable Document File (PDF) i bardzo poręcznie skatalogowane.

**Na tej płycie znajdziecie Państwo:**

1. Kompletne numery Praktycznego Elektronika, na blisko 3000 stron. W 89 numerach zawarliśmy, podczas ponad 7 lat, olbrzymią wiedzę w zakresie praktycznych zastosowań elektroniki. Opisy, aplikacje, urządzenia, nietypowe rozwiązania. Jeden styl projektowania i wykonania urządzeń. Płytki drukowane są projektowane w jednym stylu z zachowaniem standardów europejskich i światowych (dotyczy to zarówno rozstawu elementów jak i ich mocowania – lutowania).
2. Sygnały testowe audio do sprawdzania zestawów elektroakustycznych. Pozwalają na sprawdzenie właściwości i poprawności działania całego toru elektroakustycznego łącznie z urządzeniem odtwarzającym zapis. Mogą być oczywiście wykorzystane do sprawdzania i ewentualnej regulacji tylko wybranych fragmentów toru. Sygnały te można również odtwarzać w napędzie CD-ROM komputera.

3. Książka „Eksplotacja zestawów akustycznych”, zapisana w formacie PDF opisuje i barwnie ilustruje budowę i eksploatację zestawów głośnikowych.
4. Baza plików z wycofanymi płytkami drukowanymi. Pliki są zapisane w formacie PRN. Pliki można wydrukować na drukarce laserowej lub atramentowej. Zamieszczone są zarówno strony ścieżek drukowanych jak i opis rozmieszczenia elementów.
5. Źródła do programów opublikowanych w PE, które zostały wycofane ze sprzedaży. Są to programy które były stosowane do programowania układów GAL, PIC lub EPROM a w tej chwili są niedostępne z powodu wycofania ich z oferty wysyłkowej.

Cena płyty CD-PE2 jest równa 30 zł + koszty wysyłki.

W sprzedaży znajduje się także płyta CD-PE1 zawierająca oprócz archiwum Praktycznego Elektronika wiele programów i narzędzi użytecznych w pracowni elektronika.

Przy zamówieniu jednocześnie dwóch płyt jako komplet (CD-K) nabywca zapłaci tylko 50 zł + koszty wysyłki.

Płyty można zamawiać na kartach pocztowych, faksem, na formularzu na stronie [www.pe.com.pl](http://www.pe.com.pl), e-mailem [reklama@pe.com.pl](mailto:reklama@pe.com.pl) lub telefonicznie.

**Nie przegap!!! Taka okazja już się nie powtórzy!!!**  
**89 numerów PE w postaci elektronicznej na jednej płycie!!!**

Odcinek dla poczty	Odcinek dla posiadacza rachunku	Odcinek dla wpłacającego
zł..... gr.....	zł..... gr.....	zł..... gr.....
..... słownie złotych ..... groszy jak wyżej	..... słownie złotych ..... Groszy jak wyżej	..... słownie złotych ..... Groszy jak wyżej
..... imię i nazwisko (firma)	..... imię i nazwisko (firma)	..... imię i nazwisko (firma)
..... ulica / numer domu	..... ulica / numer domu	..... ulica / numer domu
..... kod pocztowy	..... kod pocztowy	..... kod pocztowy
..... miejscowość (pocztą)	..... miejscowość (pocztą)	..... miejscowość (pocztą)
na rachunek:	na rachunek:	na rachunek:
<b>ARTKELE</b> ul. Jaskółcza 2/5 65-001 Zielona Góra	<b>ARTKELE</b> ul. Jaskółcza 2/5 65-001 Zielona Góra	<b>ARTKELE</b> ul. Jaskółcza 2/5 65-001 Zielona Góra
<b>WBK S.A. II O/Zielona Góra</b> 10901636-102847-128-0100-01	<b>WBK S.A. II O/Zielona Góra</b> 10901636-102847-128-0100-01	<b>WBK S.A. II O/Zielona Góra</b> 10901636-102847-128-0100-01
Datownik	Datownik	Datownik
Pobrano opłatę	Pobrano opłatę	Pobrano opłatę
..... zł..... gr.....	..... zł..... gr.....	..... zł..... gr.....
..... podpis przyjmującego	..... podpis przyjmującego	..... podpis przyjmującego

**Zostawić margines dla faxu**

Imię:

Nazwisko:

ul./os.:  Ulica (miejscowość, wieś):  Numer domu / posesji:

Kod pocztowy:  -  Poczta (miejscowość):

**Zostawić margines dla faxu**

Wykaz dostępnych numerów archiwalnych:

<b>1992</b>	
3	4,00 zł
<b>1995</b>	
8, 12	4,00 zł
<b>1996</b>	
4, 7 ÷ 9, 12	4,00 zł
<b>1997</b>	
1 ÷ 11	4,00 zł
<b>1999</b>	
3, 5, 9	5,00 zł
<b>2000</b>	
2 ÷ 4, 6 ÷ 12	5,80 zł
<b>2001</b>	
2	5,80 zł

**Płytki**

Numer	Ilość
<input type="text"/>	<input type="text"/>
<input type="text"/>	<input type="text"/>
<input type="text"/>	<input type="text"/>
<input type="text"/>	<input type="text"/>
<input type="text"/>	<input type="text"/>
<input type="text"/>	<input type="text"/>
<input type="text"/>	<input type="text"/>
<input type="text"/>	<input type="text"/>
<input type="text"/>	<input type="text"/>
<input type="text"/>	<input type="text"/>
<input type="text"/>	<input type="text"/>
<input type="text"/>	<input type="text"/>
<input type="text"/>	<input type="text"/>
<input type="text"/>	<input type="text"/>
<input type="text"/>	<input type="text"/>
<input type="text"/>	<input type="text"/>
<input type="text"/>	<input type="text"/>
<input type="text"/>	<input type="text"/>
<input type="text"/>	<input type="text"/>
<input type="text"/>	<input type="text"/>
<input type="text"/>	<input type="text"/>

**Czasopisma**

Numer/rocznik	Ilość
<input type="text"/> / <input type="text"/>	<input type="text"/>
<input type="text"/> / <input type="text"/>	<input type="text"/>
<input type="text"/> / <input type="text"/>	<input type="text"/>
<input type="text"/> / <input type="text"/>	<input type="text"/>
<input type="text"/> / <input type="text"/>	<input type="text"/>
<input type="text"/> / <input type="text"/>	<input type="text"/>
<input type="text"/> / <input type="text"/>	<input type="text"/>
<input type="text"/> / <input type="text"/>	<input type="text"/>
<input type="text"/> / <input type="text"/>	<input type="text"/>
<input type="text"/> / <input type="text"/>	<input type="text"/>

**Kserokopie**

Numer płytki
<input type="text"/>
<input type="text"/>
<input type="text"/>
<input type="text"/>
<input type="text"/>
<input type="text"/>
<input type="text"/>
<input type="text"/>
<input type="text"/>
<input type="text"/>

W przypadku zamawiania kserokopii artykułów prosimy o podanie numeru płytki drukowanej zamieszczonej w tym artykule. Jeżeli w artykule występują dwie płytki należy podać tylko numer jednej z nich.

W rubryce UWAGI można wpisywać:

- nazwy programów, zamawianych układów,
- oznaczenia obudów, folii, elementów, itp.

Uwagi: .....

Wyrzucić i nakleić na kartę pocztową (wysyłka karty pocztowej kosztuje mniej niż wysyłka listu, a nam ułatwia pracę).

Ten kupon można wyciąć i wysłać faksem: fax (całą dobę) (068) 324-71-03.

**Zamawiam prenumeratę:**

**Elektronik** praktyczny

wybierzany okres prenumeraty lub zamówienie  
wybranych płyt zaznaczyć krzyżykiem

Płyta CD-PE1. 34,00 zł	Płyta CD-PE2. 34,00 zł	Płyty CD-K 55,00 zł	II, III, IV 2001r. 52,00 zł
---------------------------	---------------------------	------------------------	-----------------------------------

Cena 1 egzemplarza  
wraz z kosztami wysyłki – 5,80 zł

**CD-PE1** – archiwum 1992 ÷ 1997 + inne programy

**CD-PE2** – archiwum 1992 ÷ 1999 + książka i efekty audio

**CD-K** – CD-PE1 + CD-PE2

Upoważniam do wystawienia faktury VAT bez mojego podpisu.

NIP:..... Podpis:.....

Wyrażam zgodę na przetwarzanie moich danych osobowych dla potrzeb Wydawnictwa ARTKELE zgodnie z ustawą z dn. 29.08.97r o ochronie danych osobowych Dz.U. 97.133.883

kupon ważny do 31.04.2001r.

**Zamawiam prenumeratę:**

**Elektronik** praktyczny

wybierzany okres prenumeraty lub zamówienie  
wybranych płyt zaznaczyć krzyżykiem

Płyta CD-PE1. 34,00 zł	Płyta CD-PE2. 34,00 zł	Płyty CD-K 55,00 zł	II, III, IV 2001r. 52,00 zł
---------------------------	---------------------------	------------------------	-----------------------------------

Cena 1 egzemplarza  
wraz z kosztami wysyłki – 5,80 zł

**CD-PE1** – archiwum 1992 ÷ 1997 + inne programy

**CD-PE2** – archiwum 1992 ÷ 1999 + książka i efekty audio

**CD-K** – CD-PE1 + CD-PE2

Upoważniam do wystawienia faktury VAT bez mojego podpisu.

NIP:..... Podpis:.....

Wyrażam zgodę na przetwarzanie moich danych osobowych dla potrzeb Wydawnictwa ARTKELE zgodnie z ustawą z dn. 29.08.97r o ochronie danych osobowych Dz.U. 97.133.883

kupon ważny do 31.04.2001r.

**Zamawiam prenumeratę:**

**Elektronik** praktyczny

wybierzany okres prenumeraty lub zamówienie  
wybranych płyt zaznaczyć krzyżykiem

Płyta CD-PE1. 34,00 zł	Płyta CD-PE2. 34,00 zł	Płyty CD-K 55,00 zł	II, III, IV 2001r. 52,00 zł
---------------------------	---------------------------	------------------------	-----------------------------------

Cena 1 egzemplarza  
wraz z kosztami wysyłki – 5,80 zł

**CD-PE1** – archiwum 1992 ÷ 1997 + inne programy

**CD-PE2** – archiwum 1992 ÷ 1999 + książka i efekty audio

**CD-K** – CD-PE1 + CD-PE2

Upoważniam do wystawienia faktury VAT bez mojego podpisu.

NIP:..... Podpis:.....

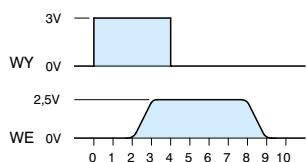
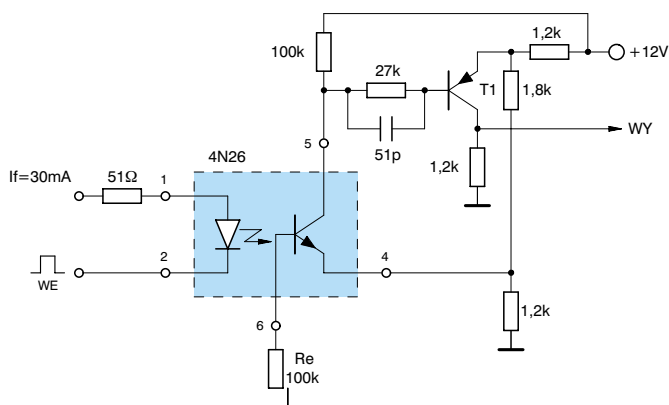
Wyrażam zgodę na przetwarzanie moich danych osobowych dla potrzeb Wydawnictwa ARTKELE zgodnie z ustawą z dn. 29.08.97r o ochronie danych osobowych Dz.U. 97.133.883

kupon ważny do 31.04.2001r.

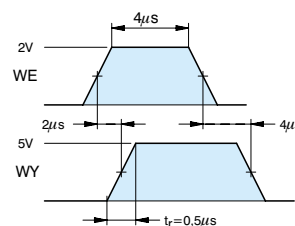
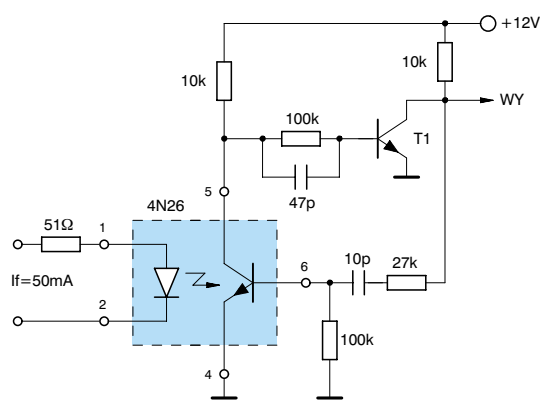


# Katalog Praktycznego Elektronika

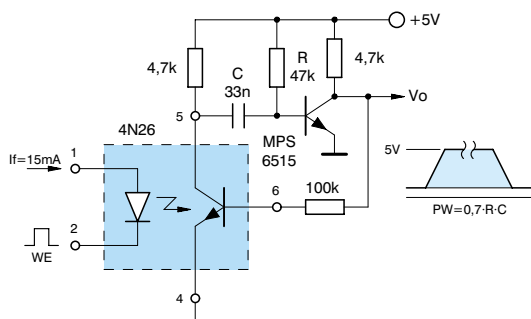
## Transoptory cz. 2



Optoizolowany przerzutnik Schmitta

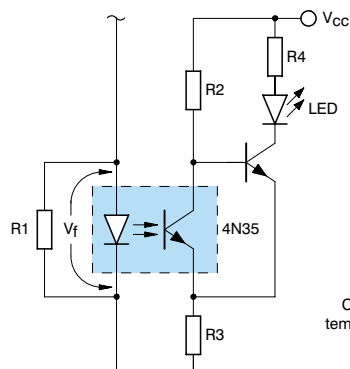
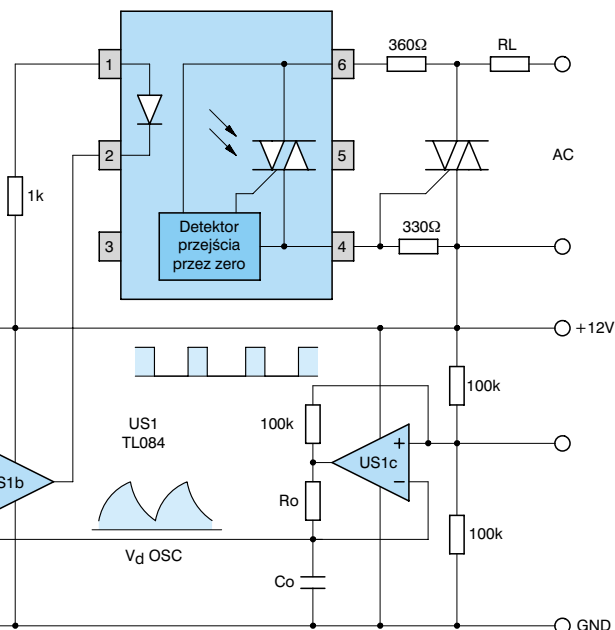


Wzmacniacz impulsu zwiększający szybkość przełączania i skracający czas narastania i opadania impulsu wyjściowego

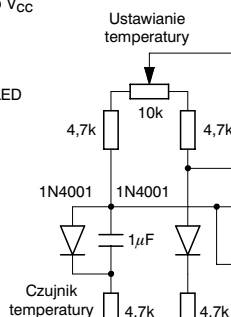


Przerzutnik monostabilny wydłużający czas trwania impulsu

MOC3010  
MOC3011  
MOC3012

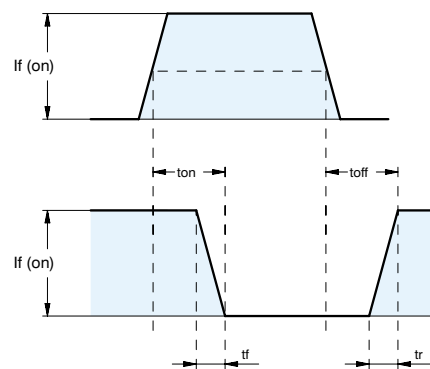
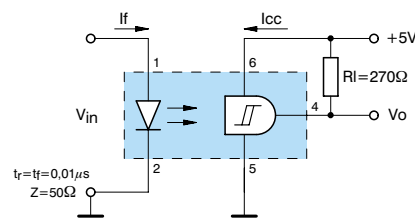
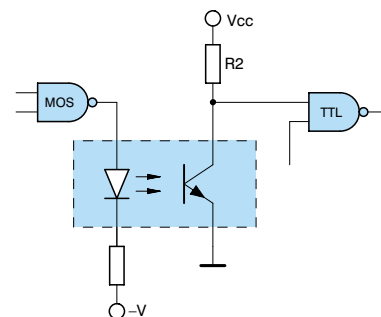
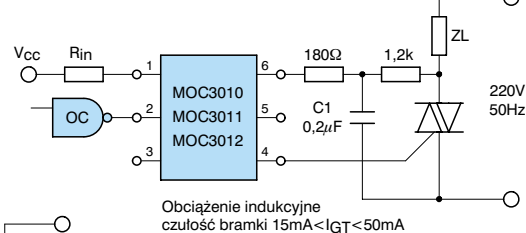
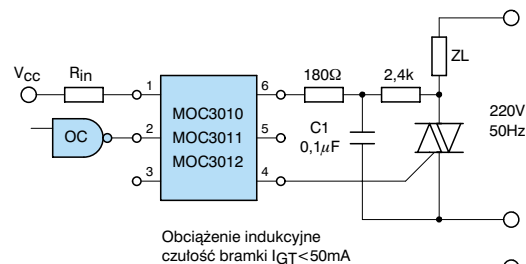
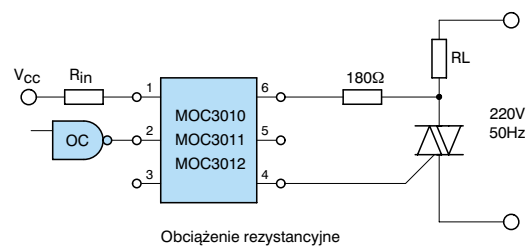
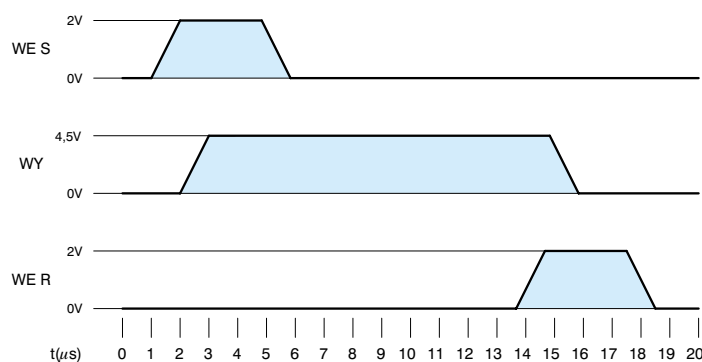
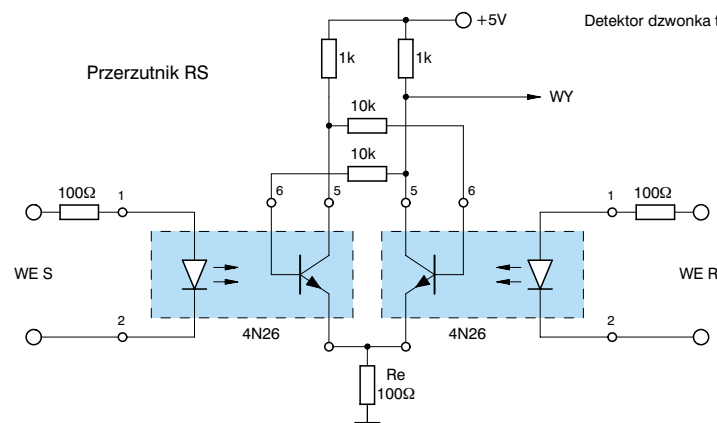
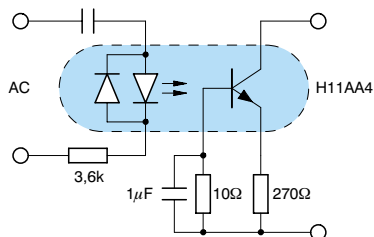
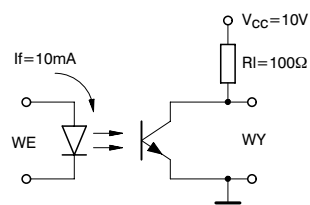
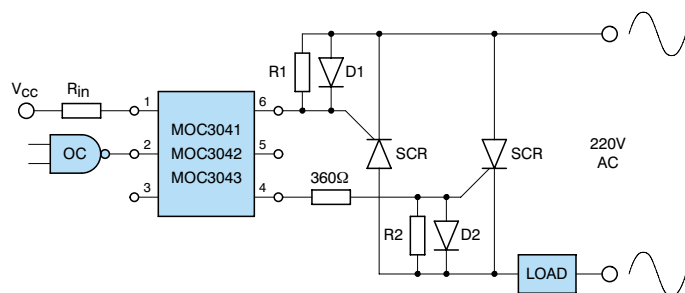
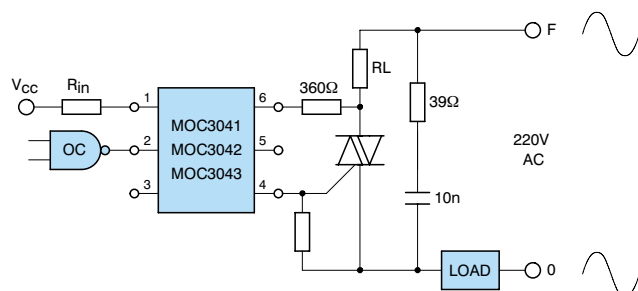


Układ kontroli przepływu prądu przez rezystor R1



Mostek  $\Delta V = 2\text{mV}/^\circ\text{C}$  Wzmacniacz  $K_u = 1000$   $V_O = 2\text{V}/^\circ\text{C}$  Komparator Generator Sterowany napięciowo napięciowo modulator szerokości impulsu

Proporcjonalny regulator temperatury ze sterowaniem grupowym



# GIEŁDA PE

## SPRZEDAM

**FALOWNIKI** tanio, płynna regulacja silników asy. Wysyłam ofertę. Jerzy Krupiński, ul. W. Łokietka 31/3, 58-100 Świdnica, tel. (074) 852-92-57 lub (0602) 642-896.

**SCHEMATY** różne, instrukcje serwisowe także „retro”. Porady listowne – darmo/znaczek! – odpiszę!. Poznański, al. Kijowska 13/10. 30-079 Kraków, tel. (012) 637-86-12.

**KOŃCÓWKI** mocy AUDIO-MOS 100÷300 W, uruchomione. Małe płytki (SMD), również zasilacz oraz filtr aktywny (SMD) dla subwoofera. Niedrogo! Arek, tel. (0601) 740-507.

**DUŻY** wybór schematów wzmacniaczy i efektów gitarowych renomowanych firm zachodnich. Info: kop.+znaczek. Bałaj Ireneusz, ul. Graniczna 2/92, 35-326 Rzeszów.

**RADIO** UKF 145 MHz Radmor z syntezą radia CB Alan 77-100 oraz ręczne CB Uniden 7 W z osprzętem. Modem internetu do komputera 9,6 kB. Tel. (017) 851-76-28. Ponadto Radmor 3141 ręcz.

**WOBUŁOSKOP** X1-42 sprawny z dokumentacją – osprzętem. Cena 1.000 zł. Widok przyrządu na stronie: [www.kki.net.pl/~nyaradix](http://www.kki.net.pl/~nyaradix), mailto: [nyaradix@kki.net.pl](mailto:nyaradix@kki.net.pl), phone: (023) 654-32-38.

**WYKRYWACZE** metali z rozróżnianiem lub bez, zasięg 3 m, gwarancja. Dokumentacje wykrywaczy – sprzedam, wymienię. CB Lincoln sprzedam. (018) 353-11-49 lub (0605) 926-516.

**WYKRYWACZ** metali 3-lata gwarancji. Najniższa cena inf: (032) 476-10-09.

**CZASOPISMA:** EdW 96÷2000, 5 roczników, 60 numerów – komplet; SE 7/99; Radioelektroniki 90÷94; EP; EE i inne tanio. Mariusz Jamróz, Buda Stalowska 5/4, 39-460 Nowa Dęba.

**WZMACNIACZ** WS 442, tuner AS 642, korektor FS 042 w dobrym stanie – czarne. Tu-

ner przestrojony, korektor z zegarem. Cena 150 zł. Krzysztof Cybulski, Kraków, (012) 649-69-19.

**MIKROFON** bezprzewodowy z odbiornikiem o zasięgu do 0,5 km za 150 zł. Odbiornik do nasłuchiwania służb profesjonalnych za 150 zł. Nowe na gwarancji. Tel. (0604) 669-971.

**DRUKARKĘ** EPSON Stylus 300, roczną (karton i CD-ROM) tanio oraz HDD 2GB z zainstalowanym Linuksem tanio!!!. Tel. (032) 235-80-15, prosić Tomka (po 16-tej).

**WYKRYWACZE** metali VLF, PJ, zas. 3 m, wysokiej klasy. Skaner nasłuchowy od 29 do 512 MHz z pamięcią i programowaniem. Info, tel. (0608) 167-023.

**2 OPISY** + schem. + rys. pł. druk dobrych i prostych przystawek do karty graficznej PC, zmieniających TV w monitor – 40 zł z szybką wysyłką: Dariusz Knull, Rymera 4A/5, 41-800 Zabrze.

**KSIĄŻKĘ** M68000PM/AD za 20 PLN + koszty. zeeball@interia.pl.

**SCHEMATY** i instrukcje przestrajania UKF. Info koperta + znaczek. Mariusz Kołacz, ul. Chwałki 46, 27-600 Sandomierz.

**WYPRZEDAM** dekodery PAL-SECAM do Jowisza zamiennie za MD2007/MD 2008 i Heliosa zam. za MD 2021 na TDA 4555. Ceny od 22 zł. Więcej = taniej!!! Oferty, info: koperta+znaczek. Grzegorz Zubrzycki, ul. Zgierska 110/120 m. 211, 91-303 Łódź. (042) 654-40-98.

**WYPRZEDAŻ** roczników lub luksusowych numarów MT, Re, ZS, HT, EH, AV, PE, EP z lat 70, 80, 90. Info kop. + znaczek. R. Kujawa Os. Wiśłana 11/9, 08-520 Dęblin, tel. (081) 883-26-63, (604) 410-872.

**GRY** na Amigę CD32 oryginalne! Cena 20 zł za płytę + koszty wysyłki – 7 zł. Informacje i zamówienie pod numerem tel. (084) 639-77-71 (p. Rafała).

**PROGRAMY** na Atari XL/XE cena ok 8 zł/szt., magnetofon do Atari i inne. Lampy EL500 25 zł/szt. Cewki WN. Artur Moszczyński 34-100 Wadowice, skr. 69. Tel. (0502) 334-092

**KIT** kamery kolor CCD z miniaturowym obiektywem. Opis w EdW 6/97 lub zamówienie na telefon komórkowy dwusystemowy. Tel. (0501) 050-232.

**OBUDOWĘ** do komputera typ AT, zasilacz moc 230 W, nie była używana. Jest to duża wieża 4x5,25 i 4x3,5. Cena 100 zł. Tel (022) 658-11-59, Warszawa, prosić Jacka.

**ODTWARZACZ** kompaktowy CD do samochodu 100 zł oraz odtwarzacz stacjonarny

DEKODERY FONII CYFROWEJ

## NICAM

DO TELEWIZORÓW I MAGNETOWIDÓW

Oferuje Firma **AGAS**  
Warszawa ul. Cybisa 3  
tel./fax 0-22 641-62-24

e-mail: [agas@alpha.pl](mailto:agas@alpha.pl)  
<http://www.agas.alpha.pl>

**CENA DEKODERA: 100ZŁ**

CD do domu – 100 zł. Jacek Dudek tel. (503) 521-457.

**ZASILACZ** komputerowy 200 W ES-200T, diody LED  $\phi$  5 mm, podwyższona jasność L – 531D – 600 szt. Tranzystory mocy UKF KT922B, KT925B – 23 szt. tel. (068) 326-29-53.

**UCY** 7400, UCY 7404, UCY 7407, UCY 7460, UCY 7453, UCY 7410, UCY 7450, UCY 7474, UCY 7420. 10  $\mu$ F 25 V, 47  $\mu$ F 25 V, 6 kontaktów na 1 panelu, 10  $\mu$ F. Jan Bogacz ul. Mickiewicza 90/18, 59-300 Lubin.

**ROCZNIKI** PE (92÷94) po 12 zł, NE 91÷91, EH 92÷93 po 12 zł. Luźne numery EdW, EP i inne po 3 zł. Floryn, ul. Odrodzenia 13/4, 59-141 Chocianów, tel. (076) 818-42-24.

**MONITOR** czarno – biały. Model CH-0423V B/W. Rok prod. 1994. Tel. (063) 271-44-20.

**OSCYLOSKOP** Tektronix 2455 4x 250 MHz, kondensatory ceramiczne do 21 kV, UL 1540, UL 1970, ULY 7855, ULY 7741 inne części elektroniczne. Tel. (061) 878-81-52.

**SCHEMATY** RTV „retro”, literatura, instrukcje serwisowe, drobne części. Porady darmo (znaczek). K. Poznański, al. Kijowska 13/10, 30-079 Kraków. Tel. (012) 637-86-12. Kolego – pisz – dzwoni!!!.

**ROCZNIKI** lub egzemplarze MT, RE, PE, EE, EP, SR, RA z lat 93÷99. A. Wylężół, ul. Mariańska 43/6, 41-501 Chorzów.

**DRUKARKĘ** LC-10 (9-igłowa) – sprawną, z lekko uszkodzoną obudową, cena 45 zł. Tel. (022) 669-56-11. Prosić Adama.

**ROCZNIK** 1985 Radioelektronik, komputer Commodore, płytę 386 z procesorem, wy-

**Multimetr Samochodowy**  
Pomiar temp. silnika, zewnętrznej; Obrotomierz cyfrowy; Wskaźnik U akumulatora, wym. 60x90x35 ceny: A - 15 zł, B - 36 zł, C - 57 zł

**Multimetr 7107 z generatorem**  
U ~ 0...750V; I ~ 0...2A; R 0...20M $\Omega$   
C 2pF...2 $\mu$ F; f 50Hz...10MHz; G 3Hz...0,5MHz  
pomiar diod i  $\beta$  tranz.; Uzas 6...8V/0,1A  
przenośny do 5godz; wym. 140x155x60; ceny: A-19zł, B-56 zł, C-138zł

**Automat Akwariowy** automat, włącznik oświetl. oraz filtra dwa termostaty; wym. 130x145x50; ceny: A - 14 zł, B - 34 zł

**DF. Elektronik** Duża Góra 37/53 30-857 Kraków  
tel. 658-90-24; 654-01-96  
A – pl.+inst.; B – pl.+cz.+ob.; C – zmont. pl.

## CZĘŚCI ELEKTRONICZNE

**LARO s.c.**  
ul. Jedności 19/1  
65-018 Zielona Góra  
tel. / fax (068) 32-44-984  
[www.laro.com.pl](http://www.laro.com.pl)

**SPRZEDAŻ NA MIEJSCU LUB WYSYŁKOWA**  
Zainteresowanym wysyłamy bezpłatną ofertę





# Elektroniczny terminarz

W dobie dynamicznego rozwoju elektronicznych PDA (*Personal Data Assistant* – z ang. „osobisty asystent danych”) każdy marzy o posiadaniu małego podręcznego urządzenia, które pełniłoby funkcję osobistej sekretarki przypominając o ważnych spotkaniach czy wydarzeniach. Producenci tego typu sprzętów prześcigają się w miniaturyzowaniu i dodawaniu coraz to nowych funkcji w swoich gadżetach. Jedno jak na razie jest pewne – urządzenia takie osiągają zawrotne ceny i wydawać by się mogło że są one niewspółmierne do oferowanych możliwości.

W niniejszym artykule pragniemy zaprezentować urządzenie o możliwościach może nie tak oszałamiających jak wspomniane wcześniej PDA, ale mogące oddać nieocenione usługi na tym polu. Przypominanie o ważnych terminach nie jest jedynym zadaniem jakie może spełniać opisywane urządzenie. Rozbudowana funkcja alarmu wraz z wyjściem logicznym pozwala zastosować je do włączania i wyłączania rozmaitych urządzeń jak np. pieca, grzejnika itp. 100 programów daje duże możliwości kontroli. Zastosowanie do jego budowy nowoczesnego mikrokontrolera pozwoliło na zmniejszenie wymiarów, obniżenie kosztów a także zasilanie baterijne. Rozbudowane tryby ograniczania poboru prądu pozwalają wykorzystać terminarz jako urządzenie przenośne. Warto w tym miejscu dodać że urządzenie jest dość specyficzną konstrukcją gdyż zostało zaprojektowane do współpracy z komputerem. W trybie pracy samodzielnej oferuje jedynie możliwość wglądu w poszczególne terminy oraz zmiany najważniejszych ustawień konfiguracyjnych.

## Działanie

### Właściwości:

- pamiętanie do 100 różnych terminów. Dla każdego terminu niezależnie definiowane: dzień aktywacji, rodzaj sygnału dźwiękowego, stan wyjścia, 64 znaki tekstu, cykl programu: tygodniowy (dowolna konfiguracja dni tygodnia) lub roczny (dowolny dzień w roku);
- współpraca z komputerem za pośrednictwem portu szeregowego RS-232;
- możliwość aktywacji i deaktywacji wybranych z programów;
- możliwość pracy w czterech trybach oszczędzania energii: on-line, normalny, oszczędny, superszczędny;

- możliwość definiowania profilu sygnału dźwiękowego - praca w trybie głośnym, dyskretnym i z wyłączonym sygnałem dźwiękowym;
- automatyczne wyznaczanie dnia tygodnia;
- sygnalizacja rozładowania baterii
- automatyczne podświetlanie wyświetlacza LCD;
- możliwość sterowania zewnętrznym urządzeniem.

### UWAGA!

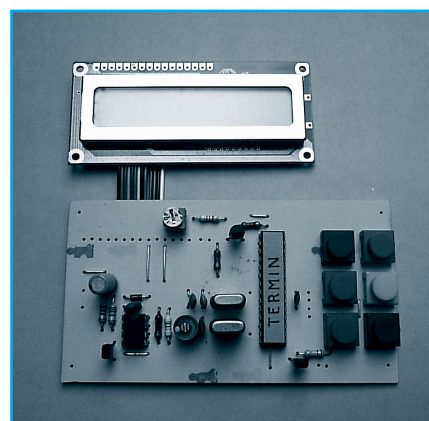
Ze względu na ograniczoną liczbę klawiszy i prostotę obsługi programowanie terminarza jest możliwe tylko za pośrednictwem komputera. Urządzenie jest przeznaczone do współpracy z komputerem wyposażonym w port szeregowy RS-232.

Jak już wcześniej wspomniano elektroniczny terminarz może spełniać rozmaite funkcje. Zastosowanie zależy głównie od wyobraźni użytkownika. Poniżej podsumujemy kilka pomysłów na jego wykorzystanie:

- podręczny kalendarz pamiętający daty wszystkich ważnych dni w roku jak np. imieniny i urodziny znajomych, święta, dni wolne itp.;
- terminarz pamiętający daty wszystkich ważnych spotkań;
- „przypominacz” o ważnych powtarzających się zajęciach w cyklu tygodniowym jak np. zajęcia sportowe, fakultatywne, kursy, itp.;
- pomoc dla osób przyjmujących leki – przypomnienie o konieczności przyjęcia medykamentu.

### Budowa

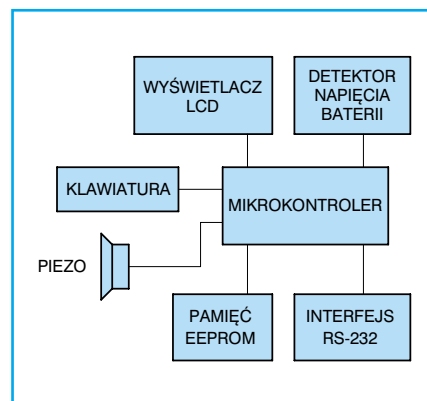
Schemat blokowy elektronicznego terminarza przedstawiono na rysunku 1. W jego skład wchodzi:



- mikrokontroler;
- pamięć nieulotna EEPROM służąca do pamiętania danych również po wyłączeniu napięcia zasilającego;
- detektor napięcia baterii do sygnalizacji niskiego napięcia baterii;
- przetwornik PIEZO odpowiedzialny za generowanie sygnału akustycznego;
- wyświetlacz LCD do komunikacji z użytkownikiem;
- klawiatura do obsługi programu;
- port komunikacyjny RS-232 do wymiany danych z komputerem;

Podstawą konstrukcji terminarza jest mikrokontroler PIC 16C63A produkowany przez firmę Microchip. O wyborze tego układu zadecydowały:

- niski pobór prądu w stanie aktywnym (około 2 mA);
- wyjątkowo niski pobór prądu w trybie ograniczonego poboru mocy  $< 10 \mu A$ ;
- możliwość wykorzystania drugiego rezonatora kwarcowego małej mocy do taktowania procesora w trybie obniżonego poboru mocy;
- duża wydajność prądowa wyjść mikrokontrolera zarówno w stanie niskim jak i wysokim ( $\pm 25 \text{ mA}$ );
- układ nadzorujący pracę mikrokontrolera typu watchdog;



Rys. 1 Schemat blokowy elektronicznego terminarza

- wewnętrzny układ automatycznego zezwalania mikrokontrolera po włączeniu zasilania;
- programowalny generator PWM do sterowania przetwornikiem PIEZO;
- wydajna architektura RISC;
- 192 bajty pamięci RAM i 4096 słów pamięci ROM;
- wąska 28-nóżkowa obudowa zmniejszająca wymiary całego urządzenia.

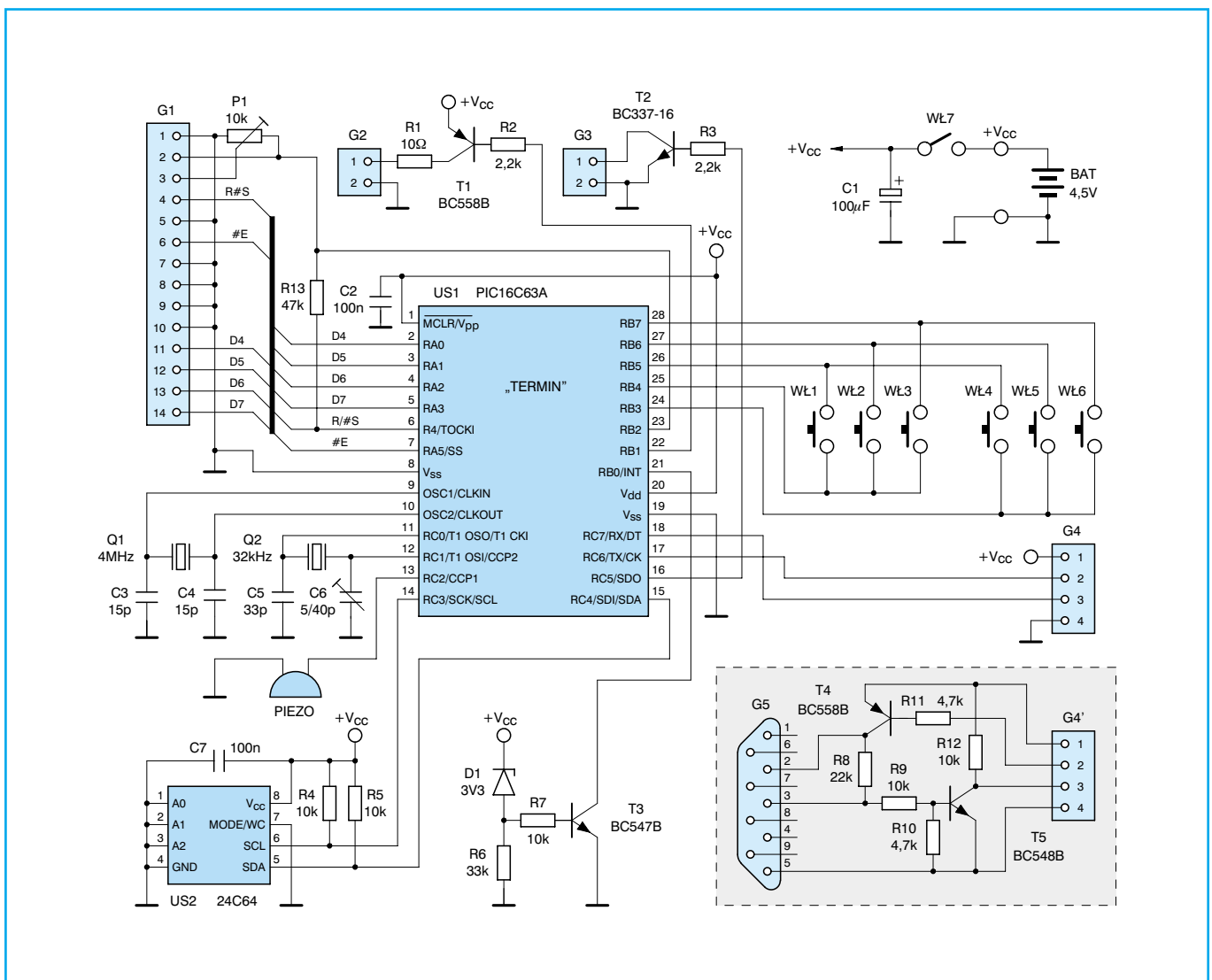
Wymienione powyżej cechy układu wydają się upraszczać konstrukcję notesu elektronicznego.

Na rysunku 2 uwidoczniło się schemat ideowy notesu elektronicznego. Mikrokontroler US1 do poprawnej pracy wymaga jedynie zewnętrznego generatora taktu. Wybrano rezonator kwarcowy o częstotliwości 4 MHz. Stanowi on jednocześnie podstawę czasu dla zegara szeregowego komunikacji UART. Układ US2 to pamięć EEPROM odpowiedzialna za przechowywanie danych nawet po wyłączeniu

napiecia zasilajacego. Jest ona dołączona do dwóch linii portu mikrokontrolera za pośrednictwem interfejsu I<sup>2</sup>C. Do detekcji napiecia baterii wykorzystano elementy D1, T3, R6, R7. Dioda D1 przewodzi poprzez złącze baza-emiter tranzystora T3 do chwili gdy napiecie zasilajace spadnie ponizej 4 V. Wówczas napiecie baza-emiter spada ponizej progu 0,7 V i tranzystor zatyka się. W efekcie wejście INT mikrokontrolera przyjmie stan wysoki wyzwalajac przerwanie. Do komunikacji z uzytkownikiem wykorzystano zintegrowany wywietlacz alfanumeryczny LCD. Zostal on dołączony do portu A mikrokontrolera i pracuje w konfiguracji 4-bitowej. Klawiatura jest multiplexowana w układzie 2 wierszy na 3 kolumny. Do sygnalizacji dzwiekowej zostal wykorzystany przetwornik piezoelektryczny dołączony do wyjscia układu PWM (Pulse Width Modulation – z ang. modulacja szerokości impulsu) będnacego częścią skła-

dową mikrokontrolera. W sprzedaży dostępne są różne rozmiary tych przetworników co pozwala na jego dobór pod kątem wymaganego poziomu natężenia dźwięku. Podłączenie przetwornika (który stanowi obciążenie pojemnościowe) bezpośrednio do jednego z wyjść mikrokontrolera było możliwe dzięki bardzo dużej, jak na mikrokontroler, wydajności prądowej jego wyjść zarówno w stanie niskim, jak i wysokim.

Do poprawnej współpracy terminarza z komputerem wyposażonym w interfejs RS-232 konieczne było zaprojektowanie odpowiedniego układu dopasowującego. Został on skonstruowany w oparciu o elementy: T4, T5 i R8 ÷ R12. Układ nie zapewnia izolacji galwanicznej jednakże jego zaletą jest brak konieczności podawania zewnętrznych napięć  $\pm 12$  V (wymaganych w standardzie RS-232). Napięcia te są pobierane z linii portu RS-232. Takie rozwiązanie zostało



Rys. 2 Schemat ideowy elektronicznego terminarza

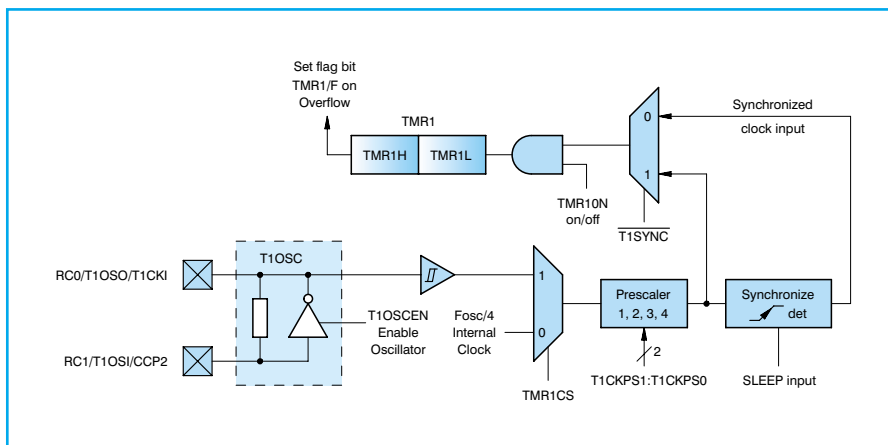


kupione jednym ograniczeniem – komunikacja może odbywać się tylko w trybie half-duplex tzn. w danej chwili aktywna może być tylko jedna strona. Nie ma to jednakże większego znaczenia w naszym przypadku.

Bogate wyposażenie układu PIC16C63A pozwala na realizację wielu funkcji wewnątrz układu i uwalnia program od konieczności wykonywania wielu skomplikowanych operacji. Do odmierzania czasu został wykorzystany wewnętrzny tajmer 1 z zewnętrznym oscylatorem 32,768 kHz, którego architekturę wewnętrzną uwidocznił na rysunku 3. Tajmer 1 jest skonfigurowany w taki sposób, że wejściowa częstotliwość 32,768 kHz jest dzielona przez 32768. W efekcie tego podziału, licznik przepelnia się co 1 sekundę i generuje przerwanie. Program wykorzystuje to przerwanie do odmierzania czasu i okresowego wybudzania mikrokontrolera z trybu ograniczonego poboru prądu. Dzięki wykorzystaniu tajmera 1 jako wzorca czasu, mikrokontroler w celu ograniczenia poboru mocy samoczynnie przechodzi w tryb uśpienia wtedy gdy tylko jest to możliwe. W trybie tym wykonywanie programu zostaje zatrzymane – pracuje tylko tajmer 1 i układ przewrań. Na wyświetlaczu LCD może być wyświetlana dowolna informacja gdyż posiada on niezależny kontroler.

## Montaż i uruchomienie

Przed rozpoczęciem montażu warto w sklepie elektronicznym poszukać odpowiedniej obudowy w której umieścimy nasze urządzenie. Będzie ona musiała pomieścić również trzy baterie zasilające ty-



Rys. 3 Schemat wewnętrzny tajmera 1 układu PIC16C63A

pu AAA (R3). Montaż rozpoczynamy od mostków oraz elementów biernych. Na samym końcu montujemy mikrokontroler (obowiązkowo w podstawce) oraz wyświetlacz. Aby zaoszczędzić odrobinę miejsca wyświetlacz oraz klawisze można zamontować po stronie druku. Urządzenie co prawda pomyślane zostało jako przenośne lecz po dodaniu zewnętrznego zasilacza i stabilizatora może pracować jako stacjonarne.

Po zamontowaniu wszystkich elementów notesu i sprawdzeniu poprawności montażu możemy przystąpić do jego uruchomienia. Podłączamy baterię zasilającą i obserwujemy wyświetlacz. Na jego ekranie powinien pojawić się następująca treść:

Pon, 01.01.01  
Wł 12:00:00

Przy jej braku regulacji może wymagać napięcie odpowiedzialne za kontrast wyświetlacza. Przeprowadzamy ją potencjometrem P1 cały czas obserwując

wyświetlacz. Przy optymalnym ustawieniu tło nie powinno być widoczne, a wszystkie znaki powinny mieć wystarczający kontrast. Po wykonaniu opisanych powyżej czynności urządzenie jest gotowe do pracy.

## Obsługa

Do obsługi programu użytkownik ma do dyspozycji wyświetlacz alfanumeryczny o pojemności 2x16 znaków oraz sześć klawiszy: ⇒, ⇐, ↑, ↓, ESC i ENTER. Spełniane przez nie funkcje zostały zebrane w Tabeli 1.

Program obsługi notesu jest stosunkowo prosty. Zorganizowany został w układzie prostego menu. Domyślnym trybem jest tryb wyświetlania czasu przedstawiony poniżej, w którym wyświetlane są następujące informacje:

- aktualna godzina;
- aktualny dzień tygodnia;
- aktualna data;
- stan baterii;
- status sygnału dźwiękowego;
- status wyjścia sterującego.

Pon, 12.03.01  
Wł 11:31:21

W trybie przeglądania terminów użytkownik ma możliwość wglądu we wszystkie zaprogramowane terminy. Ich przeglądanie jest możliwe za pośrednictwem klawiszy ↑, ↓. Klawiszami ⇒, ⇐ możemy dezaktywować lub uaktywnić aktualnie wyświetlany program. Terminy dzielą się na dwa typy: tygodniowy i roczny.

Przykładowy wygląd ekranu przy programie rocznym przedstawiono poniżej:

Tabela 1 – Funkcje realizowane przez poszczególne klawisze

Tryb Klawisz	Wyświetlania czasu	Przeglądania terminów	Przeglądania ustawień
⇐	–	Aktywacja terminu	Sekwencyjna zmiana ustawiania
⇒	–	Dezaktywacja terminu	Sekwencyjna zmiana ustawiania
↑	–	Przejdźcie do następnego terminu	Przejdźcie do następnej nastawy
↓	–	Przejdźcie do poprzedniego terminu	Przejdźcie do poprzedniej nastawy
ESC	Przejdźcie do trybu przeglądania ustawień	Powrót do trybu wyświetlania czasu	Powrót do trybu przeglądania terminów
ENTER	Przejdźcie do trybu przeglądania terminów	Przejdźcie do trybu przeglądania ustawień	Przejdźcie do trybu wyświetlania czasu

R 12.03.01 11:30  
Urodziny Małgor<

program uaktywni się 12-go marca 2001 roku o godzinie 11:30 wyświetlając tekst „Urodziny Małgorzaty”. Literka R w lewym górnym rogu oznacza że jest to program w cyklu tygodniowym. Dalej następuje data aktywacji (kolejno dzień, miesiąc i rok) oraz godzina. Na dolnym wierszu pojawia się informacja tekstowa skojarzona z danym terminem. Może ona mieć długość do 64 znaków, które są automatycznie przewijane na 16-to znakovym wyświetlaczu. Tekst dłuższy od 16 znaków jest wyróżniany symbolem „<” z prawej strony wyświetlacza lub „>” z lewej w trakcie przewijania tekstu. Przykładowy wygląd ekranu po przewinięciu całej wiadomości przedstawiono poniżej:

R 12.03.01 11:30  
<y Małgorzaty S.

Przykładowy wygląd ekranu przy programie tygodniowym (aktywacja w wybrane dni tygodnia) przedstawiono poniżej:

T 0100100 16:15  
Basen 17:30

program uaktywni się we wszystkie wtorki i piątki o godzinie 16:15 wyświetlając tekst „Basen 17:30”.

Natomiast program:

T 1111111 18:00  
Lekarstwa

uaktywni się w każdy dzień tygodnia o godzinie 18:00 wyświetlając tekst „Lekarstwa”.

Literka T w lewym górnym rogu oznacza że jest to program w cyklu tygodniowym. Dalej następuje informacja w jakie dni tygodnia dany program ma się uaktywnić. Siedem kolejnych cyfr (zer lub jedynek) symbolizuje kolejne dni tygodnia – licząc od poniedziałku do niedzieli. Jedyneka na danej pozycji oznacza,

że program ma się uaktywnić w dany dzień. Jedyneki na wszystkich pozycjach oznaczają, że program będzie się uaktywniał codziennie. Pamiętajmy – pierwsza cyfra to poniedziałek, druga to wtorek, trzecia środa itd. Z prawej strony górnego wiersza wyświetlana jest godzina aktywacji. W trybie przeglądania ustawień mamy możliwość wglądu oraz zmiany ustawienia profilu sygnału dźwiękowego oraz trybu oszczędzania energii.

Do programowania poszczególnych terminów wykorzystujemy dowolny komputer z portem RS-232. Komunikacja z komputerem odbywa się przy następujących parametrach transmisji: szybkość 4800 baudów, brak bitu parzystości, 8 bitów danych, jeden bit stopu (4800,-,8,1). Program terminarza został wyposażony w prosty interpreter poleceń pozwalający na przejrzystą komunikację z użytkownikiem. Do jego obsługi najlepiej wykorzystać gotowy program komunikacyjny. W przypadku komputerów PC może to być na przykład program ProComm, emulator terminala programu Norton Commander, Disk Navigator lub Terminal systemu operacyjnego Windows. Przed przystąpieniem do wymiany danych z komputerem należy skonfigurować odpowiednie parametry transmisji oraz numer portu do którego dołączona jest sonda.

Interpreter poleceń rozróżnia następujące komendy:

- st – ustawienie czasu
- sd – ustawienie daty
- pr – programowanie terminu w cyklu rocznym
- pt – programowanie terminu w cyklu tygodniowym
- rd – odczytanie wszystkich ustawień z pamięci EEPROM
- dp – skasowanie wybranego terminu z pamięci mikrokontrolera
- da – skasowanie wszystkich terminów z pamięci mikrokontrolera

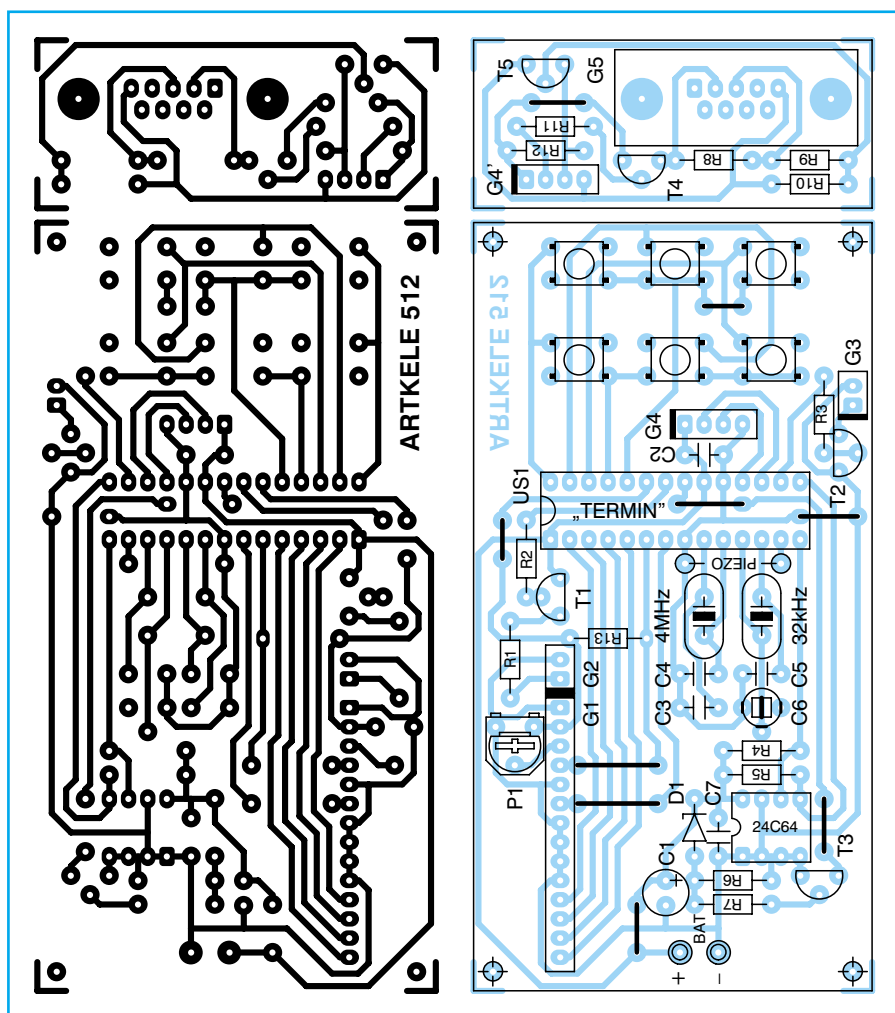
Składnia poszczególnych komend jest następująca:

st 12:32:52

Po literach „st” następuje jedna spacja i bieżąca godzina (kolejno godzina, minuty, sekundy)

sd 23.11.01

Po literach „sd” następuje jedna spacja i bieżąca data (kolejno dzień, miesiąc, dwie ostatnie cyfry roku)



Rys. 4 Płytki drukowane i rozmieszczenie elementów

pr 11: 42: 59, 23. 11. 01 „Urodzi -  
ny ci otki Konstantyny„  
Po literach „pr” następuje jedna spacja, go-  
dzina terminu rocznego (kolejno godzina,  
minuty, sekundy), przecinek, data (kolejno  
dzień, miesiąc, dwie ostatnie cyfry roku),  
cudzysłów, tekst (do 64 znaków), cudzysłów  
pt 10: 52: 33, 0001110 „Korepe-  
tycje z matematyki „  
Po literach „pt” następuje jedna spacja,  
godzina terminu tygodniowego (kolejno  
godzina, minuty, sekundy), przecinek,  
dni aktywacji w tygodniu (analogicznie  
jak opisano powyżej: 0 – nieaktywny,  
1 – aktywny; pierwszy dzień – ponie-  
działek), cudzysłów, tekst (do 64 zna-  
ków), cudzysłów

dp 21  
Po literach „dp” następuje jedna spacja  
i indeks terminu który chcemy skasować  
(indeksowane od 0 do 99)  
da 77

Po literach „da” następuje jedna spacja  
i liczba 77 stanowiąca dodatkowe zabez-  
pieczenie przed przypadkowym wpisa-  
niem tego polecenia.

Składnia komend jest ścisła i jakikol-  
wiek błąd zostanie zasygnalizowany przez  
mikrokontroler komunikatem „Err” i bę-  
dzie jednoznaczny z odrzuceniem wpisa-  
nej informacji.

Przepełnienie pamięci jest sygnalizowa-  
ne komunikatem „Ov”. Wszystkie po-  
prawne odebrane komendy kończą się od-  
powiednią reakcją ze strony notesu. Inter-  
preter rozróżnia duże i małe litery. Wszyst-  
kie komendy pisane są małymi literami.

Program dysponuje również możli-  
wością definiowania trybów ograniczone-  
go poboru mocy:

**Tryb on-line** – wyświetlacz LCD oraz  
podświetlanie wyświetlacza są włączone  
cały czas.

**Tryb normalny** – podświetlanie wyświe-  
tlacza włącza się na 10 sekund po każdorazowym wciśnięciu dowolnego klawisza,  
wyświetlacz LCD jest włączony cały czas.

**Tryb oszczędny** – podświetlanie LED wy-  
świetlacza włącza się na 5 sekund po każdorazowym wciśnięciu dowolnego klawi-  
sza, wyświetlacz LCD wyłącza się samo-  
czynnie po 10 minutach.

**Tryb superoszczędny** – informacja na  
wyświetlaczu LCD pojawia się na 10 se-  
kund po każdorazowym wciśnięciu do-  
wolnego klawisza, podświetlanie LED jest  
wyłączone.

Wykaz elementów	
<b>Półprzewodniki</b>	
<b>US1</b>	– PIC16C63A z programem "NOTES"
<b>US2</b>	– 24C64
<b>T1, T4</b>	– BC 558B
<b>T2</b>	– BC 337-16
<b>T3</b>	– BC 547B
<b>T4</b>	– BC 548B
<b>D1</b>	– BZP 683 C3V3 lub inna dioda Zenera 3,3 V
<b>Rezystory</b>	
<b>R2, R3</b>	– 2,2 kΩ/0,125 W
<b>R10, R11</b>	– 4,7 kΩ/0,125 W
<b>R8</b>	– 22 kΩ/0,125 W
<b>R6</b>	– 33 kΩ/0,125 W

#### Rezystory cd.

**R7** – 5,1 MΩ/0,125 W

**P1** – 10 kΩ TVP 1232

**R1, R4,**

**R5, R7,**

**R9, R12** – 10 kΩ/0,125 W

#### Kondensatory

**C6** – trymer 5/40 pF

**C3, C4** – 15 pF/50 V ceramiczny

**C5** – 33 pF/50 V ceramiczny

**C2** – 100 nF/63 V MKSE-020

**C1** – 100 μF/16 V

#### Inne

**Q1** – rezonator kwarcowy  
4,00000 MHz

**Q2** – rezonator kwarcowy  
32,7680 kHz

**WŁ1 ÷ WŁ6** – mikrowłóczniki

**WŁ7** – przełącznik bistabilny

**W1** – alfanumeryczny wyświetlacz  
LCD 2 × 16 znaków

**PIEZO** – przetwornik  
piezoelektryczny

**G5** – gniazdo komputerowe DB-9  
płytką drukowaną numer 512

Płytki drukowane wysyłane są za zalicze-  
niem pocztowym. Płytki i **zaprogramo-  
wane** układy PIC 16C63A z dopiskiem  
„NOTES” można zamawiać w redakcji PE.  
Cena: płytką numer 512 – 6,90 zł  
PIC 16C63A „NOTES” – 40,00 zł  
+ koszty wysyłki (10 zł).

◇ T. K.

## EPROM

CZĘŚCI ELEKTRONICZNE

ul. Parkowa 25

51-616 Wrocław

tel. (071) 34-88-277

fax (071) 34-88-137

tel. kom. 0-90 398-646

e-mail: eprom@kurier.com.pl

Czynne od poniedziałku do piątku  
w godz. 9.00 - 15.00

Oferujemy Państwu bogaty wybór ele-  
mentów elektronicznych uznanych (za-  
chodnich) producentów bezpośrednio  
z naszego magazynu.

Posiadamy w sprzedaży między innymi:

#### PAMIĘCI

EPROM, EEPROM,

RAM (S-RAM; D-RAM)

#### UKŁADY SCALONE SERII:

74LS..., 74HCT..., 74HC...,

C-MOS (40..., 45...).

**MIKROPROCESORY**, np.: 80..., 82...,

Z80..., ICL71..., ATMEL89...,

UKŁADY PAL, GAL, WZMACNIACZE  
OPERACYJNE, KOMPARATORY, TIMERY,  
TRANSOPTORY, KWARCE, STABILIZATO-  
RY, TRANZYSTORY, PODSTAWKI BŁA-  
SZKOWE, PRECYZYJNE, PLCC, LISTWY  
PIONOWE, LISTWY ZACISKOWE, PRZE-  
ŁĄCZNIKI SWITCH, ZŁĄCZA, OBUDOWY  
ŁĄCZ, HELITRYMY, LEDY, PRZEKAŹNIKI,  
GALANTERIA ELEKTRONICZNA.

POSIADAMY TAKŻE W SPRZEDAŻY

#### PODZESPOŁY KOMPUTEROWE: NOWE I UŻYWANE (NA TELEFON)

PŁYTY GŁÓWNE, PROCESORY, PAMIĘCI  
SIMM/DIMM, WENTYLATORY, KARTY  
MUZYCZNE, KARTY VIDEO, MYSZY,  
FAX-MODEM-y, FLOPP-y, DYSKI TWAR-  
DE, CD-ROMy, KŁAWIATURY, OBUDO-  
WY, ZASILACZE, GŁOŚNIKI I INNE.

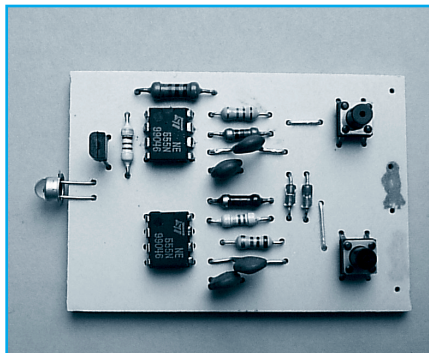
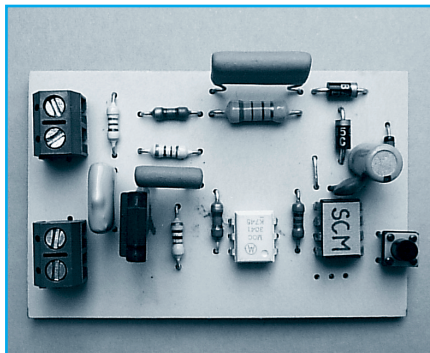
Programujemy EPROMy, FLASH/  
EEPROMy, GALe, PALe, procesory 87...,  
89.. oraz inne układy programowalne.

**Na życzenie prześlemy ofertę.  
Możliwość sprzedaży wysyłkowej.**



# Ściemniacz sterowany pilotem

Opisy rozmaitych ściemniaczy goszczą na łamach PE dość często. Tym razem prezentujemy urządzenie o interesujących cechach będące rezultatem wielu doświadczeń w konstruowaniu podobnych urządzeń. Ściemniacz dzięki mikroprocesorowi jest wyjątkowo łatwy w montażu oraz może być obsługiwany z dowolnego pilota. Pozwala na kilkustopniową regulację jasności klasycznych żarówek oporowych oraz regulację typu włącz/wyłącz. Umieszczona w mikrokontrolerze nieulotna pamięć EEPROM pozwala na pamiętanie ustawień również po wyłączeniu napięcia zasilającego.



## Właściwości:

- możliwość sterowania dowolnym pilotem – do obsługi wymagany tylko jeden klawisz;
- wyjątkowo łatwy w montażu – mieści się pod pokrywą instalacyjną typowego żyrandola – bez konieczności ingerencji w domową instalację elektryczną;
- uczyć się – możliwość zaprogramowania kodu klawisza dowolnego pilota;
- możliwość współpracy z opcjonalnym pilotem którego opis przedstawiono w artykule;
- regulacja typu włącz/wyłącz;
- pięciostopniowa regulacja jasności;
- możliwość włączania/wyłączania oryginalnym wyłącznikiem.

## Działanie

Ze względu na dużą bezwładność żarówek oporowych do regulacji jasności idealnie nadaje się regulacja fazowa. Odształcenie przebiegu napięcia zasilającego od sinusoidy jakie ma miejsce przy regulacji fazowej nie jest w tym przypadku dużym problemem. Niestety układy tego typu nie nadają się do regulacji jasności świetlówek oraz żarówek energooszczędnych.

Aby regulacja przebiegała liniowo konieczne jest podzielenie wartości skutecz-

nej napięcia na przedziały o równych energiach. Zgodnie z definicją napięcia skutecznego, w przypadku napięcia sinusoidalnego, oznacza to podział sinusoidy na przedziały o równych polach powierzchni. Wyznaczenie tych przedziałów nie jest łatwe, gdyż wymaga odwołania się do rachunku całkowego. Osoby zainteresowane tym zagadnieniem odsyłamy do artykułu „Mikroprocesorowy regulator mocy” zamieszczonego w PE 10/98 gdzie można również znaleźć wzór opisujący tą zależność. My podamy ją w gotowej postaci w Tabeli 1, gdzie przedstawiono zależność kąta włączenia elementu wykonawczego (w naszym przypadku triaka) od zadanego stopnia regulacji. W tym miejscu wypadałoby jeszcze wyjaśnić co należy rozumieć pod pojęciem „kąt włączenia”. Jest to nic innego jak tylko opóźnienie wyzwiania elementu wykonawczego względem umownej chwili początkowej, którą w tym

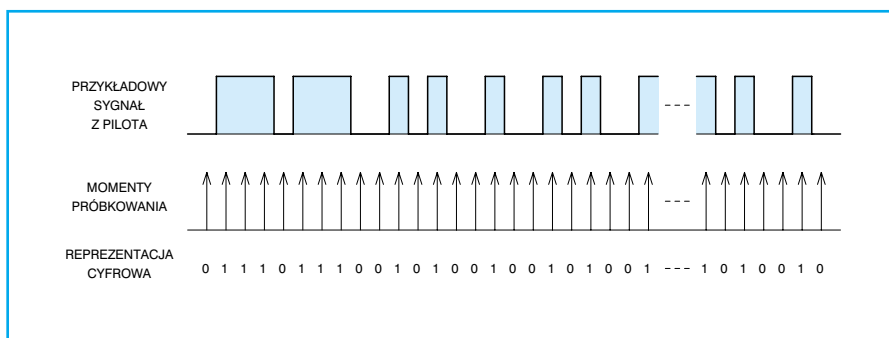
wypadku jest moment przejścia napięcia przez zero ( $0^\circ$ ). Ze względu na okresowy charakter przebiegu napięcia sieci opóźnienie podawane jest w stopniach. Wartością maksymalną kąta jest  $180^\circ$  gdy napięcie ponownie osiąga wartość zero gdyż triak jest elementem symetrycznym i zachowuje się identycznie zarówno przy dodatniej jak i ujemnej połowie sinusoidy.

W urządzeniu zdefiniowano pięć stopni regulacji. Ograniczenie liczby stopni regulacji do pięciu zostało podyktowane względami praktycznymi – obsługa większej ilości stopni regulacji byłaby dość uciążliwa przy pomocy tylko jednego klawisza.

Tabela 1 – Zależność kąta włączenia elementu wykonawczego od poziomu regulacji

Stopień regulacji	Poziom jasności	Kąt włączenia triaka
0	0%	$180,0^\circ$
1	25%	$120,0^\circ$
2	50%	$90,0^\circ$
3	75%	$60,0^\circ$
4	100%	$0,0^\circ$

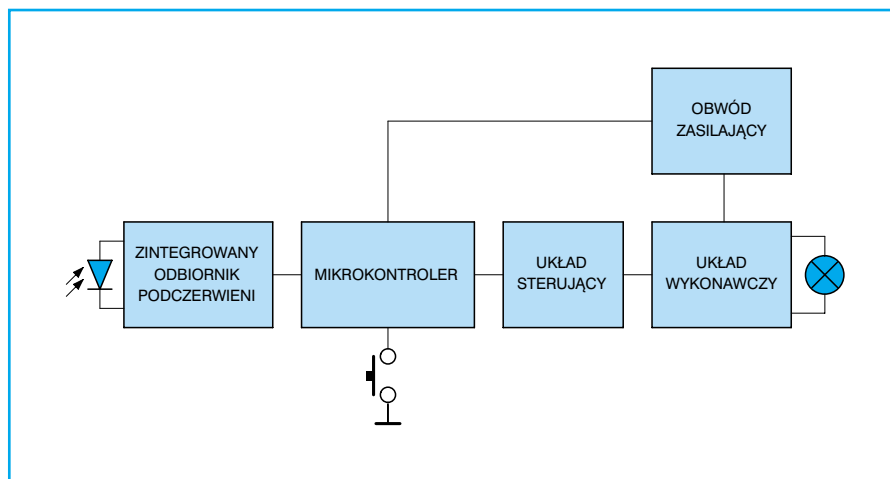
Ze względu na dużą różnorodność standardów w jakich pracują nadajnik zdalnego sterowania, w celu zapewnienia jak największej uniwersalności, zdecydowano się na nieco inne podejście do procesu dekodowania kodu klawisza. Mianowicie dekodowanie oraz identyfikacja kodu klawisza odbywa się na zasadzie próbkowania wyjścia odbiornika podczerwieni w równych odstępach czasu. Na rysunku 1 przedstawiono zasadę próbkowania. Oryginalny sygnał wejściowy jest próbkowany w równych odstępach czasu a następnie zamieniany na ciąg zer i jedynek. Informacja w takiej postaci jest zapisywana w pamięci nieulotnej EEPROM mikrokontrolera w chwili programowania kodu wzorcowego. W trakcie normalnej pracy wzorcowy ciąg zer i jedynek jest porównywany z sekwencją odebraną w dowolnym momencie. Na dwóch ciągach wykonywana jest operacja tzw. korela-



Rys. 1 Zasada odbioru i dekodowania sygnału z pilota



cji, która polega na określaniu podobieństwa dwóch sekwencji bitowych. Transmisja na podczerwieni może być obciążona błędami poza tym w niektórych standardach zdalnej regulacji (jak chociażby w najbardziej popularnym RC-5) wartość jednego bitu w kodzie zmienia się po każdorazowym wciśnięciu klawisza. Dlatego w procesie dekodowania dopuszczana jest pewna niezgodność pomiędzy sekwencją odebraną a wzorcową. W opisywanym układzie ciąg wzorcowy ma długość 128 bitów, a odebrany kod interpretowany jest jako poprawny wówczas gdy nie więcej niż 6 bitów będzie się różniło wartością.



Rys. 2 Schemat blokowy ściemniacza

## Budowa

Schemat blokowy regulatora obrotów przedstawiono na rysunku 2. W konstrukcji ściemniacza wyróżnić można następujące bloki funkcjonalne: zintegrowany odbiornik podczerwieni, mikrokontroler, układ sterujący, układ wykonawczy oraz obwód zasilający. Zintegrowany odbiornik podczerwieni odbiera i demoduluje sygnał podczerwieni z pilota. Mikrokontroler pełni centralną funkcję i jest odpowiedzialny za wykonywanie programu, dekodowanie, porównywanie i zapisywanie sygnału z pilota, regulację kąta włączenia obciążenia (generator PWM) oraz wykrywanie momentu przejścia napięcia sieci przez zero.

Układ sterujący umiejscowiony jest pomiędzy mikrokontrolerem a układem wykonawczym i jego zadaniem jest przekształcanie impulsów sterujących wychodzących z mikrokontrolera na impulsy wyzwalające układ wykonawczy. Układ wykonawczy to element odpowiedzialny za kluczkowanie (włączanie i wyłączanie) obwodu obciążenia (żarówki) w zależności od stanu sygnału sterującego. Obwód zasilający dostarcza napięcie niezbędnych do pracy pozostałych bloków.

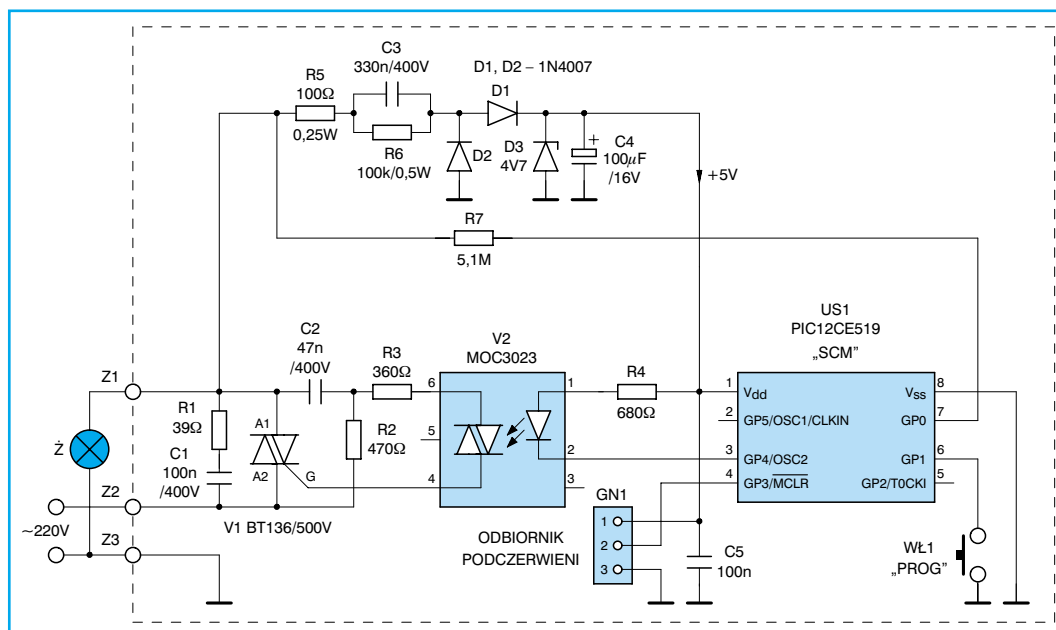
Na rysunku 3 uwiidoczniiono schemat ideowy ściemniacza. W konstrukcji wykorzystano mikrokontroler PIC12CE519 gdyż świetnie nadaje się on do tego zastosowania. Za jego wyborem przemawiały: niska cena, niski pobór prądu, wewnętrzna pamięć EEPROM, wewnętrzny gene-

rator zegarowy, wewnętrzny obwód zerujący mikrokontroler, tajmer i rezystory pull-up upraszczające konstrukcję urządzenia.

Detektor przejścia przez zero stanowi jedno z wejść mikrokontrolera podłączone do sieci za pośrednictwem rezystora R7. Diody zabezpieczające przed niszczącym mikrokontroler napięciem 220 V (nawet przy małym natężeniu) zawarte są w wewnętrznej strukturze układu. Wejście to przyjmuje stan niski gdy napięcie sieci spadnie poniżej określonego poziomu i pozostaje w nim przez całą ujemną półoktówkę sinusoidy.

Elementem wykonawczym jest triak V1, za sterowanie którego odpowiedzialny jest optotriak V2. Takie rozwiązanie w dużym stopniu upraszcza obwód sterujący oraz zapewnia optymalne sterowanie elementem wykonawczym. Elementy R1 i C1 pełnią funkcję przeciwzakłócenia.

Mikrokontroler do poprawnej pracy wymaga napięcia zasilającego z zakresu 4,5 ÷ 5,5 V. Ze względu na niewielki pobór prądu oraz konieczność utrzymania niewielkich rozmiarów płytki, w układzie regulatora zrezygnowano ze stosowania transformatora sieciowego. Funkcję obwodu zasilającego spełniają elementy R5, R6, D1 ÷ D3, C3 ÷ C5. Na pierwszy rzut oka sprawia on wrażenie nieco rozbudowanego, lecz obecność każdego z elementów jest uzasadniona. Rezystor R5 zabezpiecza kondensator C3 przed udarem prądowym w momencie włączania urządzenia do sieci (gdy kondensator C3 jest rozładowany). Natomiast rezystor R6 zapewnia rozładowanie kondensatora C3 w momencie wyłączenia zasilania oraz dodatkowo zwiększa prąd obciążenia. Dioda D2 zamyka obwód dla ujemnych półoktów napięcia zasilającego pozwalając na rozładowanie kondensa-



Rys. 3 Schemat ideowy ściemniacza sterowanego pilotem



„w zasięgu” pilota (pamiętajmy o kierunkowym charakterze promieniowania diod nadawczych podczerwieni) – wskazane jest umieszczenie go na zewnątrz osłonki za pośrednictwem krótkiego odcinka przewodu ekranowanego. Przy większej długości przewodu łączącego odbiornik z płytką mogą wzbudzać się oscylacje – aby temu zapobiec bezpośrednio na zaciskach odbiornika montujemy kondensator 10  $\mu$ F/16 V.

Płytkę ściemniacza warto umieścić w niewielkiej obudowie z tworzywa sztucznego, która będzie stanowić dodatkowe zabezpieczenie przed niebezpiecznym napięciem 220 V.

Pilot został zmontowany na niewielkiej płytce drukowanej mieszczącej się w obudowie jaką można nabyć w sklepach z podzespołami elektronicznymi.

Na rysunku 7 przedstawiono sposób montażu ściemniacza w istniejącej instalacji oświetleniowej. Układ jest wyjątkowo prosty w montażu. Wystarczy wykryć kostkę połączeniową i w jej miejsce zamontować ściemniacz zgodnie z schematem połączeń przedstawionym na rysunku 7.

## Obsługa

Układ pomyślany został w ten sposób, żeby jego działanie nie wpływało na pierwotny obwód zasilania tzn. użytkownik dalej ma możliwość włączania i wyłączania światła istniejącym już włącznikiem. Przy rozłączonym obwodzie ściemniacz z przyczyn oczywistych pozostaje wyłączony (brak napięcia zasilającego). Zamknięcie obwodu zasilania spowoduje uaktywnienie ściemniacza, który domyślnie ustawia maksymalny stopień jasności.

Do obsługi ściemniacza przewidziano jeden klawisz na płytce („PROG”) oraz jeden dowolnie wybrany klawisz pilota obsługującego domowy sprzęt A/V. Aby uniknąć interakcji najlepiej wybrać klawisz, z którym nie jest związana żadna istotna funkcja. Jak już wspomniano wcześniej istnieje możliwość wykonania pilota we własnym zakresie i jest to pod pewnymi względami (o których mowa poniżej) optymalne rozwiązanie. W pracy urządzenia możemy wyróżnić dwa tryby – tryb pracy normalnej oraz tryb programowania. Tryb programowania służy do wprowadzania kodu klawisza sterującego ściemniaczem. Przechodzimy do niego przyciskając w dowolnym momencie klawisz „PROG”. Programowanie odbywa się następująco. Przy włączonym napięciu zasilającym (żarówka świeci) przy-

ciskamy klawisz „PROG”. Urządzenie wchodzi wówczas w tryb programowania co objawia się zmniejszeniem jasności świecenia żarówki do 50%. Następnie należy skierować pilot stroną nadawczą w kierunku odbiornika (przy pewnej odległości, żeby zapobiec ewentualnemu przesterowaniu) i przycisnąć żądany klawisz. Po odebraniu i zapisaniu kodu klawisza, żarówka rozświetli się pełną jasnością.

Sterowanie jasnością odbywa się w sposób następujący. Domyślnie układ pracuje w cyklu włącz/wyłącz tzn. każdorazowe wciśnięcie klawisza w pilocie powoduje włączenie bądź wyłączenie obciążenia. Zasada ta obowiązuje gdy kolejne wciśnięcia klawisza następują po sobie nie częściej niż co 2 sekundy. Zasada ta przedstawia się następująco:

(T>2s) (T>2s) (T>2s) (T>2s)  
WŁ — WYŁ — WŁ — WYŁ itd.

Jeżeli jednak klawisz w pilocie zostanie wciśnięty ponownie przed upływem dwóch sekund, układ przejdzie do następnego stanu w cyklu poszerzonym o stopniową zmianę jasności zgodnie z zasadą:

(T<2s) (T<2s) (T<2s) (T<2s)  
WŁ — 75% — 50% — 25% — WYŁ  
jeżeli żarówka była włączona, lub:

(T<2s) (T<2s) (T<2s) (T<2s)  
WYŁ — 25% — 50% — 75% — WŁ  
jeżeli żarówka była wyłączona.

Mówiąc językiem opisowym, założmy że żarówka świeci pełną jasnością wciśnięcie klawisza sterującego spowoduje jej zgaszenie, kolejne wciśnięcie klawisza po czasie krótszym niż 2 sekundy spowoduje jej zaświecenie w 25%, następne w 50%, jeszcze jedno w 75% itd aż do całkowitego włączenia rozświecenia. Podobnie przebiega regulacja w drugą stronę tzn. ze stanu włączenia do wyłączenia. Regulacja ma charakter cykliczny zgodnie z zasadą: WŁ – 75% – 50% – 25% – WYŁ – 25% – 50% – 75% – WŁ – 75% itd (oczywiście przy założeniu że odstępy pomiędzy kolejnymi przyciśnięciami klawisza są krótsze niż 2 sekundy).

Jeżeli w takim cyklu klawisz w pilocie nie zostanie wciśnięty przez dłużej niż 2 se-

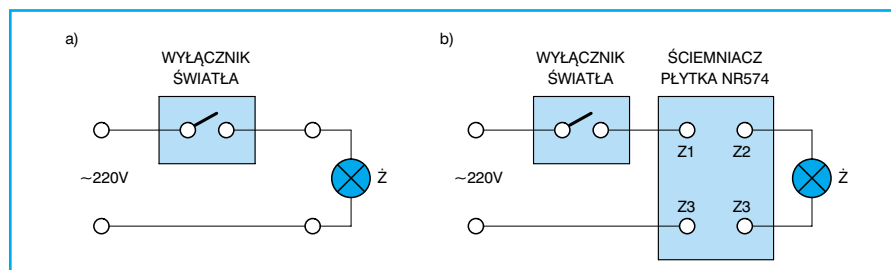
kundy ściemniacz samoczynnie powróci do cyklu włącz/wyłącz.

Poniżej podajemy kilka uwag dotyczących stosowania pilotów innych niż opisany w artykule. Przy posługiwaniu się fabrycznymi pilotami należy przestrzegać określonych zasad. Przede wszystkim należy unikać dłuższego przytrzymywania klawisza. Kod nadawany przez pilota jest wówczas inny (powtarzany jest tylko fragment kodu). Z tego względu wszystkie wciśnięcia powinny być bardzo krótkie (orientacyjnie takie jak przy przełączaniu kanałów w telewizorze). Jeżeli urządzenie nie reaguje na przypisany mu klawisz należy powtórzyć operację programowania. Istnieje prawdopodobieństwo, że ściemniacz będzie reagował na więcej niż jeden klawisz (wynika to ze zdefiniowanej określonej tolerancji przy korelacji kodu odebranego z zapamiętanym). Można wówczas przypisać inny klawisz przy którym sytuacja taka nie występuje. Poza tym ograniczony zasięg działania promieni podczerwonych powinien zniwelować niedogodności związane z tym zjawiskiem.

## Uruchomienie

**Przy uruchamianiu układu należy pamiętać o tym że układ zasilany jest bezpośrednio z sieci energetycznej i na wszystkich elementach, włącznie z masą układu, panuje niebezpieczne dla życia napięcie sieci! Należy zachować szczególną ostrożność podczas wszelkich prac przy włączonym urządzeniu!**

Po zamontowaniu wszystkich elementów regulatora i sprawdzeniu poprawności montażu przystępujemy do jego uruchomienia. Przy wyjętym układzie US1 włączamy urządzenie do sieci a następnie miernikiem uniwersalnym sprawdzamy (cały czas zachowując szczególną ostrożność) napięcie panujące pomiędzy nóżkami nr 1 i 8 podstawki pod układ US1. Napięcie to powinno wynosić 4,5 ÷ 5,5 V. Jeżeli będzie wykazywało poza ten zakres, należy diodę D4 wymienić na inną.



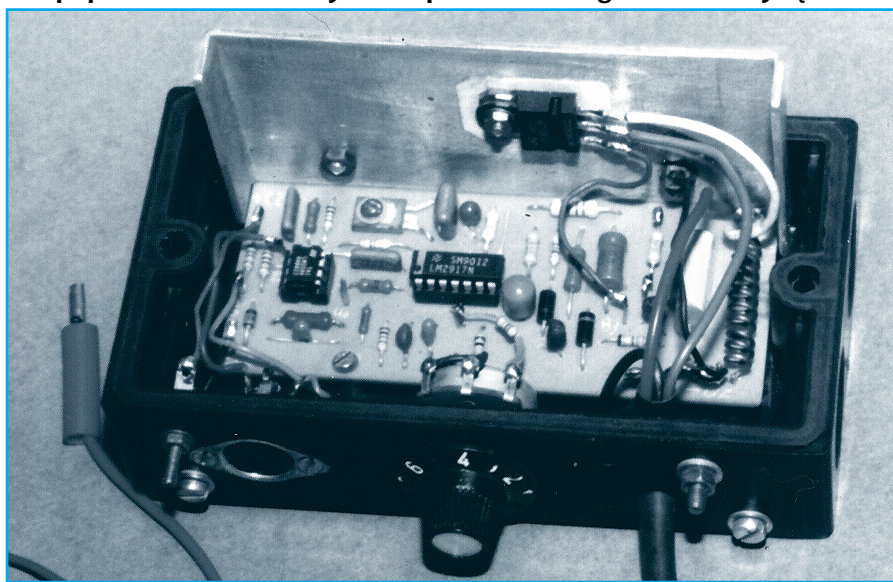
Rys. 7 Sposób podłączenia ściemniacza do domowej instalacji oświetleniowej





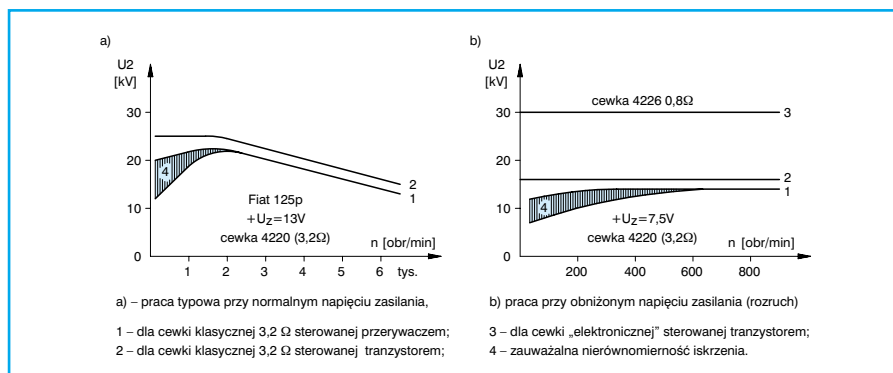
## Elektroniczny zapłon do samochodu cz. 1

Zapłon tranzystorowy sterowany mikroprocesorem to już reguła od wielu lat w nowo produkowanych samochodach. Istnieje jednak znaczna liczba starszych samochodów i motocykli wyposażonych w klasyczny przerywacz z regulatorem odśrodkowym a nierzadko i bez regulacji kąta zapłonu (silniki dwusuwowe). Zainstalowanie nowoczesnego układu jest najczęściej niemożliwe, a jeżeli już to dość kosztowne. Pozostaje wykonanie w miarę prostego, ale dobrego układu zapłonowego we własnym zakresie. Proponowane elektroniczne urządzenie zapłonowe spełnia wszystkie warunki występują w układach tzw. II generacji, a więc elektroniczny regulator kąta zapłonu, sterowanie bezstykowe, ogranicznik prądu cewki, oraz automatykę samowylączania prądu cewki, a ponadto nie wymaga użycia, podczas uruchomienia żadnych przyrządów diagnostycznych (stroboskop, obrotomierz, napęd). Dla użytkowników, którzy nie mają zamiaru dłużej eksploatować pojazdu, możliwe jest wykonanie uproszczonych wersji urządzenia tj czujnik bezstykowy z regulatorem odśrodkowym i modułem uproszczonym, lub tylko elektroniczna przerywacza poprzez zbudowanie tylko stopnia końcowego z automatyką.



Czy taka modernizacja poprawnie działającego układu klasycznego ma sens, należy spojrzeć na rys. 1 gdzie podana jest

wartość wysokiego napięcia w zależności od obrotów silnika i różnych napięciach zasilania Fiata 125p z klasyczną cewką za-



Rys. 1 Zależność wysokiego napięcia od obrotów silnika w zależności od sterowania

płonową 4220. Mimo, że tranzystor mocy „kradnie” 1 V napięcia zasilania, to napięcie wtórne jest wyższe od klasycznego. Natomiast przy niskim napięciu zasilania (rozruch) i najmniejszych obrotach różnica jest znacznie większa na korzyść zapłonu elektronicznego. Jeśli jeszcze zastosujemy cewkę niskorezystancyjną (tzw „elektroniczną”) to już różnica przy rozruchu jest kilkukrotna (linia 3 na rys. 1b).

Chcąc jeszcze ułatwić rozruch w zimie można nieco zmniejszyć wstępny kąt wyprzedzenia zapłonu np. z 10° przed ZZ (zwrotem zewnętrznym), do 5÷7,5°, ale to do silników dwucylindrowych i po korekcie ciężarków lub sprężyn (bo obniżenie kąta wstępnego obniża również w sumie kąt dynamiczny). Silniki czterocylindrowe uruchamiają się łatwiej i korekcja kąta wstępnego nie jest potrzebna. Trafne dobranie charakterystyki wyprzedzenia zapłonu ( $\alpha_z$ ) bardzo zwiększa trwałość silnika. Na przykład: pierwszy rozrząd we fiacie 126p z układem klasycznym „dochodzi” do 25÷35 tys. km, natomiast z regulatorem elektronicznym i charakterystyką „wzorcową” dochodzi do 80÷90 tys. km, a jeśli skorzysta rozrząd to i także silnik. Ponadto pojawią się oszczędności paliwa, wzrost dynamiki i elastyczności silnika (Fiat 126p) no i mniejszy zakres obsługi po wyeliminowaniu przerywacza. Jeśli zastosuje się zapłon z czujnikiem przy wale korbowym to właściwie nie wymaga on obsługi.

Aby te wszystkie zalety były zauważalne, układ elektroniczny i mechaniczny musi być wykonany bardzo solidnie. Niską ocenę zapłonów elektronicznych wystawili użytkownicy gaźnikowych Polonezów, co wywołało ogólną niechęć i wręcz „strach” przed montażem układów elektronicznych. Znam przypadki „wyrzucania” elementów układu elektronicznego, a instalowania układów klasycznych w warsztatach usługowych. Ale w tym przypadku zawiniли producenci, którzy nie potrafili zaprojektować i solidnie wykonać prostych elementów takich jak ulegające zawilgoceniu moduły GLU8 i niestabilne mechanicznie aparaty zapłonowe z pękającymi twardymi przewodami i awaryjnymi cewkami w czujniku.

Dążąc do tego by przy uruchomieniu i diagnostyce nie były potrzebne przyrządy do zdejmowania charakterystyk, najlepiej nadaje się skokowy system zmiany punktu zapłonu z czujnikami optoelektronicznymi (mają małe wymiary), umie-

szczonymi wraz z przesłoną przy kole pasowym wału korbowego.

Aby się przekonać o przydatności takiego systemu, zbudowałem najpierw czujnik 3-stopniowy w aparacie zapłonowym Fiata 126p i okazało się, że w praktyce nie da się odróżnić pracy silnika od systemu z regulatorem płynnym. Dużym udogodnieniem w elektronicznym układzie zapłonowym jest obecność potencjometru do regulacji dynamicznego kąta zapłonu, pozwala on na jakby na „dostrojenie” się silnika w zależności od warunków (paliwo, obciążenie itp.).

### Układ elektryczny i zasada działania

Schemat modułu zapłonowego w pełnej wersji przedstawiony jest na rys. 2 a czujników podstawowych na rys. 3. Zasadę działania (w wersji 6-stopniowej) przedstawia rys 4.

W chwili, gdy przesłona znajduje się poza czujnikiem, wszystkie fototranzystory są w stanie nasycenia, na wyjściu czujnika w punkcie S i na wejściu komparatora US1 napięcie ma poziom niski i wynosi ok.  $0,1 \div 0,15$  V. Na drugim wejściu (nieodwracającym) komparatora napięcie odniesienia ( $U_o$ ) wynosi ok. 0,8 V, a na wyjściu komparatora jest stan wysoki, toteż przez rezystor R16 zostajeysterowany tranzystor T2 blokując bazę tranzystora mocy T5. Przez cewkę zapłonową nie płynie prąd. Gdy przednia krawędź przesłony wchodzi w szczelinę kolejnych transoptorów od FT1 począwszy, nic się nie zmienia aż do momentu gdy zaciemniony będzie fototranzystor FT6 i przejdzie w stan nieprzewodzenia (odcięcia), wówczas napięcie w punkcie S czujnika przekroczy 0,8 V (punkt A rys. 4a) osiągając poziom zbliżony do  $+U_{cc}$ .

W tym czasie następuje zmiana napięcia na wyjściu komparatora osiągając prawie 0, tranzystor T2 zostaje zablokowany a tranzystor T5ysterowany przez rezystor R19. Przez cewkę zapłonową płynie prąd o wartości zależnej od ustawienia ogranicznikaysterowania T4. Układ ogranicznika jest trochę nietypowy, ponieważ ma „wspomaganie” od napięcia zasilania rezystorem R21. Zmniejszając rezystor R20 można uzyskać dowolną charakterystykę ograniczania (wzrastającą lub opadającą), mniejsze straty napięcia i mocy na rezystorze R23, a także wygodną regulację prądu cewki ( $I_m$ ) poprzez do-

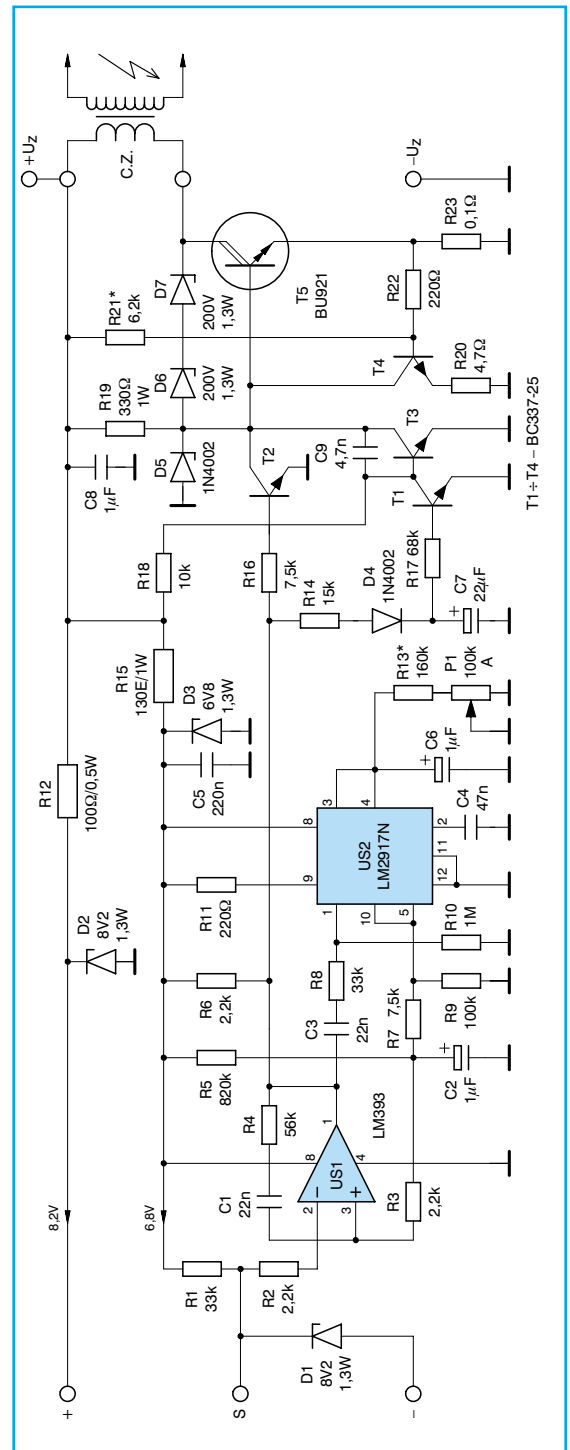
bór rezystora R21. Gdy tylna krawędź przesłony zaczyna wychodzić ze szczeliny czujnika, najpierw odsłonięty zostaje fototranzystor FT1, który przechodzi w stan nasycenia, w punkcie S czujnika napięcie spada do wartości wynikającej z dzielnika R1 i R103 czujnika (tu  $U_{FT1} = 3,8$  V, rys. 4).

Ponieważ na wejściu 3 komparatora nadal napięcie ( $U_o$ ) wynosi 0,8 V, stan wyjścia komparatora się nie zmienia. Gdy zostaje odsłonięty drugi fototranzystor (FT2) napięcie w punkcie S spada do wartości wynikającej z dzielnika R1 i R103 oraz R104 połączonego równolegle (tu 2,8 V), tworząc drugi „schodek” i tak dalej aż odsłonięty zostanie fototranzystor FT6 (punkt B rys. 4a). W obwodzie kolektora tego fototranzystora nie ma rezystora i napięcie w punkcie S spadnie do  $0,1 \div 0,15$  V ( $U_{cesat}$ ), zmieni się stan na wyjściu komparatora na wysoki, tranzystor T2 przejdzie w stan nasycenia a tranzystor mocy T5 zostanie zablokowany przerywając przepływ prądu  $I_m$  cewki zapłonowej. Wyłączenie prądu jest bardzo szybkie, toteż wytworzy się impuls SEM samoindukcji na uzwojeniu pierwotnym o wartości ok. 400 V (ograniczonej przez diody D6 i D7) i czasie trwania ok.  $30 \mu s$ . W tym samym czasie w uzwojeniu wtórnym wygeneruje się impuls wysokiego napięcia o wartości wynikającej z przekładni zwojowej cewki, osiągając  $25 \div 45$  kV bez obciążenia.

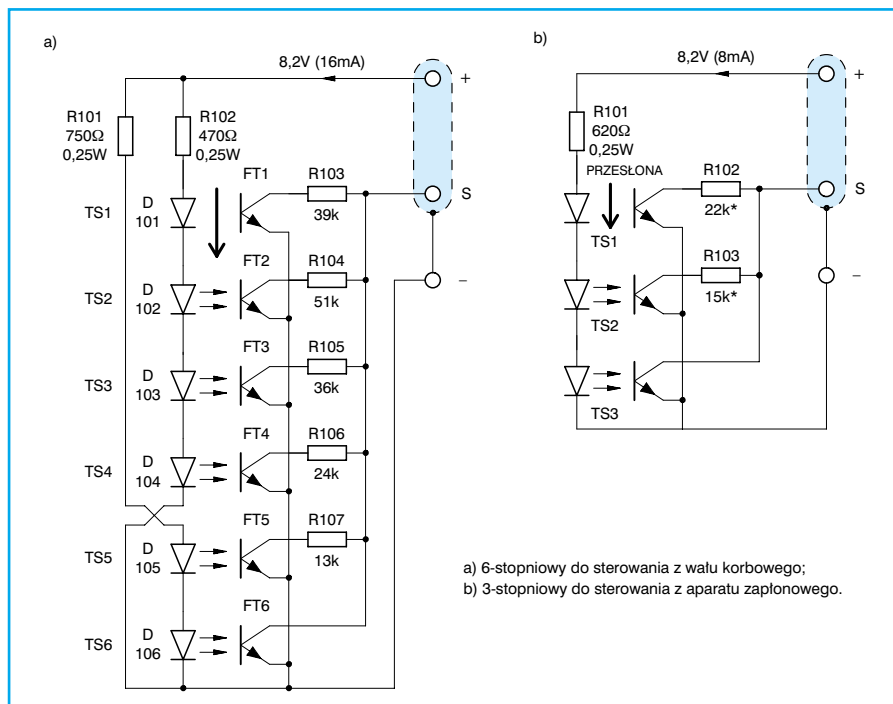
Jest to faza pojemnościowa wyładowania iskrowego (rys. 5a, b) i ma kolor niebieskawy jeśli przerwa na iskierniku będzie duża ( $20 \div 30$  mm w zależności od cewki). Następnie wyładowanie przechodzi w fazę indukcyjną trwającą  $1 \div 3$  ms w zależności od prądu  $I_m$  oraz przerwy iskrowej i sprawności cewki. Aby otrzymać typowy czas wyładowania należy zmniejszyć przerwę iskrową do  $6 \div 8$  mm, a typowym kolorem

fazy indukcyjnej jest pomarańczowy. Przyjęło się mylnie twierdzenie, że iskra niebieska jest „dobra” a pomarańczowa „zła”. Przy dużej przerwie iskrowej faza pojemnościowa jest wysoka, faza indukcyjna krótka, więc dominuje kolor niebieskawy. Przy małej przerwie, faza pojemnościowa jest niska a faza indukcyjna długa, więc dominuje kolor pomarańczowy.

Silnik pracuje coraz szybciej i od około 800 obr/min zaczyna wzrastać napięcie odniesienia ( $U_o$ ) tachometru. Gdy osią-



Rys. 2 Schemat ideowy modułu zapłonowego



Rys. 3 Schematy czujników wielostopniowych

gnie ono ok. 1 V, przełączenie komparatora oraz wyłączenie  $I_m$  nastąpi w momencie odsłonięcia fototranzystora FT5, osiągnie 1,5 V. Wyłączenie  $I_m$  nastąpi w momencie odsłonięcia FT4 itd. do FT1 przyspieszając moment zapłonu o wartości kątowe równe odległościom kątowym transoptorów. Elementy C1, R4 tworzą dodatnie sprzężenie zwrotne niezbędne do szybkiego przełączania komparatora na kolejnych „schodkach”.

Włączenie stacyjki na dłuższy czas (np. przy naprawach instalacji), gdy silnik zatrzymany jest w zakresie kąta zwarcia, groziłoby przegrzaniem tranzystora mocy lub cewki zapłonowej, dlatego potrzebne jest automatyczne blokowanie tranzystora mocy. Działanie automatyki jest następu-

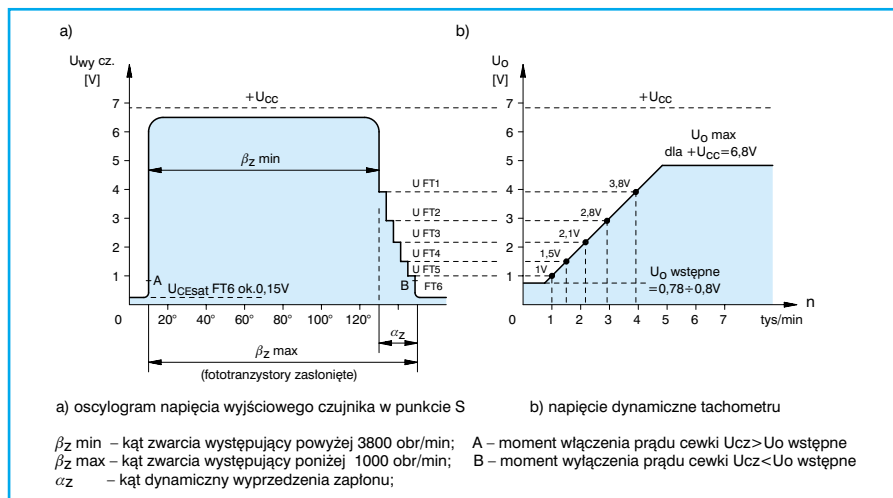
jące: przy uruchamianiu silnika już od pierwszego impulsu z komparatora ładuje się kondensator C7 do wartości ok. 3 V wprowadzając tranzystor T1 w stan nasycenia blokując bazę T3. Tranzystor T3 nie przewodzi i nie ma wpływu na wysterowanie tranzystora mocy T5. Gdy silnik jest nieruchomy brak jest impulsów ładujących kondensator C7 a wówczas rozładowuje się on powoli przez rezystor R17 i złącze B-E tranzystora T1 w ciągu ok. 4 s aż do momentu gdy T1 przestanie przewodzić. Wówczas przez rezystor R18 zostanie wysterowany tranzystor T3, który przechodzi w nasycenie blokując tranzystor mocy T5. Aby blokowanie nie było za szybkie i nie powodowało wyładowania iskrowego, zastosowa-

ny jest kondensator C9. Gdyby silnik ustawił się poza kątem zwarcia to na wyjściu komparatora będzie stan wysoki i T1 będzie nasycony natomiast T3 zablokowany, ale blokowanie tranzystora mocy nastąpi przez tranzystor T2 wysterowany z tego samego wyjścia komparatora. W początkowych wersjach urządzenia automatyka była prostsza (bez T1 i T3) z kondensatorem, diodą i rezystorem w obwodzie bazy T2, ale miała duży wpływ na elementy stopnia mocy, ograniczony zakres i nie eliminowała wyładowania iskrowego w momencie włączania zasilania.

Napięcie wyjściowe tachometru US2 nie musi być ustawione na 3 V przy 3000 obr/min (silnik 2-cylindrowy), ale tak jest wygodnie dla orientacji gdy układ będzie zestrzajany bez użycia obrotomierza zewnętrznego i przy pomocy sieci 50 Hz. Tachometr wyzwalany jest z wyjścia komparatora poprzez elementy C3 i R8. Chociaż napięcie wyjściowe pobiera się z końcówek 5 i 10, (nachylenie charakterystyki liniowej) to reguluje się je elementami R13 i P1. Zwiększając rezystancję potencjometru P1 zwiększamy nachylenie charakterystyki dynamicznej  $U_o$  a tym samym wyprzedzenie ogólne  $\alpha_z$ . Napięcie  $U_o$  maksymalne jest o ok. 2 V niższe od napięcia zasilania. W początkowych wersjach modułu napięcie  $+U_{cc}$  wynosiło 8,2 V a wtedy regulator zapłonu pracował prawidłowo od 10 V zasilania ( $+U_z$ ) wzwyż.

Zdarzało się jednak, że przy rozładowanym akumulatorze i włączonych światłach głównych (Fiat 126p z prądnicą) silnik pracował nierówno aż do podładowania akumulatora podczas jazdy. Po zmierzeniu napięcia w miejscu zasilania modułu (z włączonymi światłami i przepływie  $I_m$ ) wynosiło ono 9 V a więc za mało. Dlatego napięcie  $+U_{cc}$  (mimo że nie zalecane dla układu LM 2917) obniżyłem do 6,8 V i kłopoty zniknęły. Taka sytuacja występuje tylko we Fiacie 126p z prądnicą a dla innych samochodów napięcie  $+U_{cc}$  można podnieść do 7,5 V (ale wtedy rezystory czujnika i R1 modułu będą miały inne wartości). Po obniżeniu  $+U_{cc}$  do 6,8 V regulator pracuje poprawnie od 8 V a przy rozruchu prawidłowe sterowanie tranzystora mocy odbywa się już przy  $+U_z=4$  V.

Jeśli ktoś ma zamiar wykonać układ tzw. generacji czyli pojedynczy transoptor z regulatorem odśrodkowym, to może wykonać „pełny” moduł a tylko wyjąć układ scalony US2, ale może też nie mon-



Rys. 4 Zasada działania skokowego regulatora zapłonu



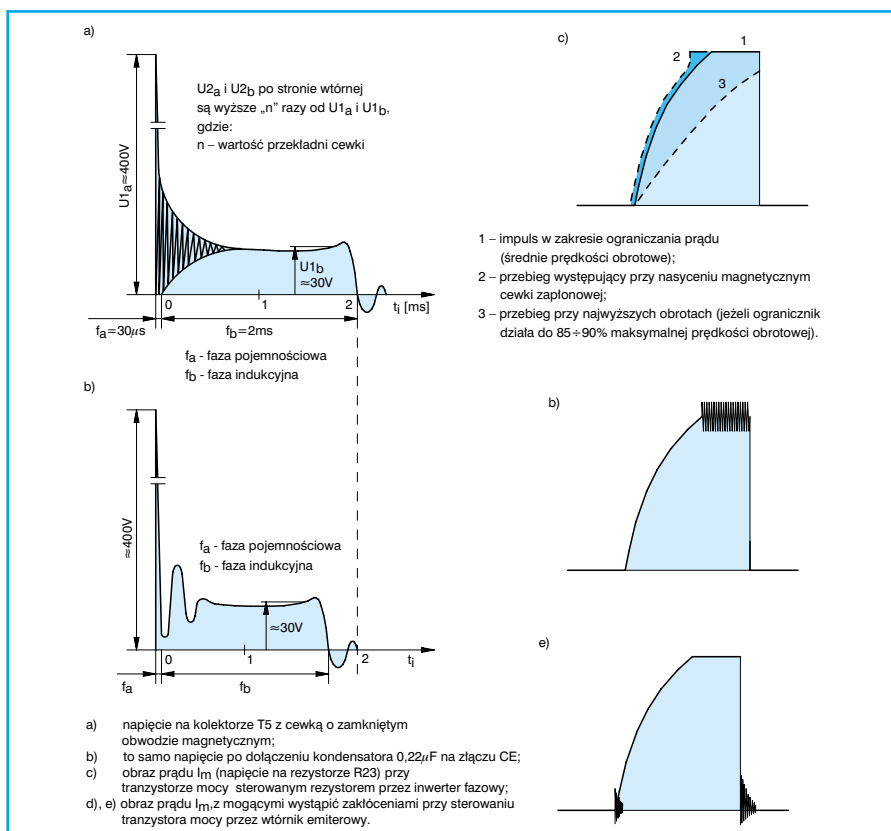
tować elementów tachometru. Niezbędne elementy takiego rozwiązania przedstawia rys. 6a.

Jeśli ktoś chce wykorzystać tylko stopień mocy do współpracy z przerywaczem to może skrócić płytkę usuwając fragment z komparatorem i tachometrem a jeśli w samochodzie pozostanie cewka klasyczna, to może też zrezygnować z elementów ogranicznika  $I_m$ . Kondensator  $C_p$  należy usunąć bo opóźnia zapłon a mała wartość rezystora R301 jest niezbędna do samooczyszczania się styków przerywacza (rys 6b).

Jeśli jako tranzystor mocy T5 zastosujemy BU 921 lub 931 z literką Z to zbędne są diody D6 i D7. Tranzystory te mają wewnętrzne zabezpieczenie przepięciowe na poziomie 350 ÷ 500 V. Jeśli ktoś miałby kłopot z nabyciem monolitycznego tranzystora wysokiego napięcia ( $\beta \approx 10$ ;  $U_{ce0} \approx 400$  V;  $I_c \approx 10$  A) np. BUT 54 zgodnie z rys 7 a.

Unikać trzeba jednak tranzystorów pracujących w stopniach odchylenia linii lub zasilaczach impulsowych gdyż z reguły mają małe wzmocnienie, rzędu 4 ÷ 6 przy 5 A. Wskazane będzie też zmniejszenie rezystora R19 do 180 ÷ 200  $\Omega$ /2 W ponieważ taka „para” daje w sumie  $\beta \approx 100$  (a monolityczne darlingtony mają  $\beta = 200 \div 700$ ). Jeśli ktoś chciałby zamiast stabilizatorów diodowych zastosować wspólny stabilizator szeregowy, to należy koniecznie zamontować (równolegle do C8) warystor 20 ÷ 30 V lub diodę Zenera dużej mocy, bo inaczej moduł będzie nieodporny na przepięcia w sieci zasilającej o wartości  $\pm 300$  V. Tranzystor szeregowy (rys. 7b) tak dużej mocy dobrany jest nie do obciążenia a do uzyskania jak najmniejszego spadku napięcia na złączu CE.

Po zmianie napięcia zasilania czujnika trzeba przeliczyć rezystory R101 i R102 zakładając spadek napięcia na diodach (D101 ÷ 106) 1,05 ÷ 1,1 V i prąd w granicach 8 mA. Zastosowanie stabilizatora szeregowego pozwala na zmniejszenie prądu spoczynkowego o ok. 80 mA przy  $U_z = 14$  V. Całkowite straty stabilizatorów diodowych wynoszą do 1,5 W, natomiast ze stabilizatorem szeregowym do 0,35 W. Płytkę montażową przedstawiona na rys. 8 przy-

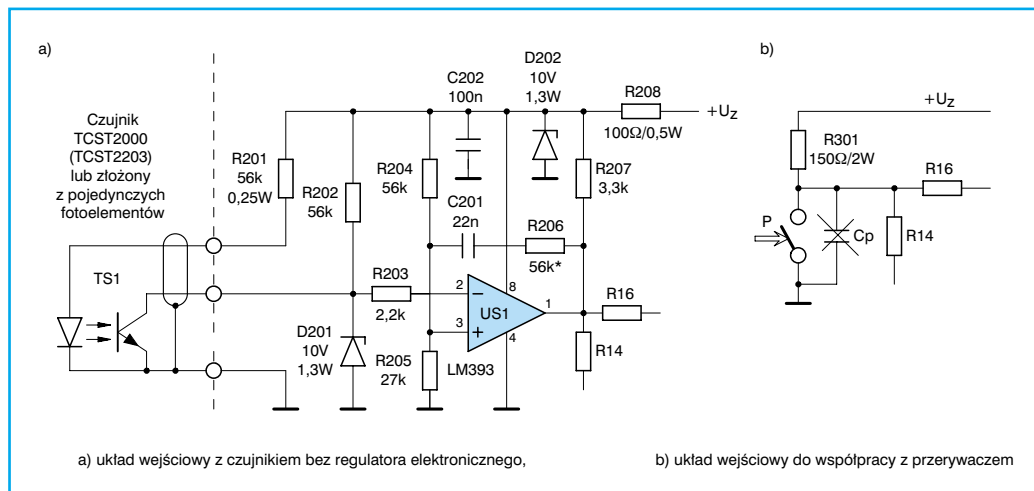


Rys. 5 Przebiegi napięć i prądów w stopniu końcowym

stosowana jest do montażu w hermetycznej obudowie wyłącznika termicznego (fotografia na wstępie artykułu). Obudowa znajduje się w prawej osłonie wlotu powietrza nad cewką zapłonową (we Fiacie 126p). Natomiast sama płytkę jest przystosowana do montażu stabilizatorów diodowych jak i stabilizatora szeregowego.

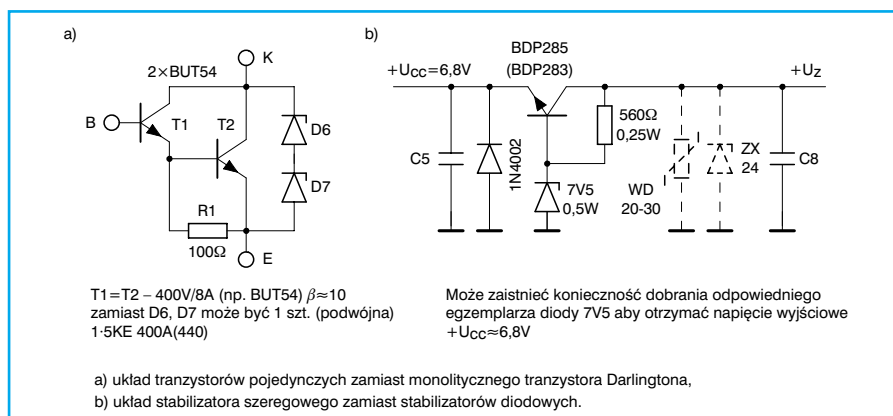
Do samochodów innych niż Fiat 126p najlepiej użyć obudowy aluminiowej wykorzystanej jednocześnie jako radiator. Jeśli cewka zapłonowa pozostanie „klasyczna” a tranzystor mocy w obudowie T03 to radiator jest zbędny, ale jeśli

w obudowie TO218 lub TO220, to trzeba założyć mały radiator z blachy aluminiowej o pow. 6 ÷ 8  $\text{cm}^2$  (bez podkładki izolacyjnej). Jeśli będzie zastosowana cewka 1,5  $\Omega$  i silnik 2-cylindrowy to potrzebny będzie radiator o pow. ok. 70  $\text{cm}^2$  (jeśli blacha Al 1,5 ÷ 2 mm). Jeśli będzie cewka 0,6 ÷ 0,8  $\Omega$  i silnik 4-cylindrowy to zalecany będzie radiator żebrowany o wadze ok. 200 g (Al) lub obudowa Al o podobnej wadze. Tranzystor mocy wtedy najlepiej izolować od radiatora (a radiator połączyć z masą) bowiem jego duża powierzchnia może mieć niekorzystny wpływ na pracę

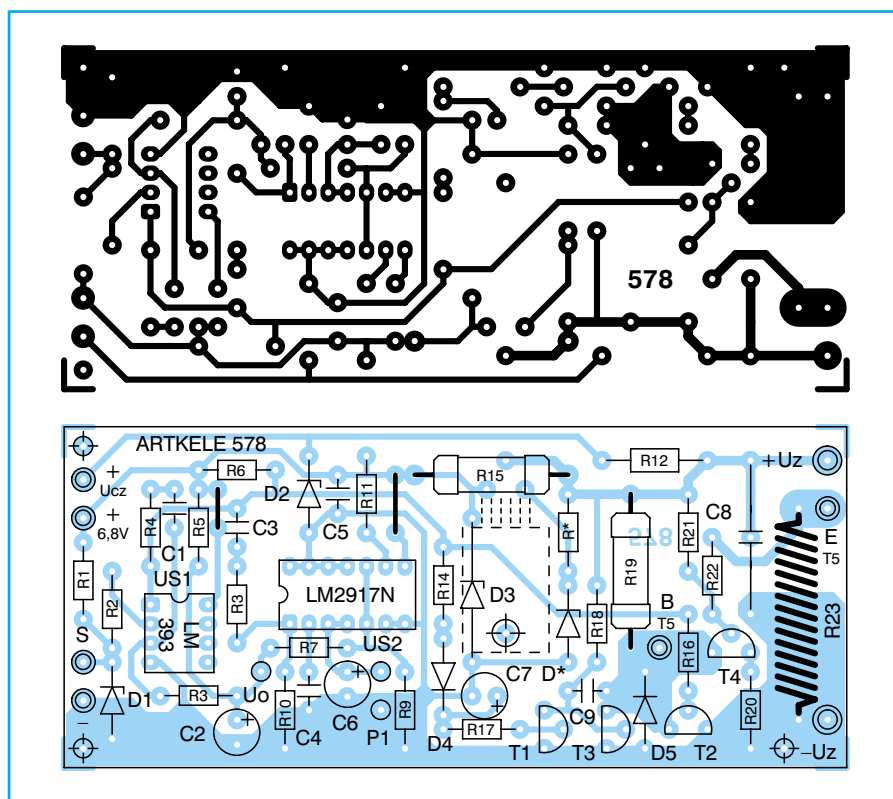


Rys. 6 Schematy wersji „skróconych”

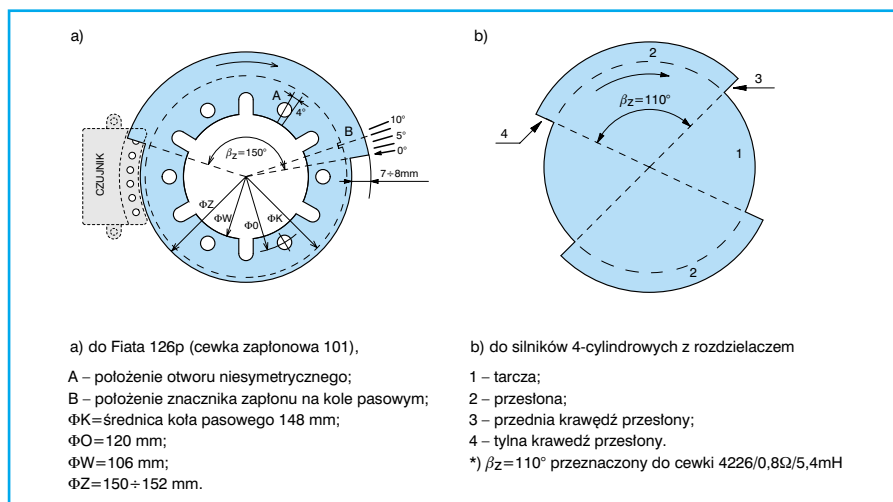




Rys. 7 Schematy układów zastępczych



Rys. 8 Płytkę drukowaną i rozmieszczenie elementów



Rys. 9 Koło sygnałowe do sterowania z wału korbowego

regulatora zapłonu. Tranzystora mocy w obudowie TO3 nie należy wystawiać na zewnątrz obudowy bo zawilgotnieje.

Jeśli obudowa nie ma konstrukcji hermetycznej to przed ostatnim zamknięciem trzeba obrzeża pokrywki pokryć silikonem. Diody zabezpieczające D6 i D7 najlepiej montować bezpośrednio na końcówkach tranzystora mocy.

**Ciąg dalszy w następnym numerze.**

#### Wykaz elementów

#### Półprzewodniki

US1	– LM 393N (lub odpowiednik)
US2	– LM 2917N
T1 ÷ T4	– BC 337-25 lub $\beta = 200 \div 300$
T5	– BU 921 (Z, P, R, H); 931 (Z, P, F, I); BU 323 (A, P); BUX 37
D1, D2	– BZX 85C 8V2 1 ÷ 1,3 W
D3	– BZX 85C 6V8 1 ÷ 1,3 W
D4, D5	– BZX 401 lub odpowiednik
D6, D7	– BZYP 01 C200; BZX 85 C200;

#### Rezystory

R23	– 0,1 Ω drutowy 2 ÷ 5 W
R20	– 4,7 Ω/0,125 W
R12	– 100 Ω/0,5 W
R15	– 130 Ω/1 W
R11, R22	– 220 Ω/0,125 W
R19	– 330 Ω/1 W
R2, R3, R6	– 2,2 kΩ/0,125 W
R21	– 6,2 kΩ/0,125 W (dobierany)
R7, R16	– 7,5 kΩ/0,125 W
R18	– 10 kΩ/0,125 W
R14	– 15 kΩ/0,125 W
R1, R8	– 33 kΩ/0,125 W
R4	– 56 kΩ/0,125 W
R17	– 68 kΩ/0,125 W
R9	– 100 kΩ/0,125 W
R13	– 160 kΩ/0,125 W (dobierany)
R5	– 820 kΩ/0,125 W
R10	– 1 MΩ/0,125 W
P1	– 100 kΩ – A dowolny

#### Kondensatory

C9	– 4,7 nF/50 V MKSE-020
C1, C3	– 22 nF/50 V MKSE-020
C4	– 47 nF/50 V MKSE-020
C5	– 220 nF/50 V MKSE-020
C8	– 1 μF/250 V MKSE-020
C2, C6	– 1 μF/16 ÷ 25 V tantalowy
C7	– 22 μF/16 ÷ 25 V tantalowy

#### Inne

płytkę drukowaną numer 578

Płytki drukowane wysyłane są za zaliczeniem pocztowym. Płytki można zamawiać w redakcji PE.

Cena: płytkę numer 578 – 4,90 zł  
+ koszty wysyłki (10 zł).

♦ Stefan Roguski

# Kaskadowy wzmacniacz słuchawkowy

Już w latach sześćdziesiątych nasz znany pisarz science-fiction Stanisław Lem w jednym z opowiadań pisał o szeregowym i równoległym „pocieraniu” się robotów. „Pocieranie” miało na celu produkowanie życiodajnej energii elektrycznej. W poniższym artykule proponujemy szeregowe połączenie wzmacniaczy słuchawkowych nie wymagające „pocierania”. Ta przydatna zabawka pozwala każdemu podłączyć się do źródła muzyki. W ten prosty sposób liczba słuchaczy może być prawie nieograniczona.

Przenośne źródła dźwięku robią oszałamiającą karierę. Praktycznie każdy młody człowiek ma na swoim stanie walkmana, discmana, odtwarzacz MP3 lub miniaturowe radio FM wielkości połowy pudełka zapalek. Wszystkie te urządzenia posiadają wyjście słuchawkowe. Sprawia to, że odbiór muzyki, bo ona głównie jest słuchana, jest możliwy tylko przez jedną osobę. Chcąc przekazać wrażenia lub podzielić się swoim nagraniem z kimś innym trzeba wyjąć z uszu słuchawki i rzucić sakramentalne: „masz posłuchaj”. Jest to niewygodne i niehigieniczne. Rozwiązaniem tego problemu może być układ wzmacniacza słuchawkowego przeznaczony do szeregowego połączenia odbiorców muzyki. Schemat połączeń wzmacniaczy słuchawkowych przedstawiono na rysunku 1.

Posiadacz źródła dźwięku wyposażony jest w swój wzmacniacz słuchawkowy posiadający dwa gniazda wyjściowe. Jedno z nich przeznaczonych jest do podłączenia

słuchawek a drugie do podłączenia kolejnego wzmacniacza. W ten sposób na wzór łańcuszka „Świętego Antoniego” można połączyć ze sobą sporą grupę melomanów. W praktyce przetestowany został łańcuszek trzech osób, ale liczba ta może być dużo większa rzędu dwudziestu osób a może i więcej. Teraz zamiast słów „masz posłuchaj” można powiedzieć: „masz podłączyć się i posłuchajmy razem”.

Każdy ze wzmacniaczy posiada niezależną regulację głośności zapewniającą komfort użytkowania. W praktyce można z niej zrezygnować, co ułatwi budowę urządzenia dobierając doświadczalnie stały poziom głośności, zdając się na regulację prowadzone przez posiadacza źródła dźwięku. O dobieraniu stałego poziomu głośności przedstawiono kilka wskazówek w dalszej części artykułu.

Schemat ideowy układu wzmacniacza słuchawkowego zamieszczono na rysunku 2. Na wejściu układu znajduje się separa-

tor w postaci wtórnika emiterowego T1. Z uwagi na bardzo niskie napięcie zasilania polaryzacja tranzystora T1 musi zapewniać poprawną pracę wtórnika przy najniższym możliwym napięciu wynoszącym 1,8 V. W tym przypadku napięcie na emiterze T1 ma wartość 0,6 V co gwarantuje uzyskanie wystarczającej dynamiki sygnału.

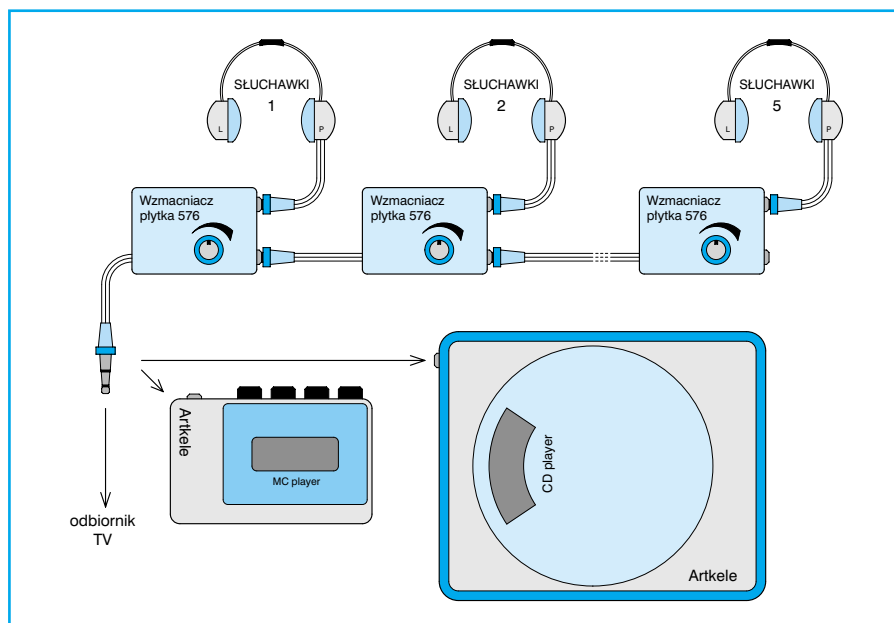
Z wyjścia wtórnika emiterowego sygnał zostaje wyprowadzony na gniazdo wyjściowe przeznaczone do podłączenia kolejnego wzmacniacza słuchawkowego. Tym sposobem strata amplitudy sygnału jest niewielka i nie przekracza  $1 \div 2\%$ . Licząc procentem składanym za dziesiątym, w połączeniu szeregowym, wzmacniaczem strata amplitudy wynosi w najgorszym przypadku 20% a za dwudziestym wzmacniaczem 34%, czyli ok. 3 dB, co jest praktycznie niezauważalne. Podobnie sprawa ma się ze zniekształceniami, które także nie ulegają istotnemu zwiększeniu.

Z wtórnika emiterowego sygnał kierowany jest do potencjometru regulacji głośności P1 i dalej do wzmacniacza mocy US1. Zastosowano tu dość stary układ wzmacniacza. Posiada on jednak kilka istotnych zalet do jakich należy zaliczyć niską cenę, dostępność i możliwość pracy przy napięciu minimalnym 1,8 V. Szczególnie ta ostatnia cecha predysponuje zastosowany wzmacniacz mocy. Minimalne napięcie 1,8 V nie jest przypadkowe, tyle wynosi napięcie zupełnie rozładowanych baterii i akumulatorów.

Na wyjściu wzmacniacza umieszczony został układ korekcji impedancji obciążenia w funkcji częstotliwości, nazywany także układem Zobla. Składa się on z szeregowo połączonych: kondensatora C6 i rezystora R6.

Do wzmacniacza można dołączyć dowolne słuchawki, których impedancja zawiera się w zakresie od 4 do 32  $\Omega$ . Warto zauważyć, że im niższa impedancja słuchawek, tym większa będzie dostępna moc wyjściowa.

Nowocześniejsze rozwiązania wzmacniaczy małej mocy przeznaczonych do pracy przy niskich napięciach zasilających opierają się na tranzystorach MOSFET, tzw. wzmacniacze rail to rail. Wzmacniacze te charakteryzują się niewielkim napięciem nasycenia tranzystorów końcowych, zapewniając tym samym większą, dostępną na wyjściu amplitudę sygnału. Drugim kierunkiem stosowanym przy produkcji wzmacniaczy małej mocy jest stosowanie bootstrapowania (czyli zwiększa-



Rys. 1 Schemat szeregowego połączenia wzmacniaczy słuchawkowych

nie) napięcia zasilającego przy pomocy pomp kondensatorowych. Niestety układy te jako nowości są dość drogie i trudnodostępne, a większość z nich produkowana jest tylko w obudowach do montażu powierzchniowego.

W tabeli 1 zestawiono moce wyjściowe wzmacniacza TDA 2822M dla różnych napięć zasilania i różnych impedancji słuchawek.

**Tabela 1 – Moce wyjściowe wzmacniacza TDA 2822M f=1 kHz, h=10%**

Napięcie zasilania	Impedancja słuchawek	Moc wyjściowa
[V]	[Ω]	[mW]
6,0	32	120
4,5	32	60
3,0	32	20
2,0	32	5
6,0	16	220
6,0	8	380
6,0	4	650
4,5	4	320
3,0	4	110

Rozpatrzmy przypadek napięcia zasilającego 3,0 V i impedancji słuchawek 4 Ω. Dla tych wartości napięcie skuteczne na obciążeniu będzie miało wartość:

$$U_{sk} = \sqrt{P \cdot R} \approx 0,66 \text{ V}$$

Zatem wartość międzyszczytowa napięcia wyjściowego będzie wynosiła:

$$U_{ss} = 2 \cdot \sqrt{2} \cdot U_{sk} \approx 1,88 \text{ V}$$

Tak więc z napięcia 3,0 V pozostaje wartość 1,1 V na napięcie nasycenia i wysterowanie tranzystorów końcowych. Wydaje się, że wartość ta jest niewielka ale jednocześnie jest ona w zupełności wystarczająca przy odpowiedniej konstrukcji (topologii) wzmacniacza, o czym można się przekonać analizując jego schemat wewnętrzny (rys. 3).

Stopień wejściowy zrealizowano na tranzystorach T4, T5 i T6. Rozwiązanie to jest klasyczne w obciążeniu umieszczono źródło prądowe T3 i D2, a w emiterach wzmacniacza różnicowego znajduje się kolejne źródło prądowe I1. Rezystory R2 i R3 zamykają pętle wewnętrznego sprzężenia zwrotnego ustalając wzmocnienie wzmacniacza na ok. 39 dB. Polaryzacja wejścia odwracającego zapewniona jest przez kolejne źródło prądowe T2, D1, co zapewnia na wyjściu napięcie o ok. 0,3 V niższe od połowy napięcia zasilania.

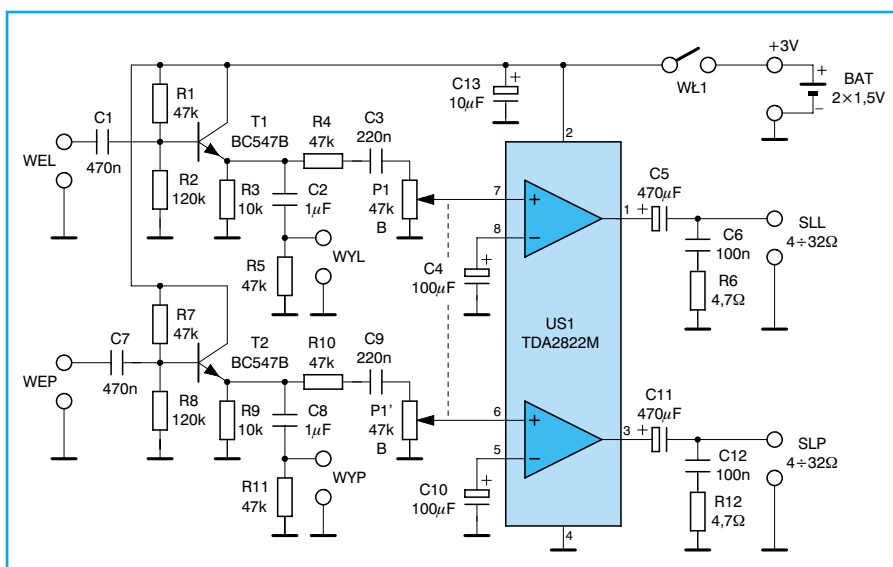
Kolejnym stopniem wzmacniacza jest draywer T7, obciążony źródłem prądowym I2 i diodą kompensacji temperaturowej D5. Pozostałe elementy to stopień końcowy. Odtwarzanie dolnej połówki przebiegu zapewniają tranzystory T8, T9 i T10. T8 i T9 tworzą kombinowany układ Darlingtona, dając w efekcie tranzystor p-n-p. W takim układzie spadek napięcia na końcowym tranzystorze T9 nie przekracza 0,3 V. Taką samą wartość ma minimalne napięcie na kolektorze T7, co jest „zagwarantowane” układem przesuwania poziomu I3, D3, D4 i T10. Tak więc w sposób dość prosty można uzyskać bardzo małą wartość napięcia nasycenia dolnego tranzystora stopnia mocy.

Górny tranzystor wymaga nieco więcej „zachodu”. Oprócz normalnej pracy posiada on układ stabilizacji prądu spoczynkowego, niezbędny do zminimalizowania zniekształceń występujących podczas przełączania się tranzystorów górnego i dolnego T9 i T12. W układzie stabilizacji prądu spoczynkowego bierze udział tranzystor T11 i T13. Ten drugi posiada układ podziału prądu wykonany w postaci podwójnego kolektora. Minimalny spadek napięcia na tranzystorze T13 wynosi ok. 0,2 V, natomiast spadek napięcia na złączu baza-emiter T12 jest rzędu 0,6 V. Daje to razem 0,8 V.

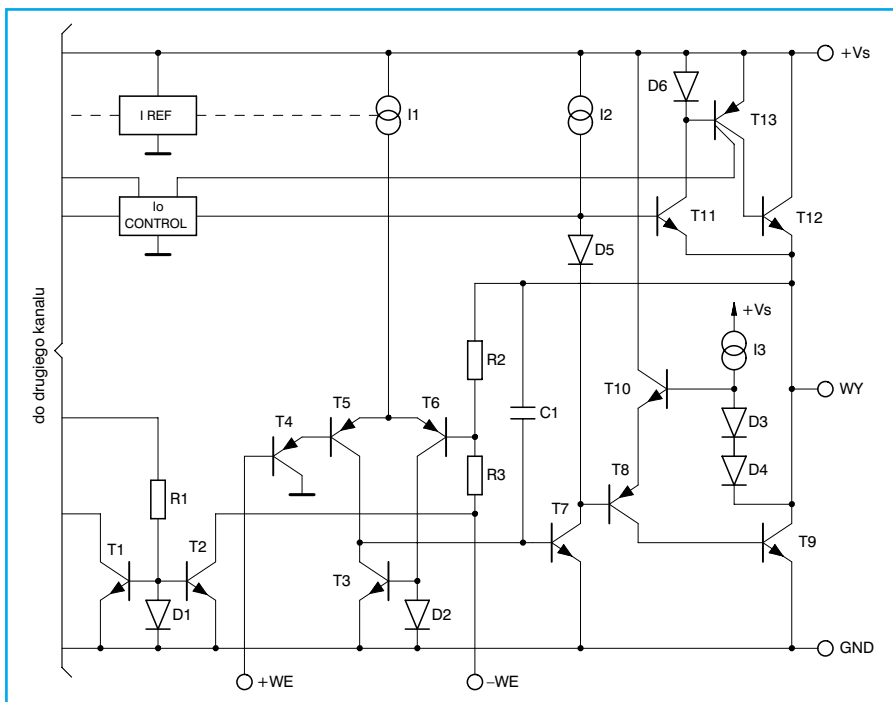
Dodając oba spadki napięcia, na górnym i dolnym tranzystorze stopnia końcowego otrzymuje się wartość ok. 1,1 V obliczoną na wstępie. Teraz już jest jasne dlaczego napięcie wyjściowe nie wynosi dokładnie połowę napięcia zasilania, lecz jest od niego niższe o ok. 0,3 V. Przy takiej wartości napięcia wyjściowego otrzymuje się maksymalną amplitudę sygnału wyjściowego.

Cały wzmacniacz słuchawkowy można zmieścić w niewielkiej obudowie o symbolu ZXXIII. Jej zewnętrzne wymiary wynoszą 60×85×23 mm. W obudowie zmieszczą się także dwie baterie 1,5 V typu AA (R6). Stereofoniczne gniazda przeznaczone do podłączenia słuchawek i kolejnego wzmacniacza wlutowane są w płytkę drukowaną, podobnie jak przewód zakończony miniaturową wtyczką stereofoniczną. Do włączania zasilania przeznaczony jest wyłącznik WŁ1 znajdujący się poza płytką drukowaną.

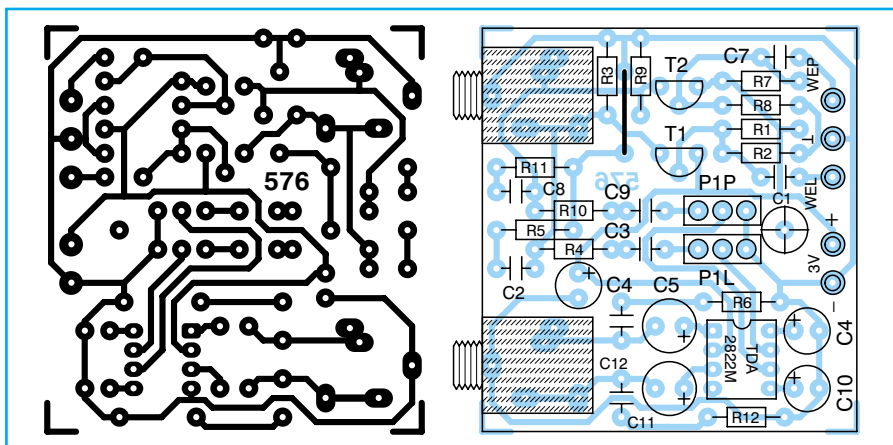
Jak już wcześniej wspomniano wzmacniacz posiada regulację głośności. Można z niej jednak zrezygnować. W takim przypadku należy wlutować dwa rezystory pomiędzy masę a wejścia nieodwracające wzmacniacza US1 (skrajne otwory w prostokątnych ramkach oznaczone jako P1P i P1L). Ponadto konieczne jest zwarcie ze sobą pól środkowego i dolnego w ramce (rys. 4). Powstanie wtedy dzielnik napięciowy składający się z R4 i dodatkowego rezystora. Wartość rezystora należy dobrać doświadczalnie z uwagi różne wartości efektywności (sprawności akustycznej) słuchawek. Dobierając wartość rezystora można porównywać głośność bezpośrednio na wyjściu źródła dźwięku i na wyjściu wzmacniacza, dążąc do uzyskania jednakowych głośności. Orientacyjna wartość rezystora wynosi 4,7 kΩ.



**Rys. 2 Schemat ideowy szeregowego wzmacniacza słuchawkowego**



Rys. 3 Schemat wewnętrzny jednego kanału monolitycznego wzmacniacza mocy TDA 2822M



Rys. 4 Płytki drukowane i rozmieszczenie elementów

## Wykaz elementów

## Półprzewodniki

U51 – TDA 2822M

T1, T2 – BC 547B

## Rezystory

R6, R12 – 4,7  $\Omega$ /0,25 WR3, R9 – 10 k $\Omega$ /0,125 W

R1, R4,

R5, R7,

R10, R11 – 47 k $\Omega$ /0,125 WR2, R8 – 120 k $\Omega$ /0,125 WP1 – 47 k $\Omega$ -A stereofoniczny

## Kondensatory

C6, C12 – 100 nF/50 V MKSE-20

C3, C9 – 220 nF/50 V MKSE-20

C1, C7 – 470 nF/50 V MKSE-20

C2, C8 – 1  $\mu$ F/50 V MKSE-20C13 – 10  $\mu$ F/25 VC4, C10 – 100  $\mu$ F/16 VC5, C11 – 470  $\mu$ F/16 V

## Inne

BAT – bateria 3 V lub 2  $\times$  1,5 VG1, G2 – gniazdo słuchawkowe  
mini Jack stereoW1 – wtyk słuchawkowy  
mini Jack stereo

WŁ1 – włącznik miniaturowy

OB1 – obudowa ZXXIII

płytki drukowane numer 576

Płytki drukowane wysyłane są za zaliczeniem pocztowym. Płytki można zamawiać w redakcji PE.

Cena: płytki numer 576 – 3,00 zł  
+ koszty wysyłki (10 zł).

♦ Janusz Majewski

## Oferuje:

- sprzęt nagłaśniający
- fachowe nagłośnienie wszelkiego rodzaju pomieszczeń
- zestawy głośnikowe
- zestawy radiowęzłowe
- zestawy samochodowe
- głośniki
- mikrofony
- słuchawki
- sprzęt profesjonalny
- podzespoły i części zamienne do wszelkiego rodzaju typu głośników
- regeneracja głośników



# HURTOWNIA TONSIL

**SPRZEDAŻ WYSYŁKOWA  
REALIZACJA NATYCHMIASTOWA!**

**CENY FABRYCZNE**

Andrzej Wieszczeckiński  
ul. Przemysłowa 1, 62-300 Września  
tel. 061 43 60 570 kom. 0601 53 63 67

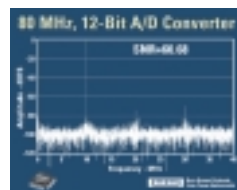


Za najszybciej rozwijającą się obecnie dziedziną informatyki, jaką jest bez wątpienia szeroko pojęta telekomunikacja, łeb w łeb idzie przetwarzanie sygnałów. I to nie tylko w formie rozwoju procesorów sygnałowych, ale też pod postacią przetworników A/C, które już dawno przestały być prostymi układami pozwalającymi tylko na przetworzenie sygnału analogowego na cyfrowy. Tak więc wydaje się, że mimo postępującej informatyzacji, nie ma ucieczki od sygnałów analogowych i problemów z nimi związanych...

■ Texas Instruments uruchamia produkcję nowego przetwornika A/C, ADS 1216. Jest to dwudziestoczerobitowy przetwornik delta/sigma, pozwala mierzyć napięcie z zakresu  $2,7 \div 5,25$  V, zawiera wbudowany układ napięcia odniesienia, umożliwia także korzystanie z zewnętrznego źródła odniesienia poprzez dwa różnicowe wejścia. Dane są udostępniane poprzez standardowy, programowalny interfejs SPI. ADS 1216 umożliwia także pomiar prądu pobieranego przez wejścia, a pobór mocy wynosi 1 mW. Cena układu to 7,45 dolara za sztukę w partiach powyżej 1.000 sztuk.



■ Texas Instruments przedstawił nowy przetwornik A/C przeznaczony do wykorzystania w przetwarzaniu sygnałów medycznych i układach kontroli mocy aktywnych urządzeń optycznych. ADS 809 jest dwunastobitowym przetwornikiem który może pracować przy częstotliwościach 80 MHz, pozwala na przetwarzanie napięcia o międzyszczytowej wartości 1 lub 2 V, udostępnia wejścia różnicowe, a współczynniki SNR i SFDR wynoszą odpowiednio 65 i 68 dB przy częstotliwości 10 MHz. Układ pozwala także na rozpoznanie przebiegu przez sy-



gnał wejściowy dopuszczalnych wartości. ADS 809 umieszczony jest w 48-pinowej obudowie TQFP, a jego cena wynosi 29,95 dolara w partiach powyżej 1.000 sztuk.

■ Texas Instruments przedstawił pierwszy w pełni zintegrowany pakiet obsługujący sieci SONET/SDH. Transceiver SLK 2501 obsługuje dwukierunkową transmisję OC-48, OC-24, OC-12 oraz OC-3, zawiera zintegrowane multipleksery i demultipleksery oraz układy CDR wykorzystywane w modułach optycznych. Dzięki zastosowaniu technologii CMOS transceiver pobiera jedynie 650 mW przy pracy z prędkością OC-48, a ponadto może pracować w pełnym zakresie temperatur przemysłowych ( $-40 \div +85^{\circ}\text{C}$ ), co pozwala na rezygnację z niezbędnych do tej pory układów chłodzących. Umieszczony jest w 100-pinowych obudowach VQFP, a jego cena to 100 dolarów za sztukę w partiach powyżej 1.000 sztuk.

■ Tajwańska firma United Microelectronics (UMC) planuje uruchomienie w Singapurze fabryki trzystumilimetrowych płytek krzemowych używanych do produkcji układów scalonych. Firma planuje skupienie się na technologiach pozwalających wykorzystywać wytwarzane półprodukty w technologiach 0,13 i 0,10 mikrona, a planowane inwestycje opiewają na 3,6 biliona dolarów. Fabryka ma ruszyć pod koniec 2002 roku.



■ Philips Semiconductors znalazł nowe zastosowanie procesora TM-1300 używanego do tej pory głównie w sprzęcie wideo. Nowym urządzeniem wykorzystującym



cym TM-1300 będzie radio internetowe FW-i1000 produkcji Philips Consumer Electronics. Procesor pozwala na obsługę standardowego połączenia opartego na protokole IP i równoczesne dekodowanie strumienia MP3.

■ Samsung wespół z Microsoftem opracowuje urządzenie IZZI-Web, będące bezprzewodowym terminalem internetowym. Składa się ono z przenośnego, czułego na dotyk wyświetlacza LCD o przekątnej 10,4 cala, bezprzewodowej klawiatury i jednostki centralnej podłączanej do sieci za pomocą linii telefonicznej lub sieci lokalnej. Urządzenie oparte jest o system Windows CE 3.0, pracuje z 200-megahercowym procesorem National Semiconductor i zawiera 32 MB RAM. Do komunikacji jednostek przenośnych z centralną będzie wykorzystana technologia Bluetooth bądź Wireless-LAN której właścicielem jest sam Samsung.

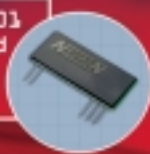
■ Lattice Semiconductor przedstawił nową rodzinę układów CPLD, ispLSI5000VE oferujących od 128 do 512 makrokomórek. Najszybszy układ z nowej rodziny, ispLSI5128VE, może pracować z częstotliwością 180 MHz, a połączenie nowej architektury i zaawansowanej technologii E2CMOS sprawia że zysk prędkości w stosunku do starszych urządzeń ispLSI5000V wynosi ponad 30%. Piny wyjściowe mogą być indywidualnie programowane do pracy z napięciami 3,3 lub 2,5 V, a ponadto każdy układ jest wyposażony w port testowania JTAG zgodny z normą IEEE 1149.1.

♦ Marcin Witek  
elin@pe.com.pl

# Prawdziwe 115 200 baud

## Gotowe rozwiązanie dla bezprzewodowego łącza szeregowego

Transmitter NHTX401  
19.2 - 115.2 kbaud  
433.9 MHz  
low power



Receiver NHRX401  
19.2 - 115.2 kbaud  
433.9 MHz  
low power



## NEURON Software Development & Wireless Solutions

53-609 Wrocław; ul. Fabryczna 10; tel./fax (071) 356 53 10; www.neuron-ltd.com/wireless; e-mail: wireless@neuron.com.pl



### DYSTRYBUCJA ELEMENTÓW ELEKTRONICZNYCH

Adres :  
ul. Kościuszki 4  
50038 Wrocław

Tel./fax :  
+48 71 3428472  
+48 71 3723379

Internet :  
www.spin.wroc.pl  
spin@spin.wroc.pl

- ELEMENTY BIERNE
- PÓŁPRZEWODNIKI
- PAMIĘCI
- OPTOELEKTRONIKA
- UKŁADY MIKROPROCESOROWE
- UKŁADY CYFROWE I ANALOGOWE
- ZŁĄCZA



ELEMENTY W WERSJACH KOMERCYJNYCH,  
PRZEMYSŁOWYCH I MILITARNYCH, CERTYFIKATY.

### ELEKTRONICZNY ZAMEK

Oparty jest on na elektronicznych kluczach i posiada kartę z wbudowanym układem scalonym, który wymaga zasilania ani kontaktu z zamkiem. Wystarczy zbliżyć kartę do sensywnego zamyka aby otworzył drzwi. Zamek zbudowany jest w hermetycznej obudowie, dzięki czemu możliwa jest instalacja wewnątrz jak i na zewnątrz obiektów. Przy większej ilości zamków w obiekcie wystarczy by dana osoba posiadała jedną kartę, aby miała dostęp do określonych drzwi.

Zalety:  
hermetyczna obudowa IP65  
akumulatorowe podtrzymanie pracy  
możliwość kasowania i dopisywania kart  
gwarantowana niepowtarzalność kart  
prosty montaż  
możliwość podłączenia przycisku do otwierania drzwi wewnątrz  
praca monostabilna i bistabilna  
regulowany czas zadziałania rygla



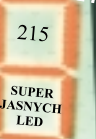
Nadajniki radiowe sygnałów cyfrowych pracujących w paśmie 433MHz. Idealne przy budowie bezprzewodowych układów powiadomiania czy zdalnego sterowania

Odbiorniki radiowe superreakcyjne i z przemianą pracujące w paśmie 433MHz. Różne wersje napięciowe od 3V do 12V i szybkości transmisji od 2,5KHz do 115KHz

### Sterowniki reklam świetlnych

#### Drivery do żarówek 12V 24V 220V

WYŚWIELACZE  
FORMATU A4



Przetwarza napięcie akumulatora 12V (lub 24V) na napięcie zmienne 220V. Nadaje się do zasilania: żarówek, świetlówek, sprzętu RTV, elektronarzędzi itp. Idealna do samochodu, na działkę, na łódkę, na biwak i wszędzie tam gdzie przyda się mieć "pod ręką" 220V. Zamontowana w wygodnej i estetycznej obudowie.

BLOKADA PARKINGU  
STEROWANIE PILOT EM RADIOWYM

Umożliwia sterowanie dwoma urządzeniami za pomocą jednego pilota. Idealny do: otwierania bram garażowych, sterowania oświetleniem, systemami alarmowymi i innymi przeróżnymi urządzeniami. Posiada dwa tryby pracy: monostabilny i bistabilny. Łatwy i przyjemny w obsłudze.